

هیات تحریریه:

پژوهشگاه مواد و انرژی	دکتر علیرضا آقایی
دانشگاه تبریز	دکتر محمد رضوانی
دانشگاه تربیت مدرس	دکتر رسول صراف ماموری
دانشگاه تربیت مدرس	دکتر پروین علیزاده
شرکت ایرانا	دکتر حسین مولایی
دانشگاه علم و صنعت ایران	دکتر علیرضا میرجیبی
دانشگاه علم و صنعت ایران	دکتر رحیم نقی زاده
دانشگاه تهران	دکتر علی محمد هادیان
شرکت عباس مشهد	دکتر عباس یوسفی

گروه مشاوران:

پژوهشگاه مواد و انرژی	دکتر علی اصغر بهنام قادر
فرآورده‌های دیرگلاز مهر آریان فارس	مهندس نادر خلیلی
مهندسه سیروس روشنفکر فلاخ	مهندسه سیروس روشنفکر فلاخ
انجمن تولید کنندگان کاشی و سرامیک کشور	مهندسه محمد روشنفکر فلاخ
مهندسه میر حسام الدین داعی نیاکی شرکت گل سرخ گستر آمل	مهندسه میر حسام الدین داعی نیاکی شرکت گل سرخ گستر آمل
انجمن صنفی کارفرمایی صنعت مواد نسوز	مهندسه علی زاویه
انجمن صنفی صنعت شیشه	مهندسه حسین زجاجی
شرکت آرمیتاژ	مهندسه محمود سالاریه
دانشگاه بین الملل امام خمینی	دکتر ارمان صدقی
دانشگاه ایالتی نیوجرسی	دکتر احمد صفری
صنعت سیمان	مهندسه حسین عزیزیان
شرکت اشکان پارت آفرین	دکتر مهران غفاری
سازمان زمین شناسی کشور	دکتر عباس فاضلی
دانشگاه امیرکبیر	دکتر کاوهس فلامکی
شرکت چنی زرین ایران	مهندسه عباسی قصاعی
دانشگاه علم و صنعت ایران	مهندسه حسین قصاعی
پژوهشگاه علوم و فناوری رنگ	دکتر ابراهیم قاسمی
دانشگاه شفیلد انگلستان	دکتر کاظم قنبری
دانشگاه بریتیش کلمبیا	دکتر مهرداد کشمیری
شرکت معدنی و صنعتی سوراوجین عقیق	دکتر علیرضا گنجی
شرکت لایران	دکتر حمیدرضا نعمتی
دانشگاه آزاد	دکتر امیر عباس نوربخش



سال یازدهم، شمارهٔ شصت و سوم

پاییز ۱۳۹۹

ISSN: ۱۷۳۵-۳۳۵۱

«با درجهٔ علمی»

صاحب امتیاز: انجمن سرامیک ایران

مدیر مسئول: دکتر مسعود محی

سردیب: دکتر علیرضا سوری

مدیر اجرایی: سعیده علیشاھی

گردآوری مطالب: محبوبه پیریانی

نشانی: تهران، نارمک، دانشگاه علم و صنعت ایران، دانشکدهٔ

مهندسی مواد و متالورژی، دفتر انجمن سرامیک ایران

صندوق پستی: تهران، ۱۱۱-۱۶۸۴۵

تلفن: ۷۷۸۹۹۳۹۹

دورنگار: ۷۷۸۹۹۳۹۹

پست الکترونیکی: info@jicers.ir

نشانی سایت اینترنتی: www.jicers.ir

طراحی، گرافیک و صفحه‌آرایی: تمام طرح ۷۷۲۰۹۲۲۸

اصلاح و خلاصه کردن مطالب با نظر مترجمان و نویسنده‌گان انجام می‌شود. مسئولیت محتواهای مقالات به عهده نویسنده‌گان و مترجمان است. مطالب ارسالی برگردانده نمی‌شود.

تازه‌ها

خبر انجمن سرامیک ایران

کسب رتبه A توسط انجمن سرامیک ایران

کسب رتبه اول توسط پژوهشگاه رنگ!

وبینار تخصصی آتور فرانسه

"Iranian journal of Materials Science and Engineering"

وبینار "چرا و چگونه مقاله مروری بنویسیم؟"

خبر اخبار شرکت‌ها و مراکز پژوهشی

جهش تولید این بار از نوع عمل انقلابی؛ یک شرکت تولیدی کاشی و سرامیک تزئینی ...

«شلیک به تولید» مشکلات واردات مواد اولیه بلای جان تولید کاشی و سرامیک شد

ابتکار جالب مخترع مشهدی سبب کاهش قیمت نهایی کاشی و سرامیک می‌شود.

رونق اقتصاد ملی با حمایت از صنعت کاشی و سرامیک / مشکلات داخلی، سد ...

سرامیک‌های صنعتی دانشبنیان به صنایع کشور نفوذ کرد.

اخبار علمی

ترمیم ضایعات استخوانی با یک ساختار جدید

دومین کنفرانس VITROGeowASTES

نانوذراتی که نور خورشید را با کارایی ۹۰ درصد به گرمای تبدیل می‌کند.

روش سنتز جدید برای نانو کربن‌های سه بعدی

نانو رس مایع (LNC) (LNC)

مقاومت‌های حافظه‌ی بر پایه‌ی گرافن نویدبخش انجام محاسبات مبتنی بر مغز هستند.

پتانسیل مهندسی نانو برای بهبود ذخیره‌ی انرژی

مقالات پژوهشی

بررسی تاثیر محیط حلال بر خواص ساختاری و مورفولوژیکی نانو ذرات اکسید روی سنتز شده با...

بررسی تاثیر pH حلال بر خواص ساختاری، مورفولوژیکی نانو ذرات ZnO سنتز شده ...

گسیل لیزری در شیشه سرامیک‌های فسفاتی آلائیده به Nd^{+3}

بررسی اثر افزودن آندالوزیت روی شوک پذیری حرارتی جرم‌های ریختنی دیرگدار ...

مقالات مروری

کاربرد مواد سرامیکی و نانو موادها در توسعه تجهیزات ارتباطی نسل پنجم (5G)

ساخت پوشش‌های مزوسیلیس به روش خودآرایی القا شده با تبخیر؛ مروری بر ساز و کار، عوامل

مؤثر و قابلیت‌ها

معرفی پایان‌نامه‌های تحصیلات تکمیلی

لیست اعضای حقوقی انجمن سرامیک ایران

تفویم رویدادهای سرامیک

۱

۲

۳

۴

۵

۶

۷

۸

۹

۱۰

۱۱

۱۲

۱۳

۱۴

۱۵

۱۶

۱۷

۱۸

۱۹

۲۰

۲۱

۲۲

۲۳

۲۴

۲۵

۲۶

۲۷

۲۸

۲۹

۳۰

۳۱

۳۲

۳۳

أخبار انجمن سرامیک ایران

کسب رتبه A توسط انجمن سرامیک ایران

براساس بررسی عملکرد انجمن‌ها در سال ۱۳۹۸ به صورت کمی و کیفی توسط کمیسیون انجمن‌های علمی ایران؛ انجمن سرامیک ایران در رتبه بندی انجمن‌های علمی در گروه‌های تخصصی، امتیاز ۱۵۰۰ و رتبه A را کسب نمود.



تبریک

بر اساس رتبه سنجی سال ۱۳۹۸ پایگاه استنادی علوم جهان اسلام (ISI) کسب رتبه اول در بین مراکز پژوهشی و تحقیقاتی را به ریاست پژوهشگاه رنگ (عضو حقوقی انجمن سرامیک ایران) سرکار خانم دکتر زهرا رنجبر و همکاران ایشان تبریک عرض نموده و موقفیت‌های روزافزون آن مرکز پژوهشی را در عرصه‌های تحقیق و پژوهش از خداوند متعال خواهانیم.

انجمن سرامیک ایران

کسب رتبه اول توسط پژوهشگاه رنگ

بر اساس رتبه سنجی سال ۱۳۹۸ پایگاه استنادی علوم جهان اسلام (ISI)؛ پژوهشگاه رنگ (عضو حقوقی انجمن سرامیک ایران) با ریاست سرکار خانم دکتر زهرا رنجبر موفق به کسب رتبه اول در بین مراکز پژوهشی و تحقیقاتی گشت.

وبینار تخصصی آتور فرانسه

وبینار تخصصی آتور فرانسه در روز سه شنبه سورخ ۶ آبان ماه ۱۳۹۹ ساعت با ارایه دکتر محمد باوند وندچالی عضو هیات علمی دانشگاه آزاد اسلامی - واحد علوم و تحقیقات و عضو هیات مدیره انجمن سرامیک ایران با همراهی انجمن سرامیک ایران برگزار گردید. موضوع سخنرانی آقای دکتر باوند در این ویبنار Microstructure Engineering of Oxide-C Refractories by »Addition of Nano-particles حاضر در ویبنار از جمله استادی؛ دانشجویان و پژوهشگران این حوزه قرار گرفت.

ATHOR
(Advanced Thermomechanical multiscale modelling of Refractory linings)

Microstructure Engineering of Oxide-C Refractories by Addition of Nano-particles

Dr. Mohammad Bavand-vandchali
Material Eng. Dept., Science and Research Branch, IAU,
and
Board member of Iranian Ceramic Society

زمان: سه شنبه ۹۷/۰۸/۰۶
27 Oct., 2020, 13:00-15:30

لينك ويبينار متعلقاً في سایت و کاتل الیگرامی انجمن سرامیک ایران اطلاع
www.lcers.ir

رسالتی می گردد

براساس ارزیابی Scimagojr (SJR) به عنوان یک مرجع معتبر جهت ارزیابی علمی دانشگاه‌ها و موسسات تحقیق محور در سراسر جهان، رتبه نشریه "Iranian journal of Materials Science and Engineering" که با همکاری انجمن سرامیک ایران، انجمن متالورژی ایران و دانشگاه علم و صنعت ایران چاپ می‌گردد از Q2 به Q3 ارتقا یافته است. ضمن تبریک این دستاورده ارزشمند به سردبیر و مسئولین محترم این نشریه، از کلیه استادی، پژوهشگران، کارشناسان و علاقمندان دعوت به عمل می‌آید تا مقالات خود را جهت چاپ در این مجله به وبسایت www.ijmse.iust.ac.ir ارسال نمایند.

"Iranian journal of Materials Science and Engineering"

انجمن سرامیک ایران براساس ارزیابی Scimagojr (SJR) به عنوان یک مرجع معتبر جهت ارزیابی علمی دانشگاه‌ها و موسسات تحقیق "Iranian journal of Materials Science and Engineering" که با همکاری انجمن سرامیک ایران، انجمن متالورژی ایران و دانشگاه علم و صنعت ایران چاپ می‌گردد از Q2 به Q3 ارتقا یافته است. ضمن تبریک این دستاورده ارزشمند به سردبیر و مسئولین محترم این نشریه، از کلیه استادی، پژوهشگران، کارشناسان و علاقمندان دعوت به عمل می‌آید تا مقالات خود را جهت چاپ در این مجله به وبسایت www.ijmse.iust.ac.ir ارسال نمایند.

وبینار "چرا و چگونه مقاله مروری بنویسیم؟"

کارگاه آموزشی انجمن سرامیک ایران به صورت وبینار تحت عنوان "چرا و چگونه مقاله مروری بنویسیم؟" توسط آفایان دکتر مازیار منتظریان از دانشگاه تربیت مدرس و دکتر فرانچسکو بائینو از دانشگاه پلی تکنیک تورین ایتالیا در تاریخ ۲۹ آبان ماه ۱۳۹۹ به مدت ۴ ساعت برگزار شد و مورد استقبال چشمگیری از جانب دانشجویان و پژوهشگران قرار گرفت. پس از پایان این وبینار تخصصی؛ گواهی شرکت در دوره از طرف انجمن سرامیک ایران به شرکت کنندگان اعطا شد.

وبینار
چرا و چگونه مقاله‌ی مروری بنویسیم؟

به شرکت کنندگان از طرف انجمن سرامیک ایران، گواهی معتبر اعطا خواهد شد.

دکتر مازیار منتظریان
گروه تحقیقاتی عصر شیشه‌ای

۱۳۹۹ آبان ۲۹
 ساعت ۲۲:۳۰-۲۳:۰۰

دکتر فرانچسکو بائینو
دانشگاه پلی تکنیک تورین ایتالیا

سوابق مدرسین:

دارای بیش از ۲۰ مقاله‌ی مروری در بهترین ژورنال‌های مهندسی مواد، شیمی و مهندسی یافت از جمله:
 Chemical Reviews (JIF: 52.7)
 Chemical Society Reviews (JIF: 42.8)
 2 proposal accepted in Progress in Materials Science (JIF: 31.5)
 International Materials Review (JIF: 14.4)
 Acta Biomaterialia (JIF: 7.2)
 Materials Science and Engineering C (JIF: 5.8)
 Journal of Biomedical Materials Research: Part A (JIF: 3.5)

هزینه‌ی ثبت نام: ۲۰۰ هزار تومان (۲۰ درصد تخفیف دانشجویی)
 برای کسب اطلاعات بیشتر و ثبت نام به شماره واتس آپ ۰۹۳۵ ۱۵۱ ۴۹۴۹ پیغام دهید.
[پرداخت از طریق:](https://idpay.ir/glassyage)

وبینار

چرا و چگونه مقاله‌ی مروری بنویسیم؟

در این وبینار، به مدت ۲ ساعت به زبان فارسی و ۱ ساعت به زبان انگلیسی ما به شما آموزش می‌دهیم که چگونه مقاله‌ی مروری برای ژورنال‌های برتر در علم و مهندسی مواد، بیومواد، شیمی و مهندسی بافت بنویسید. مطالب و عناوین زیر در این وبینار تدریس خواهند شد:

- اگر دانشجو یا استاد هستید، هدف شما برای نگارش مقاله‌ی مروری چه خواهد بود.
- چگونه موضوع و مخاطب‌های خود را انتخاب کنیم؟
- چگونه در منابع جستجو کنیم؟
- چگونه یادداشت برداری کنیم، وقتی منابع خود را می‌خوانیم؟
- چه نوع مقاله‌ی مروری بنویسیم؟
- چگونه تمرکز خود را روی موضوع حفظ کنیم؟
- چه ساختاری را رعایت کنیم؟
- چگونه به مقاله‌های دیگران و خودمان ارجاع دهیم؟
- چگونه نقد و نظرات خود را اضافه کنیم؟
- چگونه و چه اندازه به نام افراد اشاره کنیم؟
- چگونه همکاری بین المللی کنیم؟
- چگونه انگلیسی مقاله را اصلاح کنیم؟
- چگونه شکل‌ها و تصاویر با کیفیت تهیه کنیم؟
- چگونه ژورنال انتخاب کنیم؟
- جداول را چگونه آماده کنیم؟
- اجازه‌های لازم برای استفاده از منابع را چگونه اخذ کنیم؟

و مثال‌های عملی برای نوشتن پروپوزال برای ژورنال‌های برتر و چاپ مقاله د رآنها.



GlassyAge.com



polito.it



icers.ir

انجمن صرافی‌کاران ایران

جناب آقای مهندس روشنفکر درگذشت همسر گرامیتان را به جنابعالی و خانواده محترم تسلیت عرض نموده، برای آن مرحوم غفران الهی و علو درجات، برای حضر تعالی و سایر بازماندگان صبر و اجر جزیل از خداوند متعال درخواست می‌نماییم.

اخبار شرکت‌ها و مراکز پژوهشی

جهش تولید این بار از نوع عمل انقلابی؛ یک شرکت تولیدی کاشی و سرامیک ترئینی در قزوین بازار چینی‌ها را در آذربایجان تصاحب کرد.



گروه استان‌ها- یک شرکت تولیدی کاشی و سرامیک ترئینی در قزوین پس از دو سال مطالعه بر روی بازارهای هدف آسیا میانه، عراق، روسیه، پاکستان و آذربایجان صادرات به این کشورها را از سال ۹۷ آغاز کرده و امروز بازار چین در آذربایجان را تصاحب کرده است. به گزارش خبرگزاری تسنیم از قزوین، فرآیند اقتصادی کشور ایران در دهه‌های گذشته با فروش نفت عجین شده بود و علی‌رغم تاکید مکرر رهبر معظم انقلاب بر رونق اقتصاد غیرنفتی هنوز هم فرهنگ تولید آن گونه که باید و شاید در کشور به جایگاه و منزلت خود نرسیده است.

کم توجهی برخی مسئولان مربوطه به بخش تولید و اهمیت آن در شکوفایی اقتصادی کشور، با تحریم‌های ظالمانه آمریکا بر دوش ملت ایران سنگین‌تر کرد اما این در حالی است که اگر مسئله اقتصاد تولید محور از همان سال‌های ۹۰ که رهبری معظم شعار سال را جهاد اقتصادی تعیین کردند مورد توجه جدی قرار می‌گرفت شاید امروز ایران همچون حوزه نظامی در بخش اقتصاد نیز خوش می‌درخشید.

دشمن نالمید و درمانده در میدان جنگ سخت پاشنه آشیل ضربه به ملت ایران را ضعف حوزه اقتصادی تشخیص داد و تا توانست عرصه را تنگ کرد اما در هیاهوی همین جنگ اقتصادی، رهبر معظم انقلاب در سخنرانی‌هایشان به کدهایی مهم که از جنس سلاح تقابل با تحریم‌های اقتصادی شامل تولید ملی، حماسه اقتصادی، جهاد اقتصادی، اقتصاد مقاومتی، رونق تولید و جهش تولید بودند، مکررا تاکید و اصرار داشتند.

طبعتاً فردی که در بحث تولید ورود پیدا کند با وجود مسائل فراوان پیش رو، ارزش افزوده کمتری نسبت به بخش دلالی خواهد داشت لذا یکی از دلایل هجوم مردم به سمت اقتصاد زیرزمینی و فعالیت‌های دلالی سود بیشتر و موضع کمتر این بخش نسبت به تولید و ایجاد کسبوکار است.

بهدا دادن به تولید علاوه بر تولید ثروت برای کشور اشتغال‌زایی و رفاه عمومی نیز در برخواهد داشت برای توجه به تولید باید زیرساخت‌های ایجاد کسبوکار و تولید مهیا شود و تا وقتی که بیشتر فکر و ذهن تولیدکننده بر این‌بویی از قانون‌های دست و پاگیر و بروکراسی‌های اداری باشد، او نمی‌تواند بر تولید ثروت مناسب، فعالیت‌های توسعه‌ای و توجه به اشتغال‌زایی تمرکز کند. صنعت کاشی و سرامیک که سهم عظیمی در جهش تولید و ارزآوری برای کشور می‌تواند داشته باشد، حدود ۷۰۰ میلیون متر مربع طرفیت در کشور دارد و سال گذشته چیزی حدود ۴۵۰ تا ۵۰۰ میلیون متر مربع تولید شده و ۱۴۰ تا ۱۵۰ میلیون متر مربع نیز صادرات داشته و الباقی برای مصارف داخل کشور استفاده شده، مقادیری از تولید نیز مازاد بوده است.

در راستای توجه بیش از پیش به تولید و جهش در تولید یک شرکت تولیدی کاشی و سرامیک ترئینی در قزوین امروز عزم خود

برای صادرات و ارزآوری، تولید بیشتر، اشتغالزایی و رقابت در بازارهای جهانی جزم کرده و کشور را از واردات محصول کاشی‌های تزئینی کاملاً بی‌نیاز کرده است.

مدیریت این شرکت پس از دو سال شناسایی دقیق بازارهای هدف در کشورهای آسیا میانه، عراق، روسیه، پاکستان و آذربایجان از دو سال اخیر صادرات را آغاز می‌کند؛ سال ۹۷ پانصد هزار دلار صادرات انجام می‌دهند و در سال ۹۸ این عدد به یک میلیون دلار می‌رسد البته که محصولات این شرکت تولیدی در قالب پکیج کاشی و سرامیک دیگر کارخانجات نیز به صورت غیرمستقیم صادر می‌شود و امروز کاشی‌های تزئینی بزرگترین شرکت تولید کاشی و سرامیک تزئینی ایران محصولات چینی را در بازار آذربایجان کنار زده است.

این مجموعه تولیدی نوآوری، تبعیت و ابتکار را سرلوحه تمام فعالیت‌هایش قرار داده و با اضافه کردن خط تولید جدید برای تولید یکسری از کاشی‌های خاص که تکنولوژی آن در دست اسپانیا و ایتالیا بوده، گامی بلند برداشته و انقلابی را تولید رقم زده که تاکنون سابقه نداشته است.

نیروی انسانی این شرکت جوان و دارای میانگین سنی حدود ۳۰ سال هستند و با توجه به فراز و نشیب‌های بازار پرتلاطم داخل و خارج، ۱۵۰ نفر پرسنل جوان امنیت شغلی بالایی دارند این در حالی است که طبق گفته مدیریت شرکت خروج از شرکت دو حالت دارد، یک زمان شخص بنا به مسائل شخصی از کار انصراف می‌دهد اما در زمانی دیگر فرد به آینه‌نامه‌ها و مقررات شرکت پاییند نیست که مدیریت پس از تذکر در صورت تکرار خطا با شخص مورد نظر برخورد می‌کند.

منبع: <https://tn.ai/2389468>

«شیک به تولید» مشکلات واردات مواد اولیه بلای جان تولید کاشی و سرامیک شد



یک تولیدکننده کاشی و سرامیک با اعلام اینکه نمی‌توانیم مواد اولیه مورد نیاز خود را در زمان مقرر به خط تولید برسانیم، گفت: روند طولانی و مشکلات خرید مواد اولیه باعث شده تا بارها خط تولید کارخانجات کاشی و سرامیک تعطیل شود.

فرزاد نظیفی در گفت‌وگو با خبرنگار اقتصادی خبرگزاری تسنیم، با اشاره به اینکه مهمترین مشکل فعلی ما موضوع واردات است، اظهار داشت: باید هفت خوان را برای ثبت سفارش مواد اولیه که

نیازمند واردات آن هستیم انجام بدھیم بعد از طی کردن نامه‌های مختلف با وزارت صنعت مبنی بر لزوم واردات این مواد اولیه تازه پشت درب بانک مرکزی برای تخصیص ارز هستیم، این بخش نیز با تأخیرهای بسیار زیاد ارزهای محدودی را در اختیار تولیدکنندگان برای واردات مواد اولیه قرار می‌دهد.

وی با بیان اینکه تأخیر طولانی در تحويل مواد اولیه عاملی شده تا بعضًا خط تولید واحدهای تولیدی بارها تعطیل شود، افزود: در بخش واحد تولیدی ما چون محصولات خاصی تولید می‌شود نیازمند مواد اولیه وارداتی در بخش جوهر و ارتقای کیفیت محصولات خود هستیم که ناچاریم این مواد را از اسپانیا، هلند و آلمان وارد کنیم اما در واردات این مواد همچنان مشکل داریم.

این تولیدکننده کاشی و سرامیک تصریح کرد: گفته شده واردات مواد اولیه مشابه تولد داخل نباید انجام شود اما مواد اولیه مورد نیاز ما به حد کافی و با کیفیت در داخل کشور نیست و ما ناچار به واردات هستیم، هم اکنون ۱۸۰ واحد تولیدی در حوزه کاشی و سرامیک فعالیت می‌کنند که در برخی از موارد یک شرکت مدعی تأمین مواد اولیه کارخانجات می‌شود اما در بررسی‌ها متوجه

می‌شویم که نه تنها مواد اولیه آن کیفیت مناسبی ندارد بلکه توانایی پاسخگویی به حجم بالای نیاز کارخانجات موجود در کشور نیز نیستند.

نظیفی در ادامه با تأکید بر اینکه نیاز مواد اولیه شرکت‌ها در کاشی و سرامیک فرق می‌کند، گفت: در برخی از واحدهای تولیدی نیازمندی آنها به مواد اولیه ۱۰ درصد و در برخی دیگر ۴۰ تا ۵۰ درصد است اما در واحد تولیدی ما چون محصولات خاص هستند باید از مواد اولیه با کیفیت و مرغوبی استفاده کنیم تا بازارهای صادراتی خود را از دست ندهیم.

وی اضافه کرد: محصولات خاص این واحد تولیدی فقط توسط سه تا چهار کشور در دنیا تولید می‌شود که این نشان از اهمیت بسیار بالای آن دارد اگر دولت از ما حمایت کند ما می‌توانیم حضور پررنگتری در بازارهای صادراتی داشته باشیم.

این تولیدکننده با اشاره به اینکه در بازار داخلی نیز رکود معاملات وجود دارد اما شایعه گرانی‌ها باعث شده تا مردم به سمت خرید کاشی و سرامیک بروند، افزود: امروز ما با تلاش بسیار ارز را تهیه و با سودهای حداقلی محصولات را تولید می‌کنیم اما باید این نکته را تأکید کنم عدم حمایت از تولیدکننده‌های داخلی باعث شده ما در شرایط افزایش نرخ ارز نتوانیم حضور پررنگتری در سطح بازارهای جهانی داشته باشیم به این صورت که هر زمان که دلار ارزان‌تر می‌شود هجوم کشورهای همسایه برای محصولات ایرانی افزایش می‌باید اما در زمانی گرانی دلار این موضوع فرق کرده و ما به زحمت می‌توانیم محصولی که با قیمت تمام شده بالایی را تولید کرده‌ایم در بازارهای صادراتی بفروشیم در این شرایط هیچ حمایتی هم از سوی دولت صورت نمی‌گیرد این در حالی است که مدام از افزایش صادرات و حمایت‌های صادراتی فقط سخنرانی‌های متعددی مطرح می‌شود.

نظیفی با اشاره به اینکه به زحمت در نمایشگاه‌های خارجی حضور یافته و اقدام به معرفی توانمندی خود می‌کنیم، تصريح کرد: جالب اینجاست همیشه برای سفارت کشورمان در کشورهای مختلف نامه‌هایی برای دعوت از آنها جهت بازدید از غرفه ارسال می‌کنیم اما با بی‌مهری آنها روبرو و اصلاً بازدید از غرفه‌های ما انجام نمی‌شود.

وی ضمن انتقاد از اینکه وزارت صنعت نیز بدون هیچ کار کارشناسی اقدام به صدور مجوز برای فعالیت کارخانجات کاشی و سرامیک انجام می‌دهد، گفت: با مازاد تولید که نمی‌توانیم صادرات کنیم این صنعت با مشکل روبرو می‌شود خدای ناکرده اگر عراق و پاکستان بگویند که کاشی و سرامیک ما را نمی‌خرند نصف کارخانجات کشور تعطیل می‌شود چرا که ما مازاد تولید بسیار بالایی داریم.

این تولیدکننده کاشی و سرامیک به افزایش قیمت مواد اولیه داخلی نیز اشاره کرد و افزود: در کنار افزایش قیمت مواد اولیه وارداتی ما با افزایش قیمت مواد داخلی نیز روبرو هستیم به نحوی که آنها بدون هیچ ضابطه خاص با افزایش قیمت دلار تعییرات قیمتی را انجام می‌دهند و من تولیدکننده نیز مجبور به خرید هستم چرا که در این صورت واحد تولیدی ما تعطیل خواهد شد.

منبع: <https://tn.ai/2387410>

ابتکار جالب مخترع مشهدی سبب کاهش قیمت نهایی کاشی و سرامیک می‌شود.



با ابتکار صورت گرفته از سوی مخترع مشهدی، قیمت نهایی کاشی و سرامیک به طرز محسوسی کاهش می‌باید.

به گزارش تسنیم از مشهد مقدس، صنعت کاشی و سرامیک در این سال‌ها با پیشرفت فراوانی در تولید دستگاه‌ها منطبق بر فناوری روز دنیا بوده است. برخی پیشرفت‌های این حوزه که در تکنولوژی صنعت کاشی و سرامیک حاصل شده، زمینه‌ساز تکامل زیبایی و فنی کاشی و سرامیک در ۵ ساله گذشته بوده و سبب شده پیشرفت این بخش شتاب قابل توجهی داشته باشد.

مهدی احمدی متولد سال ۶۲ و ساکن مشهد است. وی دوره ارشد و دکتری خود را در رشته شیمی معدنی در دانشگاه مشهد گذراند و ۲۰ مقاله ISI و ۱۵ سمینار داخلی ارائه کرده و پس از آن تصمیم گرفت برای عملیاتی کردن مقالات خود و انجام کارهای بنیادی وارد صنعت شود تا روش‌های تولید مواد معدنی را بهینه سازی و بومی سازی کند.

وی می‌گوید: تاکنون توسط یک تیم ۴۵ نفره در شرکت دانش بنیان "درخش کاویان" روی سنگ معدن کروم و باریوم و در نهایت روی سنگ معدن استرانسیوم کارهای زیادی انجام دادیم.

این مبنکر جوان بیان داشت: ایران ذخایر بزرگی در زمینه سلستین دارد و میزان این ذخایر ۲ میلیون تن با عیار ۷۵ تا ۹۵ درصد سولفات استرانسیوم برآورد شده است. هرچند سولفات استرانسیوم در صنعت آنچنان دارای مصرف نیست اما به صورت کربنات استرانسیوم در اموری نظیر ساخت لامپ تلویزیون کاربرد دارد.

احمدی ادامه داد: سلستین به تنهایی بسیار خاک بی‌ارزشی است و در کشور ما هیچ نگاهی به این ماده نمی‌شد، اما ما روی این خاک کار کردیم، ولی اکنون متاسفانه، چون قیمت دلار افزایش یافته است معدن داران چندان همکاری با ما ندارند و با خواهش و تمنا از آنان سنگ معدن می‌گیریم.

وی گفت: در صنعت لعب و سرامیک شناختی از سلستین و استرانسیوم وجود نداشت اما ما با معرفی این دو ماده سیلیکات استرانسیوم را ابداع کرده و آن را جایگزین اکسید روی که قیمت آن بسیار بالا بود و در قیمت تمام شده کاشی و سرامیک هم تاثیر زیادی داشت جایگزین کردیم و با تولید این ماده به صنعت کاشی و سرامیک خدمت شایانی کردیم.

احمدی اظهار کرد: اکسید روی قیمتیش ۱۰ برابر جنسی است که ما تولید کردیم، اکسید روی سنگ معدنش از کشور ترکیه وارد می‌شود و سپس آن را در زنجان به شمش روی تبدیل می‌کنند و باز این ماده را تبدیل به اکسید روی می‌کنند.

وی خاطرنشان کرد: برای صادرات این ماده به کشورهایی، چون چین، ترکیه و ایتالیا اقدام کردیم اما به واسطه تحریم‌ها و هزینه بالای حمل و نقل کار عملی نشد و از دولت می‌خواهیم که یکسری قوانین برای صادرات را برای ما تسهیل کند.

منبع: <https://tn.ai/2374468>

رونق اقتصاد ملی با حمایت از صنعت کاشی و سرامیک / مشکلات داخلی، سد راه تولیدکنندگان است.

گروه استان‌ها- حمایت مستولان از صنعت کاشی و سرامیک موجب رشد چرخه این صنعت، اشتغال‌زایی و ارزآوری برای کشور می‌شود اما چند سال گذشته به سبب برخی مشکلات، این صنعت تاثیرگذاری در بازار داخلی و رقابت با دیگر کشورها را از دست داده و با رکود مواجه است.

به گزارش خبرگزاری تسنیم از قزوین تولید کاشی از اصلی‌ترین و قدیمی‌ترین مصنوعات ساخت بشر بوده و همواره نقش تعیین کننده‌ای در رشد و فرهنگ جامعه ایفا کرده است؛ این هنر در ابتدا به صورت دستی و سنتی رواج داشت و از نیم قرن پیش با احداث اولین کارخانه مدرن تولید کاشی و سرامیک در کشور، شکل صنعتی به خود گرفت.

این صنعت از آن زمان تاکنون توانسته است نقش خود را در اقتصاد ایفا کند به طوری که در حال حاضر زمینه اشتغال‌زایی برای ۴۰۰ هزار نفر را فراهم کرده این در حالی است که کشور ما به دلیل برخورداری از منابع و ذخایر طبیعی، نیروی انسانی و تکنولوژی همواره از مزیت اقتصادی برای تولید این محصول برخوردار بوده است.

همچنین این صنعت یکی از مهم‌ترین بخش‌های تولیدی بوده که می‌توان با برنامه‌ریزی صحیح صادرات این محصول را افزایش داده و امکان رقابت با پیشتران این عرصه را فراهم کرد.

در گذشته این صنعت به لحاظ کیفی و کمی با رشد و توسعه بسیاری همراه شد و میزان تولید آن افزایش چشمگیری یافته بود اما در چند سال گذشته به سبب اجرای برخی سیاست‌های غلط با آسیب‌های فراوان و کاهش رونق روبرو شده، در حالی که حمایت از این صنعت علاوه بر رشد و پیشرفت اقتصادی که برای کشور فراهم می‌کند امکان قرار گرفتن ایران در جایگاه‌های جهانی در این حوزه را نیز به وجود می‌آورد.

بخش اعظم صادرات کاشی و سرامیک به کشورهای همسایه است.

بهنام عزیز زاده دبیر انجمن صنفی تولیدکنندگان کاشی و سرامیک اظهار داشت: میزان تولید کاشی و سرامیک در سال ۹۰ حدود

۵۰۰ میلیون عدد بود اما طی سال‌های اخیر علی‌رغم افزایش ظرفیت‌ها، تولید با کاهش چشم‌گیری مواجه شده است. وی با اشاره به اینکه ظرفیت واحدهای تولیدی حدود ۶۰ درصد است افزود: ظرفیت تولید کاشی و سرامیک ۷۰۰ میلیون متر مربع در سال است و در پایان سال ۹۸ شاهد تولید ۳۹۰ میلیون متر مربع کاشی و سرامیک در کشور بوده‌ایم.

عزیز زاده با بیان اینکه وضعیت تولید نسبت به سال گذشته تغییر چندانی نداشته است خاطرنشان کرد: معضلاتی همچون کرونا بر روند تولید تأثیر بسیاری داشته است به طوری که در دو ماه اول سال به سبب محدودیت‌های بهداشتی، با حداقل میزان فعالیت کارخانه‌ها روپرور بوده‌ایم.

دییر انجمن صنفی تولید کنندگان کاشی و سرامیک گفت: مشکلات بانکی، تأمین مواد اولیه، معضلات ارزی و عدم ثبات اقتصادی از جمله مواردی است که موجب تأثیرات منفی بر روند تولید کاشی و سرامیک شده است.

وی تأکید کرد: رکود موجود در صنعت ساخت‌وساز موجب شده تا واحدهای تولیدی قادر به تولید این کالا به نسبت ظرفیت خود نباشند چراکه رونق ساخت‌وساز موجب رشد صنعت کاشی و سرامیک می‌شود.

عزیز زاده ادامه داد: میزان ساخت و ساز مسکن نسبت به چند سال اخیر در پایین‌ترین مقدار خود قرار داشته و این موضوع سبب شده تا عرضه محصول بیش از تقاضا بوده و با شکست نرخ، رکودی در این صنعت ایجاد شود.

دییر انجمن صنفی تولید کنندگان کاشی و سرامیک افزود: در مقطعی از زمان به سبب افزایش ساخت‌وساز در قالب مسکن مهر، مصرف کاشی و سرامیک افزایش یافت؛ در صورت اصلاح وضعیت مسکن و افزایش قدرت خرید مردم که توسط ارزان‌سازی در این حوزه صورت می‌گیرد می‌توان بخش زیادی از معضلات را حل نمود.

این مقام صنفی عنوان کرد: محدودیت‌های به وجود آمده صادراتی و رعایت پروتکل‌های بهداشتی در گمرک‌ها مانع از ارسال محصولات به تمامی کشورها شده است؛ همچنین معضلات موجود در سیستم بانکی و بازگشت ارز نیز بر این مشکلات دامن زده‌اند.

عزیز زاده ادامه داد: در حال حاضر بخش اعظم صادرات محصولات تولیدی به کشورهای همسایه همچون عراق، پاکستان و افغانستان است؛ در صورت رفع موانع صادرات قادر خواهیم بود تا گام بلندی در این حوزه برداریم.

دییر انجمن صنفی تولید کنندگان کاشی و سرامیک ادامه داد: به سبب کیفیت بالا و قیمت پایین کاشی ایران به نسبت دیگر کشورها همواره ظرفیت عظیمی برای صادرات به کشورهای همسایه وجود دارد به‌طوری که کشور عراق بیش از ۸۰ درصد تقاضای خود را از بازار ایران تهیه می‌کند.

وی بیان کرد: کشور پاکستان با جمعیت بالای ۲۰۰ میلیون نفر ظرفیت عظیمی برای صادرات این محصول است و در سال گذشته موفق به صادرات بیش از ۲۰ میلیون متر مربع به این کشور بوده و در صورت برنامه‌ریزی مناسب قادر به صادرات بیشتری خواهیم بود.

عزیز زاده تأکید کرد: ایران دارای ۱۵ کشور همسایه بوده و در صورت استفاده صحیح از این ظرفیت و گسترش روابط تجاری با آن‌ها، چه بسا نیاز به صادرات به کشورهای دوردست نبوده و این کشورها قادر به رفع نیازهای صادراتی کشور باشند.

دییر انجمن صنفی تولید کنندگان کاشی و سرامیک خاطرنشان کرد: اخیراً دولت محدودیت‌هایی مبنی بر استفاده صرف تولید کنندگان از مواد اولیه داخلی و عدم تخصیص ارز در واردات نموده است؛ این درحالی است که برخی از محصولات مشابه داخلی از لحاظ کیفیت و کمیت پاسخگوی نیاز تولید کنندگان نبوده‌اند.

وی ادامه داد: این موضوع باعث مشکلاتی برای تولید کنندگان شده و تولید ناکافی این مواد، افزایش قیمت آن‌ها برای واحدهای تولیدی را به دنبال داشته است.

این مسئول عنوان کرد: در صورت اصلاح سیستم بانکی و امکان بازگشت پول محصولات صادر شده تمایل شرکت‌ها نسبت به صادرات به دیگر کشورها افزایش خواهد یافت.

عزیز زاده با اشاره به اینکه در حال حاضر میزان صادرات ۱۷۰ میلیون متر مربع است ادامه داد: محصولات کشور به دلیل کیفیت بالا و قیمت پایین نسبت به دیگر کشورها توان رقابت و قرارگرفتن در جایگاه‌های جهانی، ارزآوری و اشتغال‌زایی را فراهم می‌کند.

دیبر انجمن صنفی تولیدکنندگان کاشی و سرامیک عنوان کرد: تحریم‌ها و سیاست‌های ساخت ساز از مواردی هستند که در صورت اصلاح تأثیر زیادی در بهبود روند وضعیت فعلی این صنعت خواهد داشت.

کاهش رغبت سرمایه‌گذاران برای سرمایه‌گذاری در صنعت کاشی و سرامیک

سید احمد میرزایی رئیس اتاق تعاون استان یزد و یک فعال اقتصادی اظهار داشت: تهیه مواد اولیه مورد نیاز تولیدکنندگان صنعت کاشی و سرامیک، افزایش قیمت خرید آن و بالا رفتن قیمت دلار باعث شده تا مشکلاتی برای واحدهای تولیدی و فعالان این عرصه ایجاد شود.

وی ادامه داد: شکست قیمت توسط شرکت‌های ضعیفتر، خرید ریالی توسط تاجران دیگر کشورها، عدم تخصیص ارز کافی توسط بانک به شرکت‌ها و افزایش قیمت حامل‌های انرژی نیز از جمله مواردی است که به بالا رفتن مشکلات واحدهای تولیدی دامن زده است.

رئیس اتاق تعاون استان یزد گفت: افزایش قیمت مسکن و تورم نیز از دلایلی است که موجب کم شدن قدرت خرید مردم و به تبع آن کاهش ساخت‌وساز و مصرف کاشی و سرامیک شده است.

میرزایی با بیان اینکه در گذشته سرمایه‌گذاری در صنعت کاشی و سرامیک صرفه اقتصادی بیشتری داشت تأکید کرد: افزایش قیمت دلار و کاهش ارزش پول ملی موجب شده تا سرمایه‌گذاران رغبت کمتری برای ورود به این عرصه داشته باشند.

این مسئول خاطرنشان کرد: تجهیزات و تکنولوژی واحدهای تولیدی کاشی و سرامیک مناسب زمان حال هستند و در سال‌های آینده در صورت فرسودگی و عدم سرمایه‌گذاری سرمایه‌گذاران، ممکن است کارایی خود را از دست بدهند.

وی با اشاره به نقش مخرب دلالان در این صنعت عنوان کرد: مشکلاتی همچون خرید جنس بی‌کیفیت و عرضه آن در بازارهای خارجی که موجب کاهش اعتبار جنس ایرانی می‌شود، از معضلاتی است که توسط این افراد در این حوزه به وجود می‌آید.

توجه به صادرات غیرنفتی می‌تواند راهکشای مشکلات اقتصادی باشد.

صنعت کاشی و سرامیک با وجود مزیت‌های اقتصادی، ارزآوری، اشتغال‌زایی و منافعی که برای کشور دارد طی سالیان گذشته از توجه کمتری نسبت به قبل برخوردار بوده و با مشکلات عدیدهای دست و پنجه نرم می‌کند.

مشکلات فراوانی موجب رکود و معضلات بسیاری در میان تولیدکنندگان و فعالان این عرصه شده؛ مسائلی که گستره عظیمی از، مواد اولیه تا دخالت دلالان را دربر می‌گیرد.

مضلاعاتی همچون مسئله ارز، کمبود ساخت و ساز و تأثیر که در صنعت کاشی و سرامیک به وجود می‌آورد، منطبق نبودن بازار مصرف داخلی با ظرفیت تولیدی و تحریم‌ها که بار سنگینی بر دوش تولیدکننده قرار داده؛ این در حالی است که در سند چشم‌انداز کشور کاهش وابستگی هرچه بیشتر به نفت و توجه به صادرات غیر نفتی پیش‌بینی شده و با برنامه‌ریزی صحیح در این عرصه می‌توان به جایگاه حقیقی خویش، کسب جایگاه چهارم جهانی و صادرات دو میلیارد دلاری دست یافت.

به همین منظور لازم است مسئلان و متولیان امر در حمایت همه جانبه از این صنعت اشتغالزا و ارزآور بیش از پیش برنامه‌ریزی کنند.

منبع: <https://tn.ai/2385230>

سرامیک‌های صنعتی دانش‌بنیان به صنایع کشور نفوذ کرد.

یک هلدینگ دانش‌بنیان انواع محصولات پیشرفته آلومینایی، کاتالیست، سیلیکاتی، آلفا آلومینا، گاما آلومینا و غیره را در ایران تولید می‌کند.

به گزارش خبرگزاری مهر به نقل از معاونت علمی و فناوری، هلدینگی دانش‌بنیان، انواع محصولات پیشرفته آلومینایی، کاتالیست، سیلیکاتی، آلفا آلومینا، گاما آلومینا و غیره در ایران را تولید می‌کند که این محصولات بخش بزرگی از نیاز صنایع مختلف کشور را مرتفع کرده است.

این شرکت دانش‌بنیان از سال ۷۴ کار خود را در حوزه تولید گلوله‌های سرامیکی آلومینایی مورد استفاده در بالمیل‌های صنعتی (آسیاب‌های صنعتی) آغاز کرد و این کار

را با ایجاد خط تولید لاینرهای آلومینایی بالمیل برای حفاظت از پوشش فلزی آسیاب‌های صنعتی ادامه داد. پس از تثبیت این دسته از محصولات در بازار، برنامه بعدی خود را نفوذ به صنایع نفت، گاز و پتروشیمی و سرامیک قرار داد.

این محصولات در صنایع مختلفی مانند نفت، گاز و پتروشیمی، معدن و فولاد، کاشی، سرامیک، چینی، لعب، رنگ و سیمان، صنایع شیمیایی و غذایی، صنایع هوای فشرده، دیر گذاز و غیره به کار

می‌رود. سرامیک بال‌های آلومینایی و سیلیکاتی به عنوان یک محصول استراتژیک توسط این شرکت، تولید و در مدت کوتاهی با توجه به کیفیت بالا و اختلاف قیمت چشمگیر آن با نمونه‌های مشابه خارجی در بازار داخلی، توانست جای خود را در صنعت باز کند.

به گفته اصغر برهانی، مدیر عامل این شرکت دانش‌بنیان، توسعه تولید محصولات سرامیک‌های ضد سایش مورد مصرف صنایع معدنی و فولادی هدف بعدی این شرکت قرار گرفت. تولید اکتیو آلومینا با اتکا به دانش بومی و ساخت ۱۰۰ درصدی تجهیزات لازم در صنایع مختلف محصول دیگر این شرکت بود. این محصول، شرکت را در لیست تولیدکنندگان کاتالیست و جاذب در اندازه صنعتی قرار داد.

وی گفت: قطعات ویژه آلومینایی مورد نیاز صنایع مختلف کشور و تولید کاتالیست‌های بازیابی گوگرد برای پالایشگاه‌های گاز کشور و صنایع نفت گاز و پتروشیمی، آجرهای ضد اسید در صنایع غذایی و آزمایشگاهی و فرآوری سنگ آهن ایزیست مورد استفاده در گل حفاری، رنگ‌های ضدخوردگی و صنایع فولاد از محصولات دیگر شرکت ما است.

این فعال دانش‌بنیان بیان کرد: ما با اتکا به توان داخلی از سال ۹۵ به تولید پودر گاما آلومینا به عنوان ماده اولیه تعدادی از محصولات مورد استفاده در این صنایع همت کردیم و با این کار، خروج ارز از کشور را کاهش دادیم. تولید با کیفیت آلفا آلومینا در این شرکت، ایران را به پنجمین کشور تولید کننده این ماده استراتژیک در دنیا بدل کرد.

برهانی ادامه داد: آلومینا دارای ساختارهای کریستالی متفاوت است که بیشتر آنها ناپایدار هستند. تنها فاز پایدار، فاز آلفا آلومینا است. ویژگی‌های آلفا آلومینایی ما شامل استحکام فشاری بالا، سختی بالا، مقاومت به سایش، مقاومت در برابر محیط‌های شیمیایی حتی در دماهای زیاد، رسانایی گرمایی بالا، دیرگذازی بالا و مقاومت دی‌الکتریک بالا می‌شود.

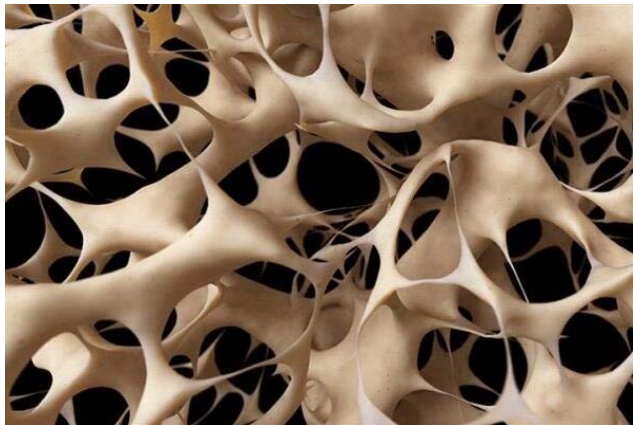
منبع: <https://www.mehrnews.com/news/5047426>



اخبار علمی

ترمیم ضایعات استخوانی با یک ساختار جدید

محققان کشور ساختار جدیدی متشکل از کلسیم فسفات، ژلاتین و هیدروکسی آپاتایت برای ترمیم ضایعات استخوانی معرفی کردند.



به گزارش خبرنگار مهر، در حال حاضر استاندارد طلایی برای پیوند استخوان به نواحی استخوانی صدمه دیده که با وجود گذشت زمان و دریافت درمان بهبود نیافته‌اند، استفاده از استخوان‌های اسفنجی خود فرد یا قطعات رگزایی شده از استخوان فیبولا یا ستیغ ایلیاک است. با این وجود برداشت استخوان‌ها باعث افزایش هزینه‌های عمل می‌شود، با محدودیت‌های آناتومیک همراه است و منجر به عوارض قابل توجه در محل برداشت استخوان می‌گردد.

می‌توان از پیوند استخوان‌های اهداده بیماران مرگ مغزی

به عنوان جایگزین استفاده کرد، اما این روش با کمبود اهدادکننده، احتمال انتقال بیماری‌های ویروسی و باکتریایی و لزوم سرکوب سیستم ایمنی فرد دریافت کننده پیوند همراه است. یکی از روش‌های درمان شکستگی‌های بهبود نیافته که پژوهش‌های زیادی در جهت توسعه آن انجام گرفته، استفاده از مواد زیست-مهندسی شده است.

گروهی از سرامیک‌های زیستی به نام کلسیم فسفات‌ها که به دلیل ویژگی‌های زیستی مناسب و شباهت ساختاری و شیمیایی به بافت استخوان سال‌ها در دندانپزشکی و جایگزینی مفاصل مورد استفاده قرار گرفته‌اند گزینه مناسبی برای استفاده در درمان شکستگی‌های بهبود نیافته محسوب می‌شوند.

با هدف ارتقاء ساختار کلسیم فسفات برای استفاده در درمان شکستگی‌های بهبود نیافته، دکتر مهرداد خاکبیز، محمد نوری، نادر نظافتی، دکتر محمدرضا باغان اسلامی‌نژاد و همکارانشان در دانشگاه تهران، مرکز تحقیقات مواد و انرژی، و پژوهشگاه رویان، طی پژوهشی، این ترکیب را با ریزکره‌هایی از ژلاتین و ریزرشته‌های هیدروکسی آپاتایت ترکیب کردند و به بررسی ویژگی‌های آن پرداختند.

نتایج این پژوهش که در مجله بین‌المللی Journal of Alloys and Compounds به چاپ رسیده است، نشان داد افزودن ژلاتین و هیدروکسی آپاتایت، اثر منفی زیادی در یکپارچگی ساختاری کلسیم فسفات ندارد. همچنین بررسی‌ها نشان داد استفاده از ریزکره‌های ژلاتین میزان تخلخل این ساختار را تا ۶۹٪ افزایش داده است. علاوه بر این، بررسی‌ها مشخص کرد ویژگی‌های مکانیکی و ریزساختاری در کامپوزیت‌های محتوی ۱۰ درصد هیدروکسی آپاتایت، مناسب‌تر است.

بررسی‌های سلولی در شرایط آزمایشگاهی نشان داد افزودن ژلاتین و هیدروکسی آپاتایت پاسخ زیستی کلسیم فسفات را بهبود می‌بخشد. با این وجود با توجه به نوع استخوان نیازمند ترمیم، ویژگی‌های کامپوزیت پیوندی قابل تنظیم و کنترل است.

برای استفاده درمانی از این کامپوزیت پژوهش‌های بیشتر ضروری است.

منبع: <https://www.mehrnews.com/news/5058183>

دومن کنفرانس VITROGEowASTES

May 23-26, 2021

Baeza, Spain

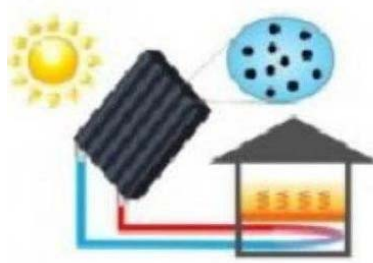
این کنفرانس در یک مکان زیبا در جنوب اسپانیا به نام Baeza برگزار می‌شود. یکی از اصلی‌ترین وظایفی که امروزه توسط جامعه علمی- فنی در زمینه مواد به آن پرداخته می‌شود. حل یکی از مشکلات انرژی و زیست محیطی ناشی از تولید گسترده سیمان پرتلند است. جستجوی سیمان‌های جایگزین یا سبز جدید برای محدود کردن انتشار CO_2 ضروری است. امیدوار کننده‌ترین سیمان جایگزین، سیمان قلیایی با سیمان ژئوپلیمر است که به دلیل خواص و تأثیر کم زیست محیطی، سیمان آینده محسوب می‌شود. یکی از مزایای ژئوپلیمرها با توجه به سیمان‌های سنتی و مواد سرامیکی از منظر زیست محیطی تا حد زیادی با انتشار CO_2 در ارتباط است. زیرا در روند تولید ژئوپلیمر انتشار بسیار کمتر است. این امر عمدتاً به دلیل عدم وجود مرحله کلسینه‌ی دمای بالا در فرایند سنتز است. مواد فعال قلیایی (AAM)، پلیمرهای معدنی یا ژئوپلیمرها، دسته‌ی جدیدی از مواد پلیمری غیر آلی مصنوعی را تشکیل می‌دهند که با فعال سازی قلیایی آلومینوسیلیکات تولید می‌شوند که با ساختار شبکه سه بعدی به طور عمده امورف مشخص می‌شوند. این مواد را می‌توان در چندین کاربرد استفاده کردن مواد سیمانی، کاتالیست‌ها و حتی به عنوان یک ماتریس تقویت کننده برای مواد کامپوزیتی با الیاف. در چارچوب تاکید گسترده و روزافرون بر پایداری، AAM توجه پژوهشگران را به خود جلب کرده است زیرا موادی هستند که می‌توانند از پیش ماده‌های مختلف غنی از مواد معدنی - SI-A1، از جمله ضایعات و محصولات جانبی صنعتی، با تولید دما پایین به دست بیایند. بنابراین دلالت بر مزایای زیست محیطی بسیار در مقایسه با مواد سیمانی سنتی به دلیل تاکید مداوم بر پایداری دارند. علاوه بر این، جنبه‌های اصلی ساختاری و ریزساختاری شیشه‌های شیشه سرامیک‌ها و ژئوپلیمرهای بدست آمده از هر دو فرآیند شیشه سازی و ژئوپلیمریزاسیون از انواع ضایعات صنعتی برای رسیدن به بهترین ویژگی‌ها، برای بهبود دانش و خواص نهایی، بررسی و مورد بحث قرار خواهند گرفت. مباحث دیگری شامل اصول اساسی ساکن کردن ضایعات با زینتر کردن سرامیک سازی، مشخصه‌یابی مواد سرامیکی ساخته شده با بازیافت ضایعات، اصول فرایند شیشه سازی برای ساکن سازی ضایعات و تبلور بعدی و مشخصه‌یابی کامل آنها و مبانی ژئوپلیمریزاسیون ضایعات برای ساکن سازی و مشخصه‌یابی آنها در یزساختار و خواص تکنولوژیکی، پوشش داده می‌شوند.

عنوان اصلی:

- ژئوپلیمرهای مواد قلیایی فعال شده
- مدیریت مواد زائد و محصولات فرعی اعمال شده روی مواد سرامیکی
- شیشه سازی و اقتصاد دایره‌ای
- سیمان‌های مبتنی بر ضایعات

منبع: <http://Vitrogeowastes.com>

نانوذراتی که نور خورشید را با کارایی ۹۰ درصد به گرمای تبدیل می‌کند.



محققان ژاپنی نانوذرات نیترید تیتانیوم ساختند که در صورت وارد شدن در آب می‌تواند با کارایی ۹۰ درصد نور خورشید را به گرمای تبدیل کند. یک گروه تحقیقاتی از ژاپن با انجام تحقیقتی نشان دادند که نانوذرات فلزات انتقالی که به صورت نیترید و کاربید باشند قادر به جذب نور خورشید خواهند بود.

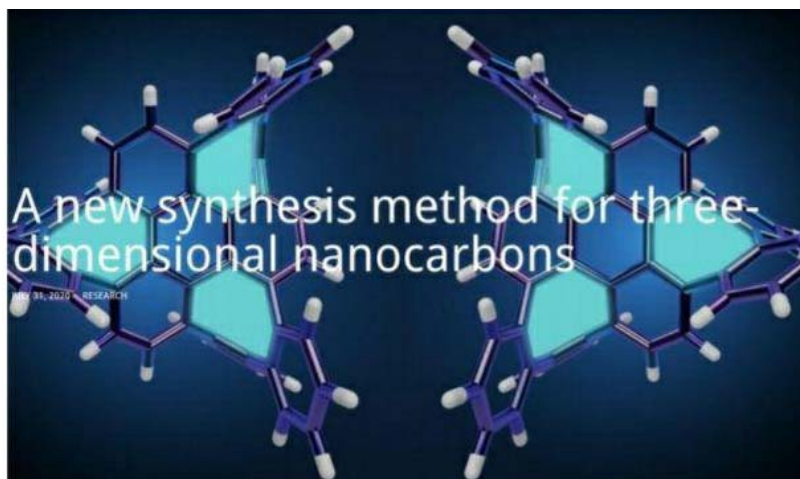
محققان این پروژه برای اثبات یافته‌های خود، این نانوذرات را به آب افزوده و نشان دادند که به سرعت دمای آب افزایش می‌یابد. ساتوشی ایشی و تاداکی ناگاوا از گروه

نانوسیستم‌های فتوئنیک مؤسسه نانو معماری مواد ژاپن (MANA) نشان دادند که افزودن نانوذرات کاربیدی و نیتریدی فلزات انتقالی می‌تواند به سرعت دمای آب را افزایش دهد. نور خورشید از منابع مهم برای تأمین انرژی است. معمولاً از نور خورشید برای گرم کردن آب و سپس از آن برای تولید الکتریسیته استفاده می‌شود. میزان تبدیل نور به گرمای کمی از عوامل مهم در این فرآیند است. نیمی از مصرف انرژی در منازل صرف گرم کردن آب و هوا می‌شود. اگر بتوان روشی برای استفاده از نور خورشید

برای این کار ارائه کرد، می‌توان بدون نیاز به الکتروسیسته، آب یا هوا را گرم کرد با این کار میزان نشر دی اکسید کربن کاهش می‌باشد. در این پژوهه محققان به صورت مستقیم نانوذرات را وارد آب کردند تا جذب نور خورشید توسط آب را به حداکثر برسانند. ناتو لومزاوا و همکارانش محاسباتی انجام دادند که بهترین مواد را برای تولید نانوذرات به منظور استفاده در آب معرفی کنند. آنها به دنبال ترکیبی بودند که بتواند با کارایی بالا تبدیل انرژی را انجام دهد. نتایج یافته‌های آنها نشان داد، کاربیدها و نیتریدهای فلزات انتقالی می‌توانند بهترین گزینه برای این کار باشد. این ترکیبات سرامیکی جاذب‌های بسیار مناسبی هستند. این گروه نیترید تیتانیوم را انتخاب و آن را در آب غوطه ور کردند. نتایج آزمایش‌ها نشان داد که این نانوذرات با کارایی ۹۰ درصد می‌توانند انرژی را تبدیل کنند. از آنجایی که رزونانس پلاسمونی در سطح این ذرات اتفاق می‌افتد، فرآیند جذب نور با کارایی بالاتری نسبت به نانوذرات طلا و کربن اتفاق می‌افتد. این گروه قصد دارند از این روش برای گرم کردن زمین، آب و پساب‌ها استفاده کنند. برای این کار از مواد هیبریدی حاوی پلیمر و نانوذرات استفاده می‌شود.

منبع: t.me/IrCeC

روش سنتز جدید برای نانو کربن‌های سه بعدی



گروهی از دانشمندان به سپرستی Kenichiro Itami استاد و مدیر انسٹیتوی زیست مولکول‌های قابل تغییر (WPI - ITPM) سنتز نانو کربن‌های سه بعدی با پتانسیل پیشرفت علم مواد ایجاد کرده‌اند. نانوکربن‌های سه بعدی، مواد نسل بعدی با ویژگی‌های فیزیکی برتر است که انتظار می‌رود در سلول‌های سوختی و الکترونیک طبیعی کاربردهایی پیدا کنند. تاکنون برای سنتز کردن با روشی دقیق و کاربردی بسیار چالش برانگیز بوده‌اند. این روش جدید با استفاده از یک کاتالیست پالادیومی برای اتصال هیدروکربن‌های آروماتیک چند حلقه‌ای برای تشکیل یک ساختار هشت ضلعی، امکان سنتز موفق مولکول نانو کربن سه بعدی را فراهم می‌کند.

نانوکربن‌ها مانند فولرن (کره‌ای که برای آن جایزه نوبل ۱۹۹۶ اعطا شد). نانولوله‌های کربنی (استوانه‌ای که در سال ۱۹۹۱ کشف شد) و گرافن (صفحه‌ای که برای آن جایزه نوبل سال ۲۰۱۰ داده شد) توجه زیادی را به عنوان مولکول‌های کاربردی با انواع مختلفی از ویژگی‌ها، به خود جلب کردند. از زمانی که Mackay و همکاران نظریه‌ی خود را در سال ۱۹۹۱ مطرح کردند. انواع نانو کربن‌های دوره‌ای سه بعدی ارائه شده است. با این حال، سنتز این‌ها فوق العاده دشوار است. یک چالش خاص، ساختار هشت حلقه‌ای است که به صورت تناوبی ظاهر می‌شود و به یک روش کار آمد برای سنتز آن نیاز است. برای این کار، تیم پژوهشی دکتر Itami روش جدیدی را برای اتصال هیدروکربن‌های آروماتیک چند حلقه‌ای با استفاده از یک کاتالیست پالادیومی برای تولید حلقه‌های هشت تایی از طریق اتصال عرضی ایجاد کرد که اولین واکنش از نوع آن در جهان است. موفقیت این پژوهش نشان دهنده‌ی یک دستاورده انتقلابی در سنتز مولکول نانو کربن سه بعدی است و پیش‌بینی می‌شود که منجر به کشف و توضیح خصوصیات خاص در آینده و توسعه مواد سازه‌ای نسل بعدی شود.

منبع: <https://nano-magazine.com/news/2020/7/31/a-new-synthesis-method-for-three-dimensional-nanocarbons>

نانو رس مایع (LNC)

نانو رس مایع (LNC) هنگامی که آب و خاک رس در یک فرآیند ثبت اختراع مخلوط می‌شود ایجاد می‌شود.

این روش درمانی خصوصیات بدنی ذرات ماسه را به طور کامل تغییر می‌دهد و به آنها امکان اتصال آب را می‌دهد. این ماده خاک شنی با کیفیت پایین را به خاک با کیفیت مناسب تبدیل می‌کند.

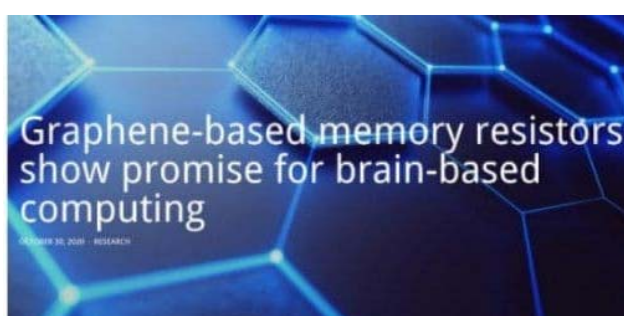
LNC با استفاده از روش‌های سنتی آبیاری (یا تزریق مستقیم به سیستم‌های آبیاری آب) مستقیماً در بالای زمین‌های شنی و ماسه‌ای اعمال می‌شود. مخلوط خاک را تا عمق ۴۰-۶۰ سانتی متر اشباع می‌کند و آب را مانند اسفنج نگه می‌دارد. فرایندی برای استخراج نانورس از خاک رس، مانند بنتونیت، ارایه شده است. این فرایند شامل مخلوط کردن خاک رس لایه‌ای با ۳۰ تا ۵۰۰ برابر وزن آب است. این مخلوط را حدود ۲۴ ساعت هنوز نگه می‌دارند تا خاک رس و لایه به لایه تحت یک واکنش هیدراتاسیون قرار بگیرند. مخلوط کردن مخلوط برای تشکیل مایع. نگه داشتن مایع در ظرف اول برای حدود ۴۸ ساعت، که در آن یک رسوب در پایین اولین ظرف اول تشکیل شده است. جداسازی مایعاتی که از رسوب از اولین ظرف خارج می‌شود. نگه داشتن مایع از رسوب در ظرف دوم به مدت ۱۸۰-۱ روز، که در آن رسوب در انتهای ظرف دوم تشکیل می‌شود. جداسازی و خشک کردن مایعی که از رسوب خارج شده از ظرف دوم باشد تا نانو رس تهیه شود.

راه حل LNC در نیمه دوم سال ۲۰۱۹ به صورت تجاری راه اندازی می‌شود.

LNC بر پایه مواد معدنی است (زیرا از آب و خاک رس تشکیل شده است)، بنابراین فقط از اجزای طبیعی ساخته شده است، و از نظرزیست محیطی نیز سالم است و تهدیدی برای اکوسیستم ندارد.

منبع: t.me/IrCeC

مقاومت‌های حافظه‌ی بر پایه‌ی گرافن نویدبخش انجام محاسبات مبتنی بر مغز هستند.



با کندشن پیشرفت در محاسبات سنتی، اشکال جدیدی از محاسبات ظاهر شدند. در ایالت Penn، تیمی از پژوهشگران در حال تلاش برای تولید نوعی محاسبات هستند که ضمن بهره برداری از طبیعت آنالوگ مغز، از کارایی شبکه‌های عصبی آن تقليید می‌کند.

محاسبات مدرن دیجیتال است و از در حالت خاموش یا روشن و یا صفر و یک تشکیل شده است. یک کامپیوتر

آنالوگ، مانند مغز. حالات ممکن بسیاری دارد. این تفاوت بین چرخاندن سوئیچ نور برای روشن یا خاموش کردن و چرخاندن کلید کم نور به مقادیر مختلف روشنایی است.

طبق گفته‌ی Das سرپرست تیم و استادیار علم مهندسی و مکانیک دانشگاه ایالتی Penn، محاسبات نورومورفیک با الهام گرفته از مغز بیش از ۴۰ سال مورد مطالعه قرار گرفته است. نکته جدید این است که با دستیابی به محدودیت‌های محاسبات دیجیتال، نیاز به پردازش تصویر با سرعت بالا. به عنوان مثال برای اتممیل‌های خودران افزایش یافته است. ظهور داده‌های بزرگ که به انواع تشخیص الگو نیاز دارد و ساختار مغز به ویژه برای آنها مناسب است، عامل دیگری در زمینه‌ی محاسبات نورومورفیک است. Das گفت: "ما رایانه‌های قدرتمندی داریم و در این شکی نیست. مشکل این است که شما باید حافظه را در یک محل ذخیره کنیم و محاسبات را در محل دیگری انجام دهیم." جابجایی این داده‌ها از حافظه به منطق و برگشت دوباره. انرژی زیادی می‌برد و سرعت محاسبات را کاهش می‌دهد. همچنین، این معماری کامپیوتر به فضای زیادی نیاز دارد. اگر محاسبه و ذخیره سازی حافظه در یک فضا قرار داشته باشد، می‌توان این گلوگاه را از بین برد.

Thomas Shrangnamer دانشجوی دکترا گروه Das و اولین نویسنده مقاله‌ای که اخیراً در Nature Communications منتشر شده است، توضیح داد: "ما در حال ایجاد شبکه‌های عصبی مصنوعی هستیم که به دنبال تقليید از انرژی و بازده منطقه‌ای مغز هستند. مغز بسیار فشرده است و می‌تواند در بالای شانه‌های شما قرار گیرد. در حالی که یک ابر رایانه‌ی مدرن فضایی به اندازه دو یا سه زمین تنیس را اشغال می‌کند." مانند سیناپس‌های متصل کننده‌ی نورون‌های مغز که می‌توانند دوباره پیکربندی شوند. شبکه‌های عصبی مصنوعی که تیم در حال ساخت آن است نیز می‌توانند با استفاده از یک میدان الکترومغناطیسی مختصراً روی

یک ورق گرافن، یک لایه‌ی ضخیم اتمی از اتم‌های کربن. پیکربندی شوند. در این کار. آنها حداقل ۱۶ حالت حافظه احتمالی را برخلاف دو حالت موجود در اکثر حافظه‌های بر پایه‌ی اکسید نشان می‌دهند. Das گفت: "آنچه ما نشان دادیم این است که می‌توانیم تعداد زیادی از حالت‌های حافظه را با استفاده از ترانزیستورهای متأثر از میدان گرافنی، با دقت کنترل کنیم." این تیم فکر می‌کند ارتقا این فناوری در مقیاس تجاری امکان پذیر است. با توجه به اینکه بسیاری از بزرگترین شرکت‌های نیمه‌هادی فعالانه محاسبات نورومورفیک را دنبال می‌کنند؛ Das معتقد است که این کار مورد علاقه را پیدا خواهد کرد. علاوه بر Das و Synapses Merristive Graphene for High Precision Aaryan Oberoi Shranghamer نویسنده‌ی دیگر مقاله با عنوان "Daneshgouy Dكتراي علم مهندسي و مكانيك است.

منبع:

<https://nano-magazine.com/news/2020/10/30/graphene-based-memory-resistors-show-promise-for-brain-based-computing>

پتانسیل مهندسی نانو برای بهبود ذخیره‌ی انرژی



توسعه‌ی سریع منابع انرژی تجدیدپذیر باعث ایجاد تقاضای فراوان در سیستم‌های ذخیره‌ی انرژی ثابت با مقادیر بزرگ، مفروض به صرفه و با چگالی انرژی بالا می‌شود.

باتری‌های لیتیوم-یونی (LIBs) مزایای بسیاری دارند اما عناصر فلزی فراوان دیگری از جمله سدیم، پتاسیم، روی و آلومینیوم در دسترس هستند.

این عناصر، شیمی مشابهی با لیتیوم دارند و اخیراً

به طور گسترده مورد بررسی قرار گرفته‌اند که شامل باتری‌های سدیم یونی (SIBs)، باتری‌های پتاسیم یونی (PIBs)، باتری‌های روی یونی (ZIBs) و باتری‌های آلومینیوم یونی (AlIBs) می‌شوند. با وجود جنبه‌های امیدوار کننده مربوط به پتانسیل کاهشی و چگالی انرژی، تولید این باتری‌های برتر از LIBs به دلیل کمبود مواد الکترودی مناسب با مشکلاتی مواجه شده است. پژوهش‌های جدید به رهبری پروفسور Guoxiu Wang از دانشگاه فناوری سیدنی و منتشر شده در نشریه‌ی Nature Communications، یک استراتژی را با استفاده از مهندسی کرنش سطح تماس در نانوماده‌ی گرافن دو بعدی برای تولید نوع جدیدی از کاتد شرح می‌دهد. مهندسی کرنش، فرآیند تنظیم ویژگی‌های ماده با تغییر خصوصیات مکانیکی یا ساختاری آن است. پروفسور Wang، مدیر مرکز UTS برای فناوری انرژی پاک گفت: «باتری‌های برتر از لیتیوم-یونی نامزدهای مناسبی برای کاربردهای ذخیره با چگالی انرژی بالا، کم هزینه و فراوان انرژی هستند. اما چالش اصلی در تولید مواد الکترود مناسب است.» این پژوهش نوع جدیدی از کاندهای کرنش صفر را برای تعامل برگشت پذیر یون‌های برتر از Li^{+} ($\text{Li}^{+}, \text{Na}^{+}, \text{Al}^{3+}, \text{Zn}^{2+}, \text{K}^{+}$) از طریق مهندسی کرنش سطح تماس هتروساختار گرافن VOPO_4^- چند لایه‌ی دو بعدی نشان می‌دهد. هنگامی که به عنوان کاتد در باتری‌های پتاسیم یونی استفاده می‌شود، به یک ظرفیت ویژه‌ی بالا 160 mAh.g^{-1} و چگالی انرژی زیاد 570 w.h.kg^{-1} دست می‌یابیم که بهترین عملکرد گزارش شده تاکنون است. علاوه بر این، هتروساختار چند لایه‌ی دو بعدی می‌تواند به عنوان کاتد برای باتری‌های با کارابی بالا $\text{Zn}^{2+}, \text{Na}^{+}, \text{Al}^{3+}$ یونی نیز گسترش یابد.

پژوهشگران می‌گویند که این پژوهش یک استراتژی امیدوار کننده را برای استفاده از مهندسی کرنش مواد دو بعدی برای کاربردهای ذخیره‌ی پیشرفته‌ی انرژی ارائه می‌دهد.

پروفسور Wang گفت: استراتژی مهندسی کرنش می‌تواند برای بسیاری از نانومواد دیگر برای طراحی منطقی مواد الکترود به جهت کاربردهای ذخیره انرژی بالا و برتر از شیمی لیتیوم-یون گسترش یابد.»

منبع: <https://nano-magazine.com/news/2020/7/6/nano-engineering-shows-potential-for-improved-energy-storage>

بررسی تأثیر محیط حلال بر خواص ساختاری و مورفولوژیکی نانو ذرات اکسید روی سنتز شده با روش سل-ژل

شکوفه احمدپور^{*}، ابراهیم شریفی، محمد رضا نیلفروشان

بخش مهندسی مواد، دانشگاه شهرکرد، ایران



مهندس شکوفه احمدپور،

نویسنده‌ی اول مقاله، دانشگاه

* شهر کرد

چکیده: در این تحقیق نانو ذرات اکسید روی (ZnO) با استفاده از روش سل ژل سنتز شدند و تأثیر محیط حلال بر خواص ساختاری. مورفولوژیکی و اپتیکی ZnO با استفاده از پراش اشعه ایکس (XRD)، (SEM)، (EDRS) و (Far-FTIR) مورد بررسی قرار گرفت. متوسط اندازه پلورک‌های ZnO با استفاده از معادله دیابی شر برای نمونه‌های EZO، WZO و MZO به ترتیب، ۱۹/۹۷، ۲۱/۳ و ۲۸/۶ نانومتر محاسبه شد. الگوهای XRD ساختار تک فاز و ترتیب هگزاگونال را تایید کرد. تصاویر SEM یانگر ذرات آگلomerه تقریباً کروی شکل و دارای توزیع یکنواخت برای هر سه نمونه می‌باشد. توزیع اندازه ذرات با استفاده از نرم‌افزار SemAfore برای هر سه نمونه EZO، WZO و MZO به ترتیب ۳۶/۲، ۳۵/۷ و ۴۳/۸ تخمین زده شد.

کلمات کلیدی: سل-ژل، نانو ذرات، اکسید روی، حلال آبی.

- ۱- مقدمه

ZnO یک ترکیب غیر آلی و نیمه رسانای نوع n با باند ممنوعه (۳/۳۷eV) و انرژی اتصال بزرگ 60mev می‌باشد که دارای ساختار شش گوشی پایدار است. نانوذرات اکسید روی در انواع مختلفی از برنامه‌های کاربردی مانند جذب آلتی باکتریال، ابزارهای نوری، وریستورها و سنسورهای گازی استفاده می‌شوند. خواص جالب این نانوذرات از قبیل نیمه هادی، پیزوالکتریک و پیرووالکتریک توجه زیادی را بر روی سنتز کردن و ویژگی این مواد متمرکز نموده است. روش‌های مختلفی برای سنتز کردن نانوذرات ZnO وجود دارد این روش‌ها اساساً به سه گروه تقسیم می‌شوند که عبارتند از: فرآیندهای حالت جامد، سنتز شیمیایی، چگالش از فاز بخار. دو روش اخیر در سنتز و ساخت نانو ذرات ZnO کاربرد بیشتری دارند. از میان روش‌های سنتز نانو ذرات روش مبتنی بر پایه‌ی محلول، ارزان‌ترین و کمترین مصرف انرژی را داراست. از طریق این روش سنتز، مورفولوژی نانو ساختارها را می‌توان با دستیابی به عوامل تجربی مثل نوع حلال، مواد شروع کننده و شرایط واکنش کنترل نمود [۱]. حلال‌ها از طریق کنترل بیشینه دمای احتمالی انجام واکنش نقش مهمی در فرآیندها دارند. قطبیت حلال فاکتور اصلی مطرح شده در هر دو بحث جوانه‌زنی و رشد نانو ذرات ZnO بوده که متعاقباً روی شکل، اندازه و مورفولوژی نسبی نانوذرات اثر می‌گذارد و باعث بهبود خواص مغناطیسی، شیمیایی، الکتریکی و نوری آن‌ها برای کاربردهای مختلف می‌شود. در این مطالعه آب، محلول اتانول-آب و محلول متانول-آب به عنوان محیط حلال برای سنتز نانو ذرات ZnO با روش سل ژل در نظر گرفته شدند [۲]. روش‌های مبتنی بر پایه‌ی محلول برای سنتز نانو ذرات ZnO از قبیل هیدروترمال، سل ژل، هم رسوبی، میکروامولسیون، ماکروویو، روش شیمیایی مرتبط و... می‌باشند که از میان این روش‌ها، سل ژل به دلیل داشتن ویژگی‌هایی همچون قابلیت تکرارپذیری خوب، پایین بودن درجه حرارت پروسه تولید، هزینه تولید کمتر و سهولت در کنترل فیزیکی مشخصات و مورفولوژی نانو ذرات و همگنی ترکیب و خواص اپتیکی جذاب‌ترین روش برای سنتز نانو ساختار ZnO به شمار می‌رود. این روش شامل تشکیل یک سوسپانسیون کلوئیدی (سل) است که متعاقباً به ژل‌های ویسکوز یا مواد جامد تبدیل می‌گردد. [۱].

۲- مواد و روش تحقیق

نانو ذرات ZnO در نسبت‌های حجمی مختلف از حلال ۱، ۰:۱، ۷۵:۲۵، ۷۵:۲۵ که به ترتیب آب، آب: متانول و آب: متانول می‌باشد در دمای رشد ۷۰ درجه سانتی‌گراد سنتز شدند. مواد شیمیایی مصرفی شامل زینک استات دی هیدراته Zn(CH₃COO)₂.2H₂O با درجه خلوص ۹۸٪ و جرم مولی ۵۰gr، اگزالیک اسید با فرمول شیمیایی HOOCCOOH.2H₂O بادرجه خلوص ۹۹٪ و جرم مولی ۱۲۶٪ بدون تصفیه‌ی اضافی بوده که به عنوان مواد اولیه استفاده شدند. برای تهیه نانو ذرات ZnO در محیط آب با نسبت: (۰:۱) از آب: حلال آلی، مقدار ۲/۷۵ گرم زینک استات در ۵۰cc آب برای تهیه محلول ۰/۲۵ مولار حل گردید سپس به مدت ۱ ساعت بر روی همزن مغناطیسی هم زده شد، پس از رسیدن به دمای ۷۰-۶۰ درجه به مدت ۳۰ دقیقه تحت شرایط رفلاکس هم زده شد. هم چنین برای تهیه محلول ۰/۵ مولار اگزالیک اسید، مقدار ۱/۵۷۵ گرم از اگزالیک اسید به آب اضافه شده و به مدت ۳ دقیقه در حمام سونیکیت حل شد، پس از اتمام زمان ۳۰ دقیقه‌ی شرایط رفلاکس محلول ۰/۲۵ مولار زینک استات، محلول ۰/۵ مولار اگزالیک اسید با استفاده از قیف دکانتور به صورت قطره‌ای و به تدریج به محلول زینک استات که به طور مداوم در حال هم زده شدن بود اضافه گردید تا ژل مطلوب تهیه گردد. هنگامی که ژل به طور کامل تشکیل شد، مخلوط به طور مداوم به مدت ۶۰ دقیقه همزده شد. ژل تولید شده در دمای ۸۰ درجه به مدت ۲ ساعت خشک و سپس پودر نانو ذرات ZnO به دست آمده به مدت ۲ ساعت در دمای ۴۰۰ درجه کلسینه شد. روش مشابهی برای تولید نانو ذرات ZnO در محیط‌های حلال ۲ و ۳ انجام شد. پودرهای سنتز شده با آب، متانول-آب و متانول-آب به ترتیب (MZO)، (WZO) و (EZO) نامگذاری شدند. برای توصیف نانو ذرات ZnO الگوهای پراش XRD با یک دستگاه پراش اشعه ایکس مدل PW1730، ساخت شرکت Philips اندازه‌گیری شد. همچنین مورفولوژی سطح با استفاده تصاویر SEM مطالعه شد [۲].

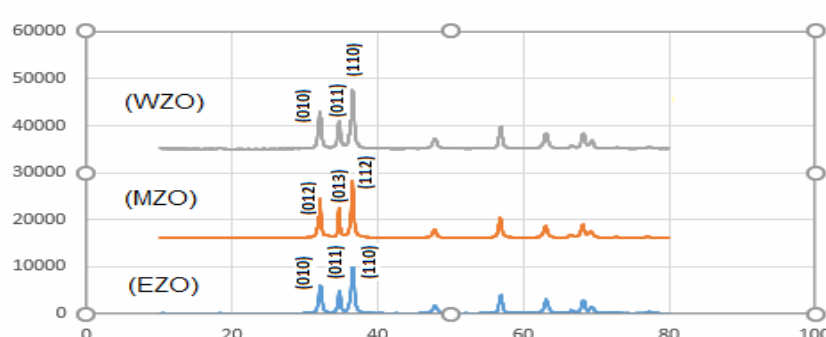
۳- نتایج و بحث

۳-۱- آنالیز XRD

شکل ۱ الگوهای پراش XRD هر سه نمونه سنتز شده را نشان می‌دهد. الگوها شامل پیک‌های شارپ است که با ساختار تک فاز و ترتیب هگزاگونال ZnO مطابقت دارد. مقادیر میانگین محاسبه شده برای پارامترهای محاسبه شده از الگوهای XRD هر سه نمونه در جدول ۱ آورده شده است. اندازه متوسط بلورک محصولات با استفاده از پیک‌های XRD، نرمافزار High Score plus و فرمول شرمناسبه شد:

$$D = K \frac{\lambda}{\beta} \cos \theta \quad (1)$$

در این فرمول D اندازه بلورک و واحد آن برابر با واحد λ است و معمولاً آنگستروم یا نانومتر است، λ طول موج $K\alpha_1$ آند دستگاه F افکتور شکل با مقدار تقریبی ۰/۹۴، β پهنای پیک در نیمه ارتفاع یا همان FWHM که باید بر حسب رادیان وارد فرمول شود و θ مکان پیک روی محور افقی الگوی پراش می‌باشد [۳].



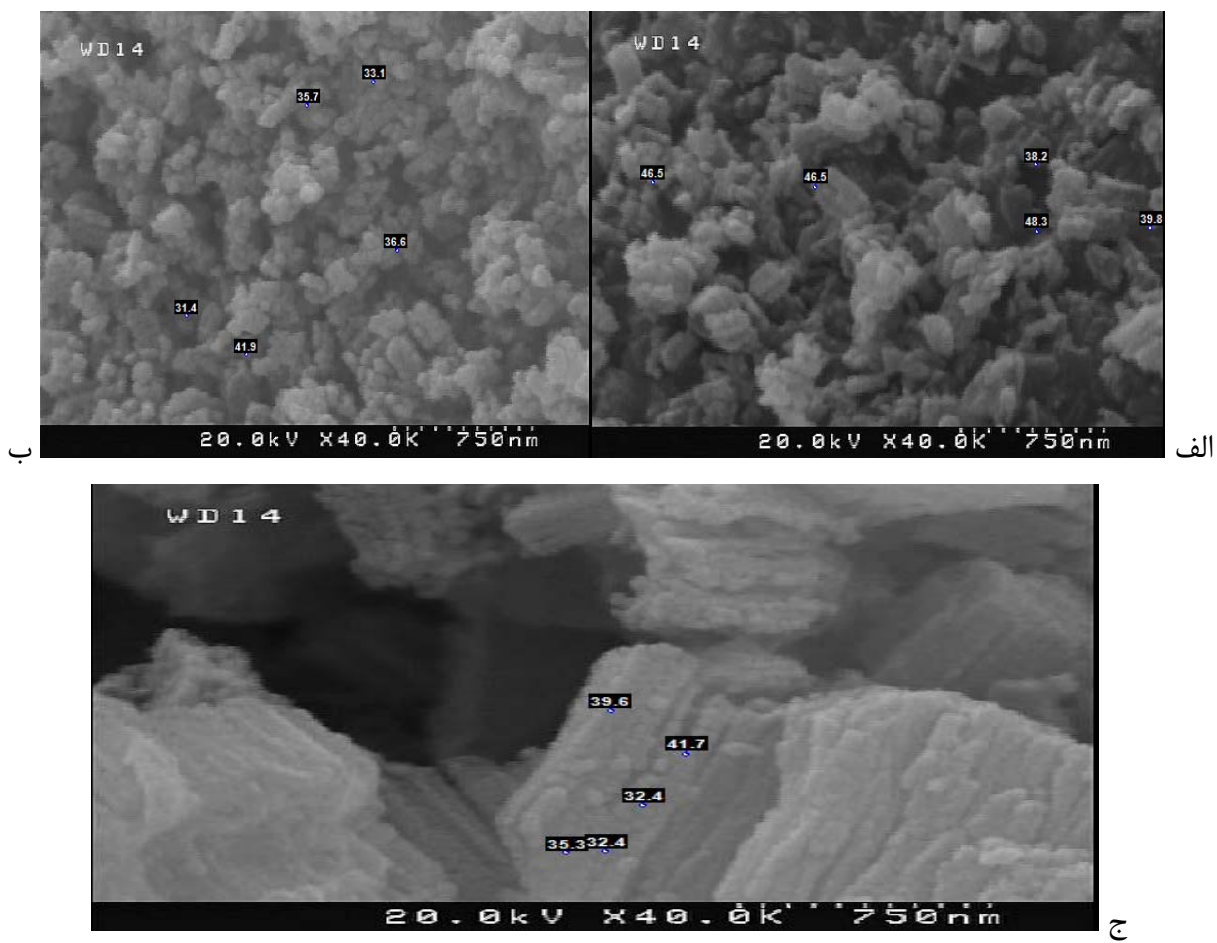
شکل ۱- الگوهای پراش اشعه ایکس نمونه‌های EZO، WZO و MZO.

جدول ۱- پارامترهای الگوهای پراش اشعه ایکس نمونه‌های MZO، EZO و WZO

نمونه	ساختار کریستالی	$a=b$	ثابت شبکه (A°)	اندازه بلورک (A°)
e				
WZO	ورتیزیت هگزاگونال	۳/۲۳۴۰	۵/۱۷۷۰	۱۹۹/۶۶
EZO	ورتیزیت هگزاگونال	۳/۲۳۴۰	۵/۱۷۷۰	۲۱۳
MZO	ورتیزیت هگزاگونال	۳/۲۳۴۰	۵/۱۷۷۰	۲۸۶

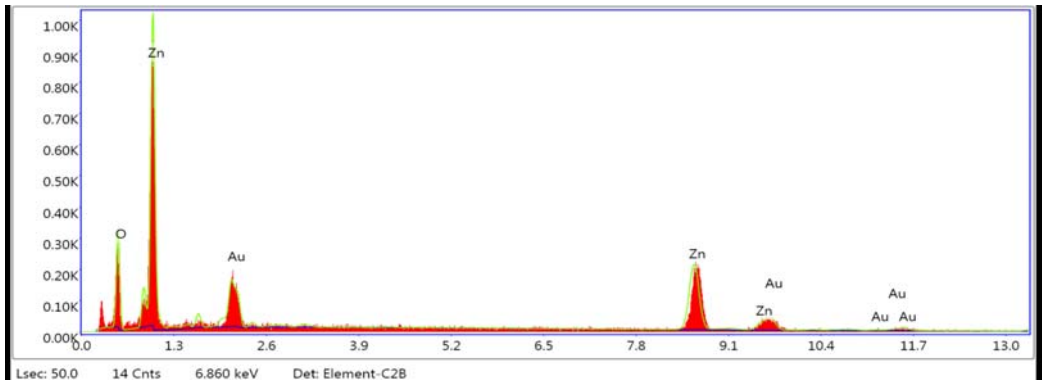
۲-۳- میکروسکوپ الکترونی SEM و آنالیز EDX

در مواد با ساختار نانو اندازه ذرات و توزیع آن‌ها نقش موثری را ایفا می‌نماید. به منظور بررسی شکل کلی ذرات و بررسی توزیع ذرات می‌توان از تصویر میکروسکوپ الکترونی استفاده نمود. شکل ۲ (الف-ج) بیانگر تصویر SEM این ذرات می‌باشد. همانطور که در این شکل‌ها مشاهده می‌شود توزیع یکنواختی از ذرات دیده می‌شود که دارای ساختار تقریباً کروی شکل و به صورت آگلومره می‌باشند. در این شکل‌ها توزیع اندازه ذرات با استفاده از نرم‌افزار SemAfore برای هر سه نمونه EZO، WZO و MZO به ترتیب $36/2$ و $35/7$ و $43/8$ تخمین زده شد [۲۴-۳۳]. نتایج SEM نشان می‌دهند که با سنتز در محیط حلال اتانول و آب، اندازه ZnO کاهش می‌یابد. رئو و همکاران گزارش دادند که شکل ذرات وقتی که از اتانول به عنوان حلال استفاده می‌شود، بسیار کوچک است و ذرات نایاب‌دار هستند و تمایل به آگلومره شدن دارند و به دلیل قطبش کمتر اتانول در مقایسه با آب، منجر به یونیزاسیون کمتر و نرخ رسوب کمتر می‌شود. شکل کروی ذرات WZO به دلیل مکان‌های فعال کمتر ناشی از گوششها و لبه‌ها می‌باشد. [۲]



شکل ۲- (الف) ساختار EZO، (ب) ساختار MZO، (ج) ساختار WZO

طیف سنجی پراش اشعه ایکس (EDX) به منظور تجزیه و تحلیل ترکیب عنصری یکی از نمونه‌های سنتز شده (EZO) انجام شد. شکل ۳ پیک‌های آنالیز EDX نمونه EZO را نشان می‌دهد. همانطور که مشاهده می‌شود وجود پیک‌های شارپ Zn و O نشان دهنده فاز خالص ورتزیت هگزاگونال ZnO می‌باشد و پیک‌های مربوط به عنصر Au حاکی از پوشش طلای نمونه هنگام آنالیز ZnO می‌باشد.^[۴] طیف EDX نمونه‌ها نشان می‌دهد که پودرهای فراهم شده ترکیبی از اکسیژن و روی هستند و مسیر فازهای خالص را دارند. این خلوص بالای نانو ذرات با الگوی پراش XRD نیز تایید شد.^[۲]



شکل ۳ - طیف EDX نمونه EZO

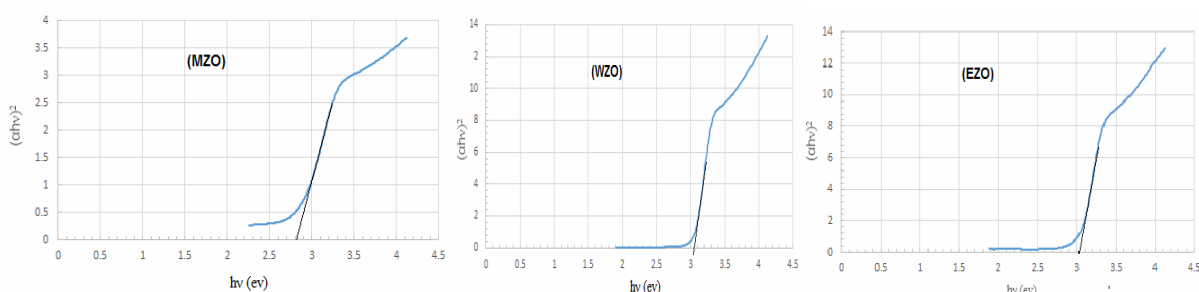
۳-۳- آنالیز DRS

برای مطالعات شکاف باند، روش اندازه‌گیری طیف بازتابی (DRS) استفاده شد. از طیف DRS انرژی شکاف باند هر سه نمونه EZO و WZO و MZO با استفاده از روابط زیر محاسبه شد:

$$\hbar v = 1.2398 / (\lambda / 1000) \quad (2)$$

$$(\alpha \hbar v)^2 = (((1-f) / 100) * 1.2398(\lambda / 1000))^2 \quad (3)$$

که λ طول موج پیک مربوطه، $\hbar v$ ثابت پلانک، c سرعت نور، f بازتاب، α عدد ثابت است. همانطور که در شکل ۳ نشان داده شده است با رسم نمودار $(\alpha \hbar v)^2$ برحسب $\hbar v$ و خط مماس بر منحنی، محل برخورد خط مماس با محور انرژی نشان دهنده انرژی شکاف باند می‌باشد که انرژی شکاف باندهای نمونه‌های EZO، WZO و MZO به ترتیب $3/02$ ، $3/08$ و $2/81$ الکترون ولت محاسبه شد.^[۴] حبیبی نیز در کار خود مقدار شکاف باند نانو پودر اکسید روی خالص را $3/64$ الکترون ولت محاسبه کرد و این افزایش مقدار شکاف باند در مقایسه با گاف انرژی (الکترون ولت) را ناشی از کاهش اندازه نانو ذرات بیان کرد، که به صورت افزایش گاف انرژی ظاهر می‌شود.^[۵]

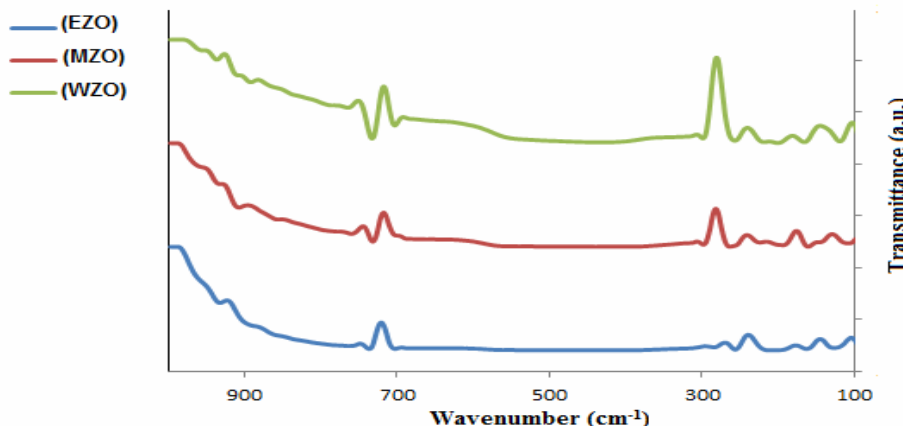


شکل ۴- نمودارهای DRS نمونه‌های EZO، WZO و MZO

۴-۳- آنالیز Far-FTIR

در اینجا طیف‌سنجی مادون قرمزجهت شناسایی ساختار در محدوده $500-5000\text{ cm}^{-1}$ انجام شده است. با توجه به شکل ۵ پیک جذب برای هر سه نمونه WZO و EZO و MZO به ترتیب در 421 cm^{-1} و 418 cm^{-1} و 402 cm^{-1} در محدوده استاندارد

بنابراین نتایج Far-FTIR تشکیل ساختار ورتزیت برای نانو ذرات ZNO را تایید می کند که قبلا هم توسط مطالعات XRD و EDX نیز تایید شده است [۴].



شکل ۵ - a) نمودار Far-FTIR نمونه WZO، b) نمونه MZO، c) نمونه EZO

۴- نتیجه گیری

در این تحقیق نانو ذرات اکسید روی با استفاده از روش سل ژل در سه محیط حلال مختلف تهیه گردید. آنالیزهای مختلف XRD و EDX تشکیل تک فاز ورتزیت هگزاگونال نانو ذرات اکسید روی را تایید نمودند. تصویر SEM نیز نشان دهنده ذرات تقریباً کروی شکل و آکلومره اکسید روی در هر سه نمونه می باشد که نمونه EZO از اندازه ذرات کوچک تری نسبت به دو نمونه دیگر برخوردار است. طیف سنجی DRS نمونه ها نیز بیانگر این است که انرژی شکاف باند نمونه های EZO، MZO و WZO به ترتیب ۲/۸۱، ۳/۰۲ و ۳/۰۸ می باشد. با مقایسه نتایج حاصل از همه آنالیزها فهمیده شد که حلال ۷۵:۲۵ از آب: اتانول محیط بهتری برای سنتز نانو ذرات اکسید روی می باشد.

مراجع

- [1] C.Boon Ong, L.Yong Ng, A. W. Mohammad, "A review of ZnO nanoparticles as solar photocatalysts: Synthesis,mechanisms and applications"Renewable and Sustainable Energy Reviews 81 (2018) 536–551.
- [2] J. Ungula, B.F.Dejene, "Effect of solvent medium on the structural,morphological and optical properties of ZnO nanoparticlaes synthesized by the sol-gel method" Physica B 480 (2016) 26-30.
- [3] Muneer M. Ba-Abbad ,Abdul Amir H. Kadhum a, Abu Bakar Mohamad a, Mohd S. Takriff a,Kamaruzzaman Sopian "The effect of process parameters on the size of ZnO nanoparticles synthesized via the sol-gel technique"Journal of Alloys and Compounds 550 (2013) 63–70.
- [4] M. Sajjada, I. Ullaha, M. I. Khanb, J.Khanc, M. Yaqoob Khana, M. Tauseef Qureshi "Structural and optical properties of pure and copper doped zinc oxide Nanoparticles"Results in Physics 9 (2018) 1301–1309.
- [۵] ع.حبيبي، مطالعه برخی از خواص نوری و ساختاری نانو ذرات اکسید روی تهیه شده به روش لایه نشانی بازپخت، چهارمین کنفرانس بین المللی پژوهش در مهندسی، علوم و تکنولوژی، آتن یونان، ۱۳۹۵



مهندس نجمه خابنده، نویسنده
اول مقاله، دانشگاه شهر کرد

* n.khodabandeh13@gmail.com.

بررسی تاثیر pH حلال بر خواص ساختاری، مورفولوژیکی نانو ذرات ZnO سنتز شده با روش میکروامولسیون

نجمه خابنده^{۱*}، ابراهیم شریفی^۲، حسن شریفی^۳

^۱ دانشجوی کارشناسی ارشد بخش مهندسی مواد دانشگاه شهر کرد، ایران

^۲ استادیار بخش مهندسی مواد دانشگاه شهر کرد، ایران

^۳ دانشیار بخش مهندسی مواد دانشگاه شهر کرد، ایران

چکیده: با توجه به گسترش روز افزون نانوذرات مغناطیسی در حوزه‌های گوناگون نظیر الکترونیک و میکروالکترونیک، بیولوژیکی، پزشکی و داروسازی، در دهه گذشته مطالعات بر روی این دسته از نانوذرات اهمیت بسیاری یافته است. اکسید روی نیمه رسانای باگاف نواری پهن است. با توجه به نداشتن هیچ گونه آلودگی زیست محیطی و سهولت سنترازین اکسید نیمرسانا در اندازه‌های گوناگون، ماده‌ای مناسب برای کاربردهای مختلف خواهد بود. در این مطالعه، نانوذرات ZnO در محلول آبی همگن در حضور سورفاکтанت Tween-80 از طریق روش میکروامولسیون تهیه شد. اندازه ذرات با استفاده از سورفاکتانت مورد کنترل قرار گرفت. برای بررسی ریخت شناسی و تعیین اندازه نانوذرات سنتز شده، به ترتیب از میکروسکوپ الکترونی روبشی (SEM) و پراش اشعه ایکس (XRD) استفاده شد. نتیجه‌های بدست آمده از XRD نشان می‌دهد که نانوذرات zo11,zo10,zo9 تهیه شده به ترتیب دارای اندازه بلورک ۳۱/۹۶ و ۲۷/۲ و ۲۸/۲ نانومتر و دارای ساختار ورتزیت هگزاگونال می‌باشند. نتیجه‌ها نشان می‌دهد که نانوذرات ZnO با استفاده از روش میکروامولسیون در pH برابر ۱۰ به خوبی شکل می‌گیرد. تنظیم pH با استفاده از محلول سدیم هیدروکسید صورت گرفت. علاوه بر این تاثیر pH محیط بر خواص ساختاری، اپتیکی و مورفولوژیکی نانوذرات ZnO با استفاده از آنالیزهای DRS و Far-FTIR مورد بررسی قرار گرفت.

کلمات کلیدی: نانو ذرات مغناطیسی، اکسید روی، میکروامولسیون، سورفاکتانت.

۱- مقدمه

در سال‌های اخیر، دسته‌ی جدیدی از آلیاژهای نیمه رسانا به نام نیمه‌هادی‌های مغناطیسی ریقیق شده (DMS) مانند ZnO، SnO₂، TiO₂ و... توجه بسیار زیادی را در سراسر دنیا به خود جلب کرده است. نیمه رساناهای مغناطیسی ریقیق شده مواد آلیاژی هستند که شبکه‌ی بلوری آنها حاوی یون‌های مغناطیسی جانشینی هستند. وجود این یون‌های مغناطیسی درون شبکه‌ی DMS منجر به یک برهم کنش نیرومند به نام برهم کنش مبادله‌ای میان اسپین‌های گشتاورهای مغناطیسی جایگزین شده و اسپین‌های الکترون‌های باند می‌گردد. برای استفاده از DMS‌ها برای دستگاه‌های اسپینترونیک^۱ کاربردی، غلظت نسبتاً بالای از عناصر مغناطیسی ضروری در نیمه‌هادی میزبان و یک فلز فرومغناطیس با دمای کوری (Tc) بالاتر از دمای اتاق مورد نیاز است. فریت‌های فلز انتقالی (TM) با ساختار اسپینل (MFe₂O₄; M=Co²⁺, Ni²⁺, Cu²⁺, Zn²⁺, ...) در طیف گستردگی از کاربردهای فناوری مانند دستگاه‌های حافظه‌دار مغناطیسی، ترانزیستورهای اثر میدان اسپین و زیست پزشکی استفاده می‌شوند. اخیراً، ZnO به عنوان یک نیمه رسانای مغناطیسی ریقیق با شکاف باند مستقیم (۳/۳۷eV) و انرژی اتصال بالای حدود ۶۰ mev از پتانسیل تکولوژیکی نسبتاً بالایی برخوردار است. علاقه به بهره‌گیری از ZnO به عنوان یک ماده‌ی DMS با محاسبات نظری شدت

^۱ Spintronics

یافته و این نشان می‌دهد که ZnO می‌تواند خاصیت فرومغناطیسی خود را در دمای بالا با دوپینگ برخی از فلزات انتقالی 3d نشان دهد. علاوه بر این، شفافیت نوری آن ممکن است یک ماده‌ی شفاف فرمغناطیسی را فراهم کند که امکان بهره‌گیری از آن را در دستگاه‌های جدید ممکن می‌سازد [۲و۳]. این نیمه رسانا به دلیل داشتن گاف باندی مستقیم، نورتابی خوبی از خود نشان می‌دهد. همچنین بالابودن انرژی بستگی اکسایتونی در این نیمه رسانا بازده نورتابی گسیل نور را افزایش می‌هد. رسانندگی بالای الکتریکی، غیرسمی‌بودن، فراوانی و کم هزینه بودن رشد این نیمه رسانا باعث کاربردهای فراوان آن مانند استفاده در سلول‌های خورشیدی و دیودهای نور گسیل، حسگر گازهایی از قبیل آمونیاک، اوزون، مونوکسید کربن و هیدروژن و تولید فوتوكاتالیست‌ها برای حذف آلودگی‌های محیط زیست گردیده است. ویژگی‌های شیمیایی، میکروساختاری و فیزیکی پودرهای اکسید روی به روش سنتز آن‌ها وابسته است. بنابراین به دلیل کاربردهای گسترده اکسید روی در تکنولوژی‌های پیشرفته، در سال‌های اخیر محققان بیش تر بر روی روش سنتزنانو ذرات اکسید روی مرکز شده‌اند [۱]. نانوذرات اکسید روی در ساختارهای مختلفی مانند نانومیله، نانوسیم، نانوباند، نانوفتر و با روش‌های مختلفی مانند رسوب دهی شیمیایی، سنتز در میکروامولسیون، سل ژل، هیدروترمال و... تولید می‌شود [۴]. در بین روش‌های موجود روش میکروامولسیون نسبت به روش‌های دیگر بهتر است، زیرا معرفه‌ها در سطح مولکولی مخلوط شده و بنابراین کنترل استوکیومتری، ریخت شناسی، خلوص و یکنواختی به خوبی صورت می‌گیرد. هدف اصلی این تحقیق تلاش برای سنتز اکسید روی هگزاگونال پایدار با بلورک‌های نانو متری در سه pH مختلف ۱۱، ۱۰، ۹ با استفاده از فرایند میکروامولسیون در دمای پایین و بررسی تاثیر این تغییر بر روی خواص ساختاری، مورفوولوژیکی و اپتیکی نانو ذرات اکسید روی به دست آمده می‌باشد.

۲- مواد و روش تحقیق

روش میکروامولسیون به عنوان یک روش مفید و کارآمد است که در این پژوهش مورد استفاده قرار گرفت. به طور کلی اندازه نانو ذراتی که با این روش تهیه می‌شوند را می‌توان با تغییر پارامترهای مختلف از جمله تغییر pH محلول، اضافه کردن سورفتانت و تغییر دمای محلول کنترل کرد. در پژوهش حاضر، نانو ذرات اکسید روی خالص با استفاده از روش میکروامولسیون در سه pH مختلف سنتز شدند. در همه مراحل آزمایش از آب دو بار تقطیر استفاده شد. برای تهیه‌ی نمونه‌های اکسید روی، ابتدا محلول‌های آبی برای نسبت‌های مناسب از مواد اولیه از نیترات روی و سدیم هیدروکسید تهیه می‌شود. به منظور تهیه‌ی محلول اول مقدار ۵۲۴/۰ گرم سورفتانت Tween-80 (۲Mm) در چند قطره اتانول با خلوص ۹۸٪ حل شده و به محلول ۲۰ میلی مولار نیترات روی آماده شده اضافه گردید. محلول بدست آمده به مدت ۳ دقیقه در حمام سونیکیت قرار داده شد و سپس با استفاده از همزن مغناطیسی به مدت ۱ ساعت به طور یکنواخت در دمای ثابت ۷۰°C همzedه شد. در مرحله‌ی بعد، محلول ۵۰ میلی مولار از سدیم هیدروکسید به عنوان عامل رسوب دهنده تهیه شده و به مدت ۳ دقیقه در حمام سونیکیت قرار گرفت. پس از طی شدن زمان ۱ ساعته‌ی محلول اول، محلول سدیم هیدروکسید با استفاده از قیف دکاتور به صورت قطره‌ای و با سرعت متوسط به محلول نیترات روی اضافه شده و با کنترل لحظه‌ای pH محلول، زمانی که pH محیط به ۹ رسید اضافه شدن سدیم هیدروکسید را متوقف نمودیم. محلول به دست آمده به مدت ساعت روی همزن مغناطیسی همzedه شد. ذرات کلئیدی حاصل شده را با دور ۸۰۰ rpm سانتریفیوژ کرده و فرآورده‌ی نهایی با آب دو بار تقطیر و اتانول برای حذف هرگونه ناخالصی، چند مرتبه شستشو داده شد. رسوبات باقی مانده را به مدت ۳ ساعت در دمای ۷۰°C خشک نموده و در ادامه به منظور جلوگیری از آگرومره شدن نانو ذرات، پودر آماه شده را در دمای ۲۵۰°C به مدت ۲ ساعت در کوره قرار دادیم. به همین ترتیب نانو ذرات دیگر ZnO را نیز در pHهای ۱۰ و ۱۱ به طور مشابه سنتز کردیم. پودرهای تهیه شده در pHهای ۹، ۱۰ و ۱۱ به ترتیب Z09، Z010، Z011 نامگذاری شد. خواص نانو ذرات ZnO سنتز شده، با استفاده از روش‌های XRD، SEM، EDX، Far-FTIR، DRS مورد بررسی قرار گرفت. برای توصیف نانوذرات ZnO، الگوهای پراش XRD با یک دستگاه پراش اشعه ایکس مدل PW1730، ساخت شرکت Philips اندازه‌گیری شد.

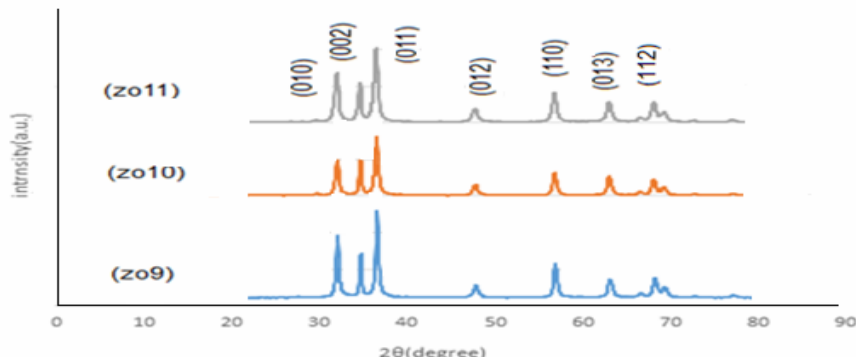
۳- نتایج و بحث

۳-۱-۳- آنالیز XRD

شکل ۱ الگوهای پراش XRD هر سه نمونه سنتز شده توسط روش میکروامولسیون را نشان می‌دهد. تمام پیک‌های بدست آمده از طیف ZnO تایید می‌کند که پودر سنتز شده دارای ساختار شش ضلعی وورتیزیت هگزاگونال می‌باشد. پیک‌های موجود به دلیل کریستالی بودن نانو ذرات سنتز شده تیز بوده و جدایی پیک‌ها بسیار خوب است که نشان دهنده‌ی تک فاز بودن ساختار کریستالی است [۵]. به این ترتیب تغییر pH محلول سنتز در دمای آزمایش شده تغییری در محصول ایجاد نمی‌کند [۶]. اندازه متوسط بلورک محصولات با استفاده از پیک‌های XRD برای سه نمونه ZO9 و ZO10 و ZO11 توسط نرم افزار High Score plus و فرمول شرر به ترتیب $31/9$ ، $27/2$ و $28/2$ نانومتر محاسبه شد:

$$D = K \frac{\lambda}{\beta} \cos \theta \quad (1)$$

در این فرمول D اندازه بلورک و واحد آن برابر با واحد λ است و معمولاً آنگستروم یا نانو متر است، λ طول موج $K\alpha_1$ آند دستگاه، K فاکتور شکل با مقدار تقریبی $9/4$ ، β پهنهای قله در نصف ارتفاع بیشینه (FWHM) که باید بر حسب رادیان وارد فرمول شود و θ مکان پیک روی محور افقی الگوی پراش می‌باشد [۷و۸]. در جدول ۱ پارامتر شبکه، اندازه بلورک و دیگر محاسبات ساختار بلوری مربوط به داده‌های XRD نمایش داده شده است.



شکل ۱- الگوهای پراش اشعه ایکس نمونه‌های ZO9,ZO10,ZO11

جدول ۱- محاسبات داده‌های طیف XRD نانو ذرات.

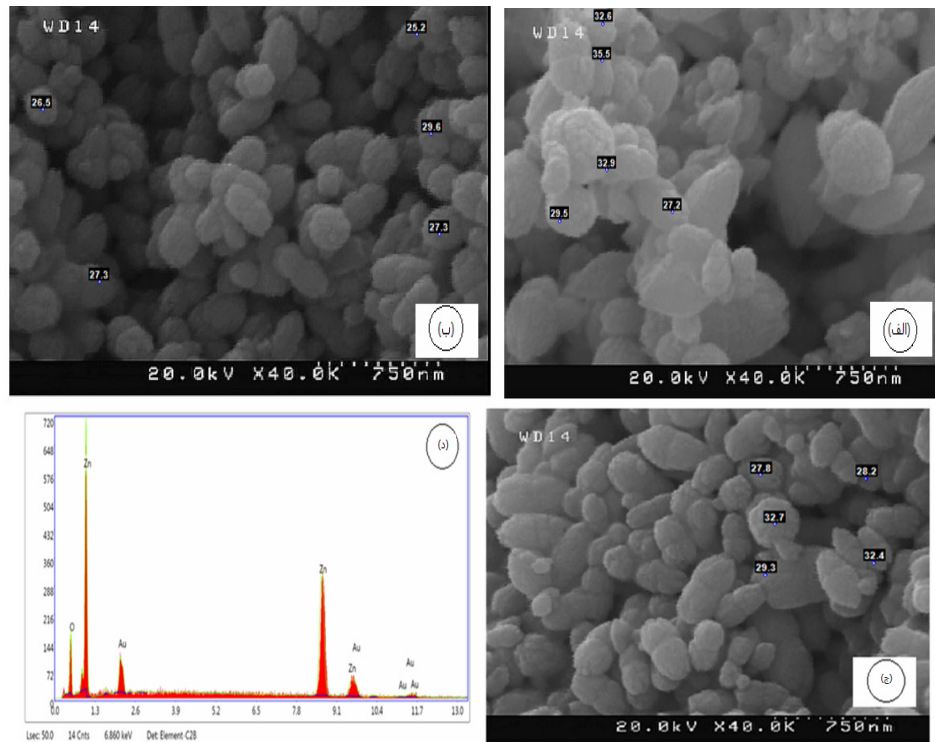
نام نمونه	ساختار کریستالی	ثابت‌های شبکه (Å)	اندازه بلورک (Å)
		c a=b	
Zo9	هگزاگونال	۳/۲۳۴۰	۳۱۹
Zo10	هگزاگونال	۳/۲۳۴۰	۲۷۲
Zo11	هگزاگونال	۳/۲۳۴۰	۲۸۲

۲-۳- آنالیز SEM و EDX

اختلاف در شدت پیک‌ها به عنوان عامل موثر در مورفولوژی ذرات می‌باشد که این نشان دهنده جهت یابی مختلف رشد ذرات ZnO می‌باشد. برای بررسی مورفولوژی و نوع کلوخگی ذرات از اندازه گیری SEM استفاده شد. همانطور که از همانطور که در شکل ۲ الف تا ج مشاهده می‌شود تصاویر SEM بر حسب شرایط دارای شکل‌های متفاوتی از کلوخگی می‌باشند. در این شکل‌ها توزیع اندازه ذرات با استفاده از نرم افزار SemAfore برای سه نمونه ZO9، ZO10 و ZO11 به ترتیب $31/54$ ، $31/18$ ، $27/18$ و $30/8$ تخمین زده شد [۶].

طیف سنجی پراش اشعه ایکس (EDX) به منظور تجزیه و تحلیل ترکیب عنصری یکی از نمونه‌های سنتز شده (ZO10) انجام شد. شکل ۲(د) پیک‌های آنالیز EDX نمونه ZO10 را نشان می‌دهد. همانطور که مشاهده می‌شود وجود پیک‌های شارپ Zn و O

نشان دهنده فاز خالص ورتزیت هگزاگونال ZnO می‌باشد و پیک‌های مربوط به عنصر Au حاکی از پوشش طلای نمونه هنگام آنالیز می‌باشد.



شکل ۲- (الف، ب، ج) به ترتیب تصاویر SEM نانو ذرات Zn09 Zn10 Zn11 و Zn10 نمونه Zn10 طیف EDX می‌باشد.

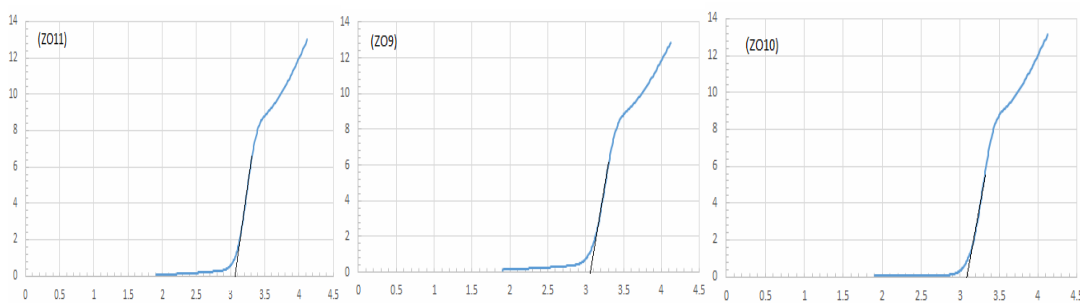
۳-۳- آنالیز DRS

برای مطالعات شکاف باند، روش اندازه‌گیری طیف بازتابی (DRS) استفاده شد. از طیف DRS انرژی شکاف باند هر سه نمونه Zn11 و Zn10 Zn09 با استفاده از روابط زیر محاسبه شد:

$$\text{hv} = 1.2398 / (\lambda / 1000) \quad (2)$$

$$(\alpha h\nu)^2 = ((1-f) / 100) * 1.2398(\lambda / 1000)^2 \quad (3)$$

که λ طول موج پیک مربوطه، h ثابت پلانک، c سرعت نور، f بازتاب، α عددثابت، ν خط مماس بر منحنی، محل برخورد خط مماس با محور انرژی نشان دهنده انرژی شکاف باند می‌باشد که انرژی شکاف باندهای نمونه‌های Zn11 Zn10 Zn09 به ترتیب $3/0.8$ و $3/1$ و $3/0.9$ الکترون ولت محاسبه شد.

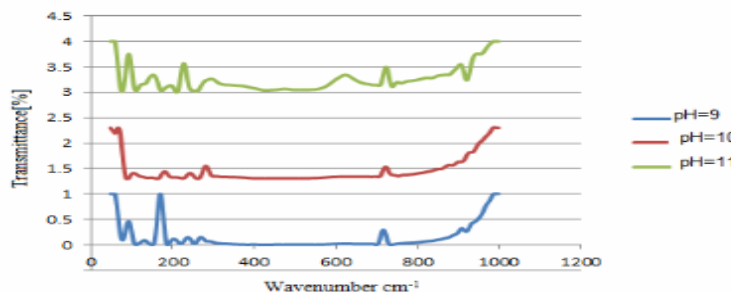


شکل ۳- نمودارهای DRS نمونه‌های Zn09 Zn10 و Zn11

۴-۳- آنالیز Far-FTIR

در اینجا طیف سنجی مادون قرمزجهت شناسایی ساختار در محدوده $500-50\text{cm}^{-1}$ انجام شده است. شکل ۴ باندهای جذب نانو

ذرات اکسید روی سنتز شده به روش میکرومولسیون را نشان می‌دهد. [۹] بیکهای جذب برا هرسه نمونه ZO11, ZO10, ZO9 به ترتیب در ۴۰۰/۷۱ و ۴۰۷/۹۷ و ۴۰۰/۸۱ مشاهده می‌شود که ساختار هگزاگونال نانو ذرات اکسید روی سنتز شده را تایید می‌کند.



شکل ۴ - نمودار Far-FTIR نمونه ZO9، ZO10 و ZO11

۴- نتیجه‌گیری

در این تحقیق نانوذرات اکسید روی با موفقیت در حضور سورفاکтанت Tween-80، در سه pH مختلف ۹، ۱۰ و ۱۱ سنتز شد. طیف XRD بیانگر ساخته شدن نانوذرات اکسید روی می‌باشد که با گزارشات قبلی مطابقت دارد. آنالیزهای مختلف XRD و EDX و FTIR تشکیل تک فاز ورتزیت هگزاگونال نانوذرات اکسید روی را تایید نمودند. براساس طیف SEM می‌توان گفت که اکسید روی ساخته شده از ذرات تقریباً کروی شکل و آگلومره در هر سه نمونه می‌باشد. اثر pH محلول بر خواص ساختاری واپتیکی و اندازه ذرات مورد بررسی قرارگرفت. که نمونه ZO10 از اندازه ذرات کوچک تری نسبت به دو نمونه دیگر برخوردار است. طیف‌سنجی DRS نمونه‌ها بیانگر این است که انرژی شکاف باند نمونه‌های ZO9، ZO10 و ZO11 به ترتیب $3/1$ و $3/0.8$ و $3/0.9$ eV الکترون ولت می‌باشد. با مقایسه نتایج حاصل از همه آنالیزها فهمیده شد که با کوچک شدن اندازه ذرات، گاف انرژی افزایش می‌یابد که به دلیل اثرات کوانتمی است، بنابراین نمونه با pH=10 محیط بهتری برای سنتز نانوذرات اکسید روی را فراهم می‌کند.

مراجع

- [۱] علی بلوج سیرگانی، پایان نامه کارشناسی ارشد، دانشگاه ولی عصر رفسنجان، ۱۳۹۳.
- [2] S. Fabbriola, L. John Kennedy, T. Ratnaji, J. Judith Vijaya, Udaya Aruldoss, M. Bououdina, "Effect of Fe-doping on the structural, optical and magnetic properties of ZnO nanostructures synthesised by co-precipitation method" Ceramics Internationala. I42(2016)1588–1596.
- [3] D.P. Rai, Amel Laref, A. Shankar, R. Khenata, R.K. Thapa, "Spin-induced transition metal (TM) doped SnO₂ a dilute magnetic semiconductor (DMS): A first principles study" Journal of Physics and Chemistry of Solids 120 (2018) 104–108.
- [4] C. Boon Ong, L. Yong Ng, A. W. Mohammad, "A review of ZnO nanoparticles as solar photocatalysts: Synthesis, mechanisms and applications" Renewable and Sustainable Energy Reviews 81 (2018) 536–551.
- [5] R. Ashraf, S. Riaz, S. Hussain, "Effect of pH on properties of ZnO nanoparticles" Materials Today: Proceedings 2 (2015) 5754 – 5759.
- [6] A. Rayerfrancis, P. B. Bhargav, N. Ahmed, B. Chandra," Effect of ph on the morphology of ZnO nanostructures and its influence on structural and optical properties", PhysicaB457(2015)96–102.
- [7] Ying Tao Chung , Muneer M. Ba-Abbad, AbdulWahab Mohammad Nur Hanis Hayati Hairom , Abdelbaki Benamor," Synthesis of minimal-size ZnO nanoparticles through sol-gel method:Taguchi design optimization"Materials and Design 87 (2015) 780–787.
- [8] J. Ungula, B. F. Dejene, " Effect of solvent medium on the structural,morphological and optical properties of ZnO nanoparticale synthesized by the sol-gel method" Physica B 480 (2016) 26-30.
- [9] M. Sajjada , I. Ullaha, M. I. Khanb, J. Khanc, M. Yaqoob Khana, M. Tauseef Qureshi "Structural and optical properties of pure and copper doped zinc oxide Nanoparticles"Results in Physics 9 (2018) 1301–1309.

گسیل لیزری در شیشه سرامیک‌های فسفاتی آلاتیده به Nd^{3+}

وحید امیرزاده فتوت^{*}، یوسف هاتفی

دانشکده و پژوهشکده علوم پایه، دانشگاه جامع امام حسین (ع)

چکیده: نمونه‌های شیشه سرامیکی فسفاتی شفاف آلاتیده به یون Nd^{3+} ساخته شد. ویژگی‌های فازی و ساختار پودری نمونه‌ها به کمک پراش پرتو ایکس مورد بررسی قرار گرفت و اندازه نانوبولورها با بکارگیری معادله شرحدود ۴۵ نانومتر برآورد شد همچنین طیف‌های برانگیختگی و گسیل نمونه بررسی شد. در نهایت از نمونه شیشه سرامیکی فسفاتی آلاتیده به نئودیمیوم ساخته شده در داخل، تحت دمش لامپ درخش، گسیل لیزری حاصل شد.

کلمات کلیدی: شیشه فسفاتی- شیشه سرامیک، نانوبولور، گسیل لیزری.



دکتر وحید امیرزاده فتوت،

* نویسنده اول مقاله، دانشگاه

جامع امام حسین (ع)

۱- مقدمه

شیشه سرامیک‌های حاوی یون‌های خاکی کمیاب به دلیل پتانسیل کاربردی بالا در وسایل اپتیکی مانند قطعات تبدیل فرکانس و مواد فعال لیزر حالت جامد، بیشتر مورد توجه قرار گرفته‌اند [۱]. از میان ماتریس‌های مختلف شیشه، شیشه‌های فسفاتی دارای چندین مزیت مانند ضریب هدایت گرمایی بالا، دمای ذوب و نرم شدگی پائین و گذار فرابینش بالا در مقایسه با شیشه‌های اکسیدی معمولی می‌باشند [۲]. یون‌های نئودیمیوم به دلیل امکان کاربرد آن‌ها به عنوان مرکز فعال در وسیله‌های لیزری، تقویت کننده‌های اپتیکی و تبدیل فرکانس فرابینش و مرئی، بیشتر مورد مطالعه قرار گرفته‌اند [۳]. شیشه-سرامیک‌های شفاف کلروفسفاتی آلتیده به یون‌های Nd^{3+} حاوی نانوبولور هالیدی به روش ذوب، با موفقیت تهیه شد. نمونه‌های شیشه سرامیکی با بازپخت شیشه‌های اولیه در دمای $590^{\circ}C$ به مدت ۲ ساعت تهیه شد. بررسی بلوری شدن نمونه‌ها با استفاده از آزمایش پراش اشعه X، (XRD)، تشکیل نانو بلورهای $Ca(ClO_4)_2$ را نشان می‌دهد. میانگین اندازه نانوبولورهای تشکیل شده با استفاده از رابطه شرحدود ۴۵ نانومتر به دست آمد. توصیف طیفی با استفاده از طیف‌های جذبی، برانگیختگی و گسیلی مورد مطالعه قرار گرفت. تغییرات در طیف‌های جذبی و گسیلی شیشه سرامیک‌ها در مقایسه با شیشه‌های اولیه به ایجاد محیط جدید در اطراف یون‌های فعال که در نمونه شیشه وجود ندارد، مربوط می‌شود. همچنین طیف‌های جذبی و گسیلی بررسی شده به دام افتادگی تعداد قابل توجهی از یون‌های Nd^{3+} را در نانو بلورها بیان می‌کند. نانو بلورهای قرار گرفته در ماتریس شیشه، یک محیط با انرژی فونونی پایین برای یون‌های Nd^{3+} ایجاد می‌کند و در نتیجه شدت گذارهای غیر تشعشعی کاهش می‌یابند [۴-۵]. مطالعات طیفی صورت گرفته بر روی نمونه‌های آلتیده شده به یون‌های Nd^{3+} نشان می‌دهد که شیشه سرامیک‌ها سیستم‌هایی با پتانسیل کاربردی به عنوان مواد لیزری با گسیل در طول موج ۱.۰۶ میکرومتر هستند.

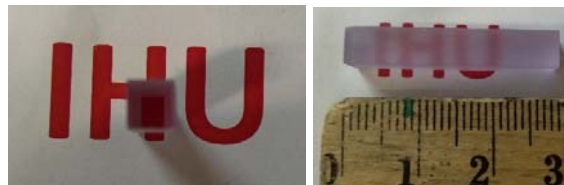
۲- بخش تجربی، نتایج و تحلیل

الف- ساخت: ترکیب فسفوکلرایدی با درصدهای مولی زیر:

P_2O_5 , $CaCl_2$, $NaCl$, xNd_2O_3

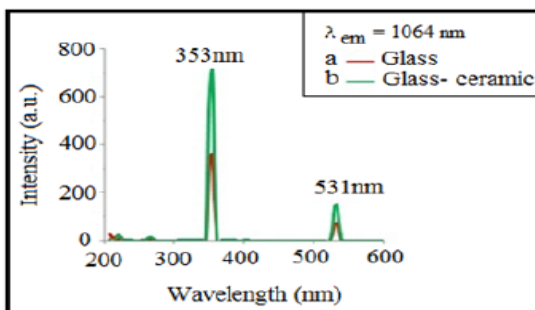
and $x = 0.5, 1, 1.5, 2$

برای ساخت نمونه‌های با درصدهای مختلف آلایش بکار گرفته شد. در ساخت این نمونه‌ها به میزان ۵۰ گرم از این ترکیب توزین و مخلوطی همگن تهیه شد. پس از حرارت دهی اولیه، بوته حاوی نمونه به کوره‌ای که در دمای 1100°C قرار داشت منتقل شد و در این دما به مدت ۲ ساعت تحت عملیات حرارت دهی قرار گرفت. شکل ۱ یکی از نمونه‌های شیشه سرامیک شفاف ساخته شده به شکل میله‌ای به طول ۲۹ میلی‌متر و مقطع ۵ میلی‌متر مربع و با ۱ درصد آلائیده به نئودمیوم را نشان می‌دهد.

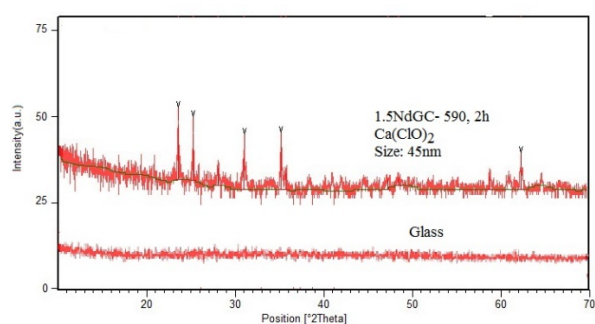


شکل ۱- نمونه شیشه سرامیک شفاف

الگوی پراش XRD نمونه شیشه‌ای و شیشه-سرامیکی مطابق با شکل ۲ بدست آمد. اندازه این نانوبولورها با بکارگیری معادله شر حدود ۴۵ نانومتر برآورد شد. طیف‌های برانگیختگی که در طول موج ۱۰۶۴ نانومتر دیده بانی شده است مطابق شکل ۳ می‌باشد.

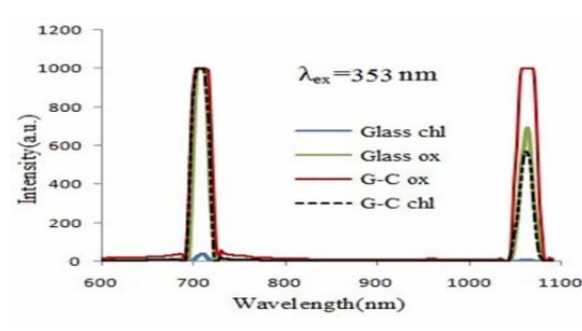
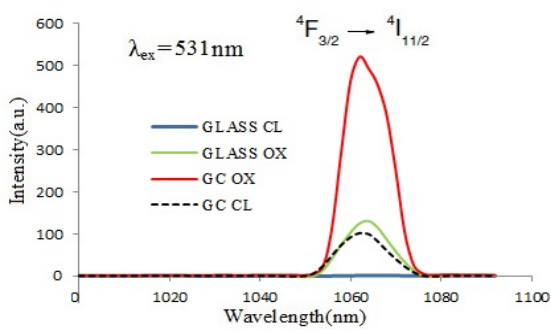


شکل ۳- طیف‌های برانگیختگی نمونه (a) شیشه‌ای و (b) شیشه سرامیکی



شکل ۲- الگوهای پراش XRD نمونه شیشه‌ای (پایین) و نمونه شیشه-سرامیکی (بالا).

طیف‌های گسیلی نمونه‌های شیشه و شیشه سرامیکی کلرایدی و اکسیدی مطابق با شکل ۴ بدست آمد. نمونه شیشه سرامیکی اکسیدی شدیدترین گسیل را نشان می‌دهد. شکل ۵ نتایج تحریک نمونه‌ها در طول موج ۵۳۱ nm را نشان می‌دهد، همانطور که مشاهده می‌کنید نمونه شیشه سرامیکی اکسیدی شدیدترین گسیل را نشان می‌دهد.



شکل ۴- طیف‌های گسیلی کلرایدی و اکسیدی با تحریک در طول شکل ۵- طیف‌های گسیلی کلرایدی و اکسیدی با تحریک در طول موج ۵۳۱ نانومتر برای نمونه‌های شیشه‌ای و شیشه سرامیکی موج ۳۵۳ نانومتر برای نمونه‌های شیشه‌ای و شیشه سرامیکی

ب- اخذ گسیل لیزری از نمونه شیشه سرامیک:

با دمشن نوری به کمک ۲ تا لامپ درخش روسی مدل ۷/۸۰A در یک آرایش نوری جفت شدگی نزدیک مطابق با چیدمان لیزری شکل ۶ تحت دمشن قرار گرفت.



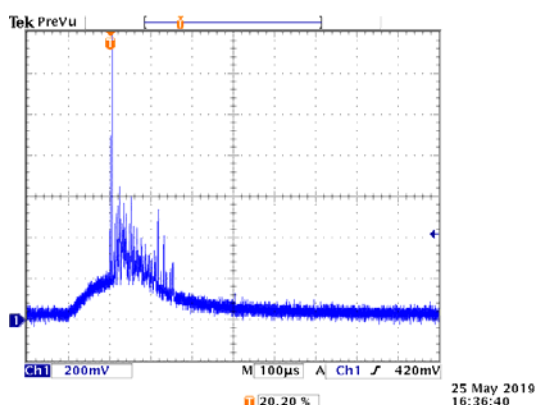
شکل ۶- چیدمان لیزری

تجهیزات لیزری شامل:

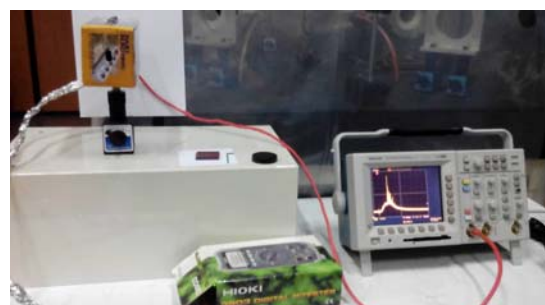
اینہ مقعرعقب با شعاع ۳ متری و با ۹۸٪ بازتاب در طول موج ۱۰۶۴ nm - آینه مقعر جلو با شعاع ۳ متری و با ۹۸٪ بازتاب در طول موج ۱۰۶۴ nm - تریگر-دو تا خازن ۱۰۰ میکروفارادی روسی- منبع تغذیه با ولتاژ تا ۱۵۰۰ ولت- دو تا فلاش لامپ روسی- دوربین مرئی کننده IR- حسگر سیلیکون پین دایود و اسیلوسکوپ- کالری متر

شرح آزمایش:

نمونه در وسط دو لامپ توسط زرورق آلومینیومی که دو طرف آن آینه‌های مقعر با شعاع ۳ متری و بازتاب ۹۸٪ در طول موج ۱۰۶۴ nm قرار گرفت، طول کواک ۳۵ سانتیمتر بوده که نمونه در وسط آن قرار گرفت، با منبع تغذیه از ۹۰۰ تا ۱۲۵۰ ولت به دو سر لامپ، ولتاژ اعمال شده که معادل ۱۵۰ ژول بوده است. همچنین برای همراستا کردن از لیزر هلیوم نئون استفاده شد. پس از اینکه ولتاژ منبع تغذیه به ۹۰۰ ولت رسید با سوچیج کردن تریگر، نمونه توسط ۲ تا لامپ درخش ۲ دمشن شده و با زدن ۱ پالس، در فاصله ۴ متری توسط حسگر سیلیکون پین دایود و اسیلوسکوپ، لیز به صورت میخه‌های لیزری مشاهده شد و با افزایش ولتاژ تا ۱۵۰۰ ولت، شدت و مقدار انرژی افزایش یافت. (شکل ۷)



ب



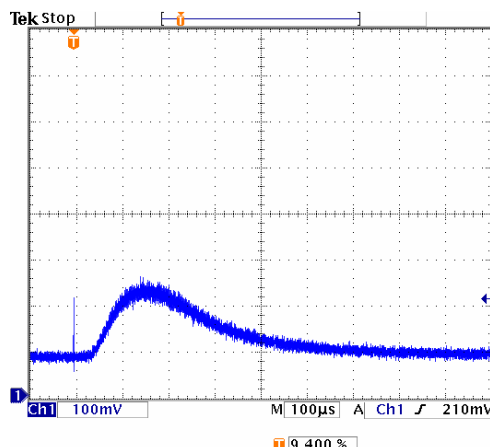
الف

شکل ۷- الف) حسگر پین دایود و اسیلوسکوپ، ب) میخه‌های لیزری مشاهده شده با اسیلوسکوپ

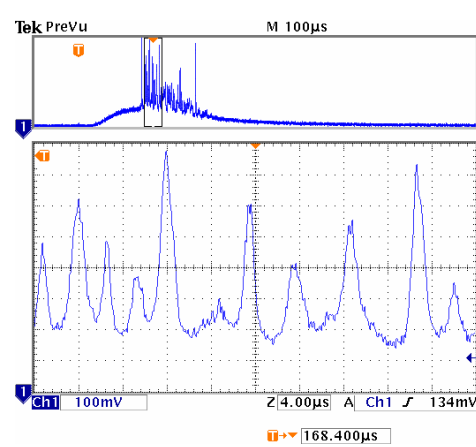
پس از باز کردن قسمتی از میخه‌های لیزری، چندین پهنهای پالس زمانی لیزری کمتر از ۳ میکروثانیه دیده شد. (شکل ۸)

جهت اطمینان از گسیل لیزری، پس از مسدود کردن آینه عقب، فقط پهنهای پالس لامپ دیده شد. (شکل ۹)

همچنین نور لیزر IR توسط دوربین مرئی کننده در فاصله ۴ متری با قطر پرتو ۳ سانتیمتری مشاهده شد و نیز توسط کالری متر، انرژی لیزر در مرتبه ۷۱۲ میکروژول بدست آمد.



شکل ۹- پهنهای پالس‌های زمانی لامپ پس از مسدود کردن آینه عقب



شکل ۸- پهنهای پالس‌های زمانی لیزری کمتر از ۳ میکروثانیه

۳- نتیجه‌گیری

- شیشه سرامیک فسفاتی شفاف آلائید به Nd^{3+} ساخته شد.
- اندازه نانوبلورها در حدود ۴۵ نانومتر بدست آمد.
- طیف‌های گسیلی نمونه‌های شیشه و شیشه سرامیکی مورد بررسی قرار گرفت.
- پهنهای پالس زمانی لیزری کمتر از ۳ میکروثانیه بدست آمد.
- نور لیزر IR توسط دوربین مرئی کننده در فاصله ۴ متری با قطر پرتو ۳ سانتیمتر مشاهده شد.
- توسط کالری متر، انرژی لیزر در طول موج ۱۰۶۴ نانومتر در مرتبه ۷۱۲ میکروژول بدست آمد.

سپاسگزاری

از جناب آقای دکتر فرهبد و آقای ترکاشوند از سازمان انرژی اتمی برای گرفتن گسیل لیزری از نمونه‌های ساخته شده تقدیر و تشکر می‌کنیم.

مراجع

- [1] P.A. Tick, N.F. Borrelli, L.M. Reaney, "The relationship between structure and transparency in glass-ceramic materials", *Opt. Mater.*, 15 (2000) 81.
- [2] G .N. Hemantha Kumar, J .L. Rao, K .Ravindra Prasad, Y. C. Ratnakaram, "Fluorescence and Judd-Ofelt analysis of Nd^{3+} doped $\text{P}_2\text{O}_5\text{-Na}_2\text{O}\text{-K}_2\text{O}$ glass", *J. Alloys Compounds*, 480 (2009) 208.
- [3] M. Abril, J. Mendez-Ramos, I.R. Martin, U.R. Rodriguez-Mendoza, "Optical properties of Nd^{3+} ions in oxyfluoride glasses and glass ceramics comparing different preparation methods", *J. Appl. Phys.* 95 (2004) 5271.
- [4] Y. Hatefi, N. Shahtahmasebi, A. Moghimi, E. Attaran, "Frequency-conversion properties of Eu^{3+} doped chlorophosphate glass ceramics containing CaCl_2 nanocrystals", *Journal of Luminescence* 131 (2011) 114.
- [5] Y. Hatefi, N. Shahtahmasebi, A. Moghimi, E. Attaran, "Ultraviolet to visible frequency-conversion properties of rare earths doped glass ceramics", *J. Rare Earths* 29 (2011) 484.

بررسی اثر افزودن آندالوزیت روی شوک پذیری حرارتی جرم‌های ریختنی دیرگداز تبولار آلومینیم

زهرا خلیلی اوati^۱, محمد رجبی^۲, علیرضا سوری^{۳*}

^۱دانشکده مهندسی مواد، دانشگاه صنعتی نوشیروانی بافق

^۲دانشکده مهندسی مواد، دانشگاه صنعتی نوشیروانی بافق

^۳گروه مهندسی مواد، دانشکده فنی و مهندسی، دانشگاه ملایر

دکتر علیرضا سوری، نویسنده
مسئول مقاله، عضو هیات علمی
دانشگاه ملایر

چکیده: در این مقاله اثر مقادیر مختلف آندالوزیت روی شوک پذیری حرارتی جرم‌های ریختنی دیرگداز تبولار آلومینیم مورد بررسی قرار گرفته است. نمونه جرم‌های دیرگداز با مقادیر ۵، ۱۰ و ۱۵ درصد آندالوزیت ساخته شدند و بعد از عمل آوری و خشک کردن در دماهای ۱۰۰۰، ۱۲۰۰ و ۱۵۰۰ درجه سانتی گراد پخته شدند. آزمایش‌های استحکام فشاری سرد، دانسیته کلی و تخلخل ظاهری اندازه گیری شدند. آزمایش مقاومت در برابر شوک حرارتی با روش دفعه هوای سرد روی نمونه‌های باز پخت شده در ۱۲۰۰ درجه سانتی گراد صورت گرفت. مشخصه‌یابی مورفولوژیکی و ساختاری نمونه‌ها توسط آنالیز تفرق پرسو ایکس و میکروسکوپ الکترونی روبشی مطالعه شد. نتایج آنالیز فازی نشان می‌دهند که با حضور آندالوزیت در جرم‌های ریختنی دیرگداز تبولار آلومینیمی فاز مولایت تشکیل شده است. وجود فاز مولایت باعث بهبود خواص مکانیکی نمونه‌ها در دمای ۱۵۰۰ درجه سانتی گراد شده است. همچنین نتایج آزمایش مقاومت در برابر شوک حرارتی برای نمونه با مقدار ۱۰ درصد وزنی آندالوزیت بالاترین کاهش درصد استحکام خمشی سرد از ۷۳/۹۵ درصد به ۵۷ درصد را نشان می‌دهند.

کلمات کلیدی: جرم دیرگداز آلومینیمی، شوک پذیری حرارتی، آندالوزیت، مولایت.

۱- مقدمه

امروزه تولید مواد دیرگداز با کیفیت بهتر و طول عمر بیشتر برای صنایع مصرف کننده دیرگداز مانند صنایع آهن و فولاد، صنایع سیمان و انواع کوره‌های صنعتی از اهمیت فوق العاده‌ای برخوردار است. دیرگدازهای مونولیتیک به دلیل مقاومت بالایی که در برابر شوک حرارتی و واکنش‌های شیمیایی دارند، به طور وسیع در آستر کوره‌های قوس الکتریکی، پاتیل‌ها و تاندیش‌های ریخته‌گری مورد استفاده قرار می‌گیرند [۱]. مزایای دیرگدازهای مونولیتیک باعث افزایش تمایل به مصرف این گروه از مواد و جایگزینی تدریجی آن‌ها به جای دیرگدازهای شکل‌دار شده است [۲]. فرآورده‌های دیرگداز ممکن است حين کار تحت شوک حرارتی قرار گیرند. برای جلوگیری از ترک برداشت و شکسته شدن و به دست آوردن حداکثر عمر، لازم است که محصولات دیرگداز شوک پذیری حرارتی مناسبی با توجه به محل مصرف داشته باشند. مقاومت در برابر شوک حرارتی به شاخص‌های فیزیکی ماکروسکوپی مانند استحکام، مدول الاستیسیته و ضربی انبساط حرارتی وابسته است. علاوه بر این‌ها عوامل درونی مانند ساختار مواد، اندازه‌دانه، شکل و توزیع نقص داخلی نیز تأثیرگذار است [۳].

یکی از راههای بهبود خواص جرم‌های ریختنی کم سیمان پایه آلومینیمی، تشکیل فاز مولایت در ساختار آن‌ها می‌باشد که در رشد و توسعه این دیرگدازها اهمیت بسزایی دارد. به دلیل دمای ذوب بالای مولایت (۱۸۵۰ درجه سانتی گراد)، هدایت حرارتی و انبساط حرارتی پایین، استحکام بالا، پایداری حرارتی و شیمیایی خوب و سرعت خرزش پایین مولایت، این ماده فازی مطلوب و قابل توجه در صنعت دیرگداز می‌باشد [۴ و ۵].

یکی از مینرال‌های آلومینوسیلیکاتی که قابلیت مولایت‌زایی بالایی دارد، آندالوزیت می‌باشد.

آنالوژیت یک مینرال آلومینوسیلیکاتی با ساختار بلوری اورتورومبیک است و دارای خواصی همچون پایداری حجمی مناسب در دمای بالا، استحکام مکانیکی بالا، مقاومت به شوک حرارتی و مقاومت به خزش می‌باشد [۶]. مهم‌ترین خصوصیاتی که آنالوژیت را از دیگر آلومینوسیلیکات‌ها متمایز می‌سازد نسبت مناسب آلومینا به سیلیس موجود در ماده جهت تشکیل فاز مولایت، استحاله آسان و برگشت ناپذیر به مولایت و قیمت مناسب آن می‌باشد [۷]. در این پژوهش، بهبود شوک‌پذیری حرارتی جرم‌های دیرگداز آلومینا بالای کم سیمان با افزودن درصدهای مختلف آنالوژیت مورد بررسی قرار گرفته است.

۲- فعالیت‌های تجربی

۱- مواد اولیه

مواد اولیه شامل تبولار آلومینا، راکتیو آلومینا، سیمان سکار ۷۱ و آنالوژیت می‌باشد که در جدول ۱ ترکیب شیمیایی آنها نشان داده شده است.

جدول ۱- آنالیز شیمیایی مواد اولیه استفاده شده برای ساخت جرم ریختنی دیرگداز

	آلومینای تبولار	آلومینای راکتیو	آنالوژیت	سیمان سکار ۷۱
Al ₂ O ₃	۹۸/۸۸	۹۹/۴۹	۵۹/۱	≥۶۸,۵
SiO ₂	۰/۰۷	-	۳۸/۵	۰/۸
Fe ₂ O ₃	۰/۰۵	-	۰/۸	۰/۴
TiO ₂	-	-	۰/۲۵	۰/۴
Na ₂ O	۰/۳۵	۰/۲۳	۰/۱	-
K ₂ O	-	۰/۰۱	۰/۳	-
MgO	-	-	۰/۱۵	۰/۵
CaO	۰/۰۸	-	-	≤۳۱
SO _۳	۰/۰۷	-	-	۰/۳
LOI	۰/۵	۰/۲۳	۰/۷	-

۲- اختلاط و آماده‌سازی جرم‌های ریختنی

مواد اولیه بعد از توزیع با ترازوی با دقت ۰/۱ گرم، در یک میکسر هوبارت دو دقیقه اختلاط خشک و ۳ دقیقه اختلاط تر شدند. سپس جرم‌ها در قالب ریخته شده و روی میز ویره تحت عمل لرزش به مدت یک دقیقه با فرکانس ۵۰HZ ساخته شدند. نمونه‌ها در محفظه‌ای با رطوبت ۹۰٪ به مدت ۲۴ ساعت نگهداری شدند. نمونه‌ها از قالب خارج شده و به مدت ۲۴ ساعت در هوای آزاد آزمایشگاه نگهداری شدند. سپس همه نمونه‌ها در دمای ۱۱۰ درجه سانتی‌گراد خشک و در سه دمای ۱۰۰۰، ۱۲۰۰ و ۱۵۰۰ درجه سانتی‌گراد با سرعت ۳۰۰ درجه سانتی‌گراد بر ساعت پخت شدند.

۳- آزمایش‌ها و مشخصه‌های بابی

دانسیته بالک، تخلخل باز، استحکام خمی سرد مطابق استاندارد ASTM روی نمونه‌های استاندارد انجام شد. برای اندازه گیری شوک حرارتی نمونه‌هایی به شکل شمش ساخته شدند پس از پخت در دمای ۱۵۰۰ درجه سانتی‌گراد، برای انجام سیکل‌های حرارتی آماده شدند. بدین صورت که نمونه‌ها در دمای ۱۲۰۰ درجه سانتی‌گراد به مدت ۲۰ دقیقه حرارت دیدند و سپس از کوره خارج شده و تحت دمای هوای سرد به مدت ۲۰ دقیقه قرار گرفتند. این سرد و گرم کردن ۵ بار تکرار شد و پس از آن از نمونه‌ها

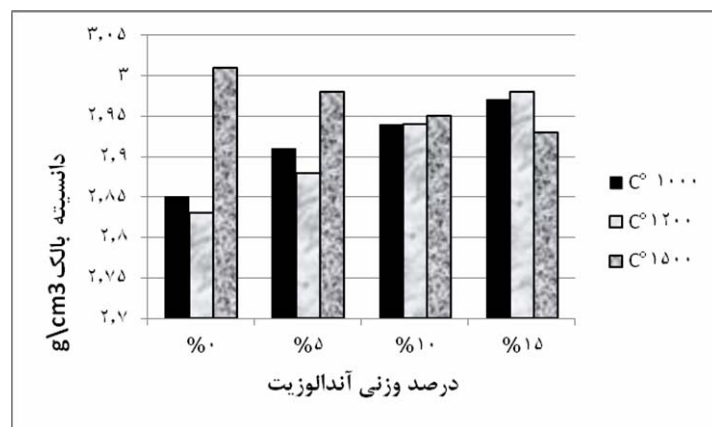
آزمون استحکام خمشی سرد گرفته شد. به منظور ارزیابی ساختاری و فازی نمونه‌ها بعد از پخت در دماهای ۱۲۰۰ و ۱۵۰۰ درجه سانتی‌گراد، آنالیز تفرق پرتو ایکس (XRD) به کار گرفته شد. میکروسکوپ الکترونی روبشی جهت مشخصه‌یابی نمونه‌های بالک استفاده شد. با استفاده از تصاویر حاصل، اثر افزودن آندالوزیت و حضور یا عدم حضور فاز مولایت مورد بررسی قرار گرفت.

۳- نتایج و بحث

۳-۱- اثر آندالوزیت بر روی دانسیته بالک و تخلخل ظاهری جرم‌های ریختنی

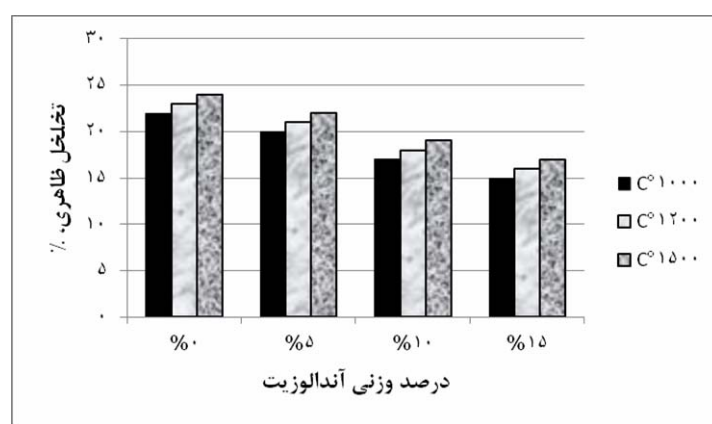
دانسیته بالک و تخلخل ظاهری دو پارامتر مهم در بحث جرم‌های ریختنی دیرگداز هستند. در شکل ۱ اثر افزودن آندالوزیت روی دانسیته بالک جرم‌های آلمینیمی کم سیمان نشان داده است.

در محدوده دمایی ۱۰۰۰ و ۱۲۰۰ درجه سانتی‌گراد که نمونه‌ها پخت شدند دو عامل روی دانسیته تأثیر می‌گذارد. عامل اول حذف فازهای هیدراته CAH_{10} و خروج مواد فرار است که باعث کاهش دانسیته می‌شود [۴]. از طرفی با افزایش بیشتر دما تا ۱۵۰۰ درجه سانتی‌گراد عامل دوم که زینترینگ می‌باشد منجر به افزایش دانسیته می‌گردد. بنابراین در نمونه‌های ۰٪ و ۱۰٪، علت کاهش دانسیته را می‌توان غلبه عامل اول دانست و در نمونه ۱۵٪، افزایش درصد آندالوزیت سبب افزایش میزان فاز شیشه شده که از طریق کمک به انجام زینترینگ و پر کردن حفرات بر عامل اول غلبه نموده و دانسیته را افزایش می‌دهد.



شکل ۱- دانسیته بالک نمونه‌های مختلف در دماهای پخت متفاوت

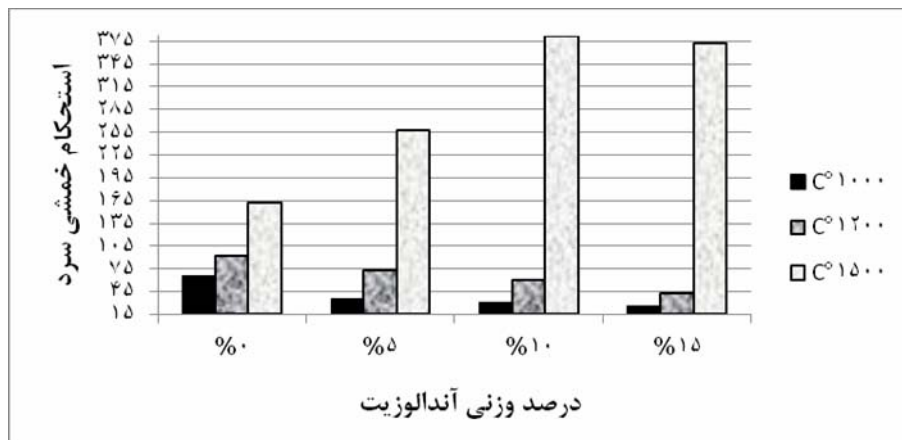
تخلخل ظاهری نمونه‌ها در دماهای مختلف با افزایش درصد آندالوزیت در شکل ۲ نشان داده شده است، میزان تخلخل ظاهری به علت پرشدن حفرات توسط فاز شیشه کاهش می‌یابد و با افزایش دما تخلخل ظاهری مقدار جزئی افزایش داشته است. در دمای ۱۵۰۰ درجه سانتی‌گراد به علت کامل شدن زینترینگ درصد تخلخل ظاهری تمام نمونه‌ها به یک مقدار تقریباً ثابت می‌رسد.



شکل ۲- تخلخل ظاهری نمونه‌های مختلف در دماهای پخت مختلف

۲-۳- اثر افزودن آندالوزیت روی مقاومت به شوک حرارتی

استحکام خمی سرد نمونه‌ها در دماهای مختلف و در درصدهای وزنی مختلف آندالوزیت اندازه‌گیری شد که نتایج آن در شکل ۳ نشان داده شده است.



شکل ۳- استحکام خمی سرد نمونه‌های حاوی مقادیر مختلف آندالوزیت در دماهای پخت متفاوت

نتایج شکل ۳ مربوط به استحکام خمی سرد قبل از وارد شدن شوک حرارتی به نمونه‌ها است. بعد از تحمل سیکل‌های حرارتی نیز مقادیر استحکام خمی سرد در ۱۵۰۰ درجه سانتیگراد اندازه‌گیری گردید. درصد کاهش مقدار استحکام خمی سرد نمونه‌ها با مقادیر مختلف آندالوزیت در دمای پخت اولیه ۱۵۰۰ درجه سانتیگراد در جدول ۲ آورده شده است.

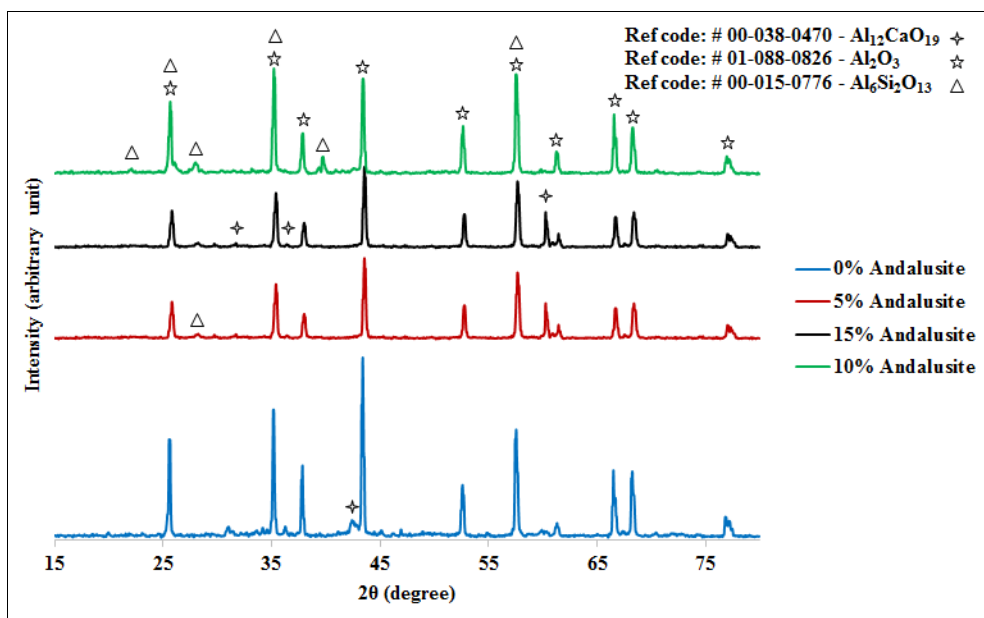
جدول ۲- درصد کاهش استحکام خمی سرد پس از شوک حرارتی

مشخصه نمونه‌ها، کاهش استحکام خمی سرد	مقدار آندالوزیت (MOR)
%۰	۷۳/۹۵
%۵	۶۸/۰۷
%۱۰	۵۷
%۱۵	۵۷/۷۱

همانگونه که در جدول مشاهده می‌گردد با افزایش مقدار آندالوزیت تا ۱۰ درصد وزنی روند کاهش استحکام خمی سرد بهبود یافته است و در ۱۵ درصد آندالوزیت این روند کاهشی متوقف شده است.

برای درک بهتر اثر آندالوزیت روی بهبود شوک پذیری حرارتی آنالیز فازی (XRD) برای نمونه‌هایی که در دمای ۱۵۰۰ درجه سانتیگراد پخت شدند انجام شد. با افزایش درصد آندالوزیت تا ۱۰٪، مقدار مولایت در نمونه‌ها بیشتر تشکیل می‌گردد که در شکل ۴ افزایش شدت پیک‌های ظاهر شده مولایت در آنالیز پراش پرتو ایکس بیانگر همین موضوع هست.

نکته قابل توجه آن است که با افزایش آندالوزیت تا ۱۵٪ از تعداد و شدت پیک‌های مولایت کم شده است، که بنظر می‌رسد احتمالاً مقدار فاز شیشه بالاتر در سیستم تشکیل شده و باعث جلوگیری از تشکیل مولایت بیشتر شده است.



شکل ۴- الگوی XRD نمونه‌های مختلف در دمای پخت ۱۵۰۰ درجه‌سانتی‌گراد

۴- نتیجه‌گیری

در این پژوهش اثر درصدهای مختلف آندالوزیت روی شوک پذیری حرارتی جرم‌های ریختنی تبلاز آلومینایی کم سیمان بررسی گردید و نتایج نشان می‌دهند که با افزایش آندالوزیت تا ۱۰ درصد وزنی در این نوع جرم‌ها باعث بهبود کاهش استحکام خمشی سرد نمونه‌ها تا حدود ۱۷ درصد بعد از اعمال شوک حرارتی شده است. نتایج الگوهای پراش اشعه ایکس در دمای ۱۵۰۰ درجه سانتی‌گراد نشان می‌دهند که در نمونه حاوی ۱۰ درصد آندالوزیت بیشترین فاز مولایت تشکیل شده که با توجه به ویژگی‌های فاز مولایت باعث بهبود بیشتر شوک پذیری حرارتی گردیده است.

مراجع

- [1] Rahid, C. A., "Refractories; manufacture, properties, application", India, 1986.
- [2] Myrhe, B. et al, "On the influence of superfines in high Alumina castables", proceeding of international colloquium on refractories, vol. 45, pp. 184-188, 1996.
- [3] Zhang Wei."Research on thermal shock resistance of mullite-bauxite-silicon carbide refractory castable", Chin. J. Geochem, vol 31, pp.204-208, 2013.
- [4] Zawrah, M.F., Kalil N.M., "Effect of Mullite formation on properties of Refractory castable", Ceramic International,.vol 27. pp.689-694,2001.
- [5] H.Schneider,et.al., "Structure and properties of mullite-A review", journal of The European Ceramic Society, vol 28. p.p. 329-344, 2008.
- [6] Roy Hagen,et al., "Mullite Formation, High Temperature properties of Andalusite Alumina Based LCC and ULCC",, UNITERCR,2009.
- [7] C.Odegard, et al, "Mullite-Bonded castable With Andalusite as aggregate",, International colloquium on Refractories,1998.



*ab.shanaghi@gmail.com

مهندس ابوالفضل شانقی،
نویسنده اول مقاله، دانشکده
برق و کامپیوتر، واحد علوم و
تحقیقات، دانشگاه آزاد اسلامی

کاربرد مواد سرامیکی و نانو مواد در توسعه تجهیزات ارتباطی نسل پنجم (5G)

ابوالفضل شانقی^{۱*}، علی شانقی^۲

^۱ دانشکده برق و کامپیوتر، واحد علوم و تحقیقات، دانشگاه آزاد اسلامی

^۲ گروه مهندسی مواد، دانشکده فنی و مهندسی، دانشگاه ملایر

چکیده: امروزه، افزایش سریع تعداد دستگاه‌های تلفن همراه، داده‌های حجمی، و نرخ داده بالاتر، توسعه ارتباطات بی‌سیم نسل پنجم (5G) را بسیار مورد توجه قرار داده است. شبکه‌های 5G به طور گسترده با سه ویژگی منحصر به فرد مشخص می‌شوند، که عبارتند از اتصال فراگیر، تاخیر بسیار پایین، و انتقال داده بسیار سریع از طریق اتخاذ فن‌آوری جدید همانند نانوآنتن‌ها. ساخت نانوآنتن‌ها و بسته به خواص نانو مواد و سرامیک‌های با خاصیت الکترومغناطیس و دی‌لکتریک ویژه همراه با مورفولوژی نانو ساختار می‌باشد. شیشه-سرامیک‌ها برای وسایل بی‌سیم 5G سرامیکی پخت شده با دمای پایین^۱ (LTCC) خواص مایکروبوی عالی دارند، همچنین گرافن، نانولوله‌های کربنی، نانومواد فلزی و فرامواد^۲ دارای کاربرد گسترده‌ای در امواج با پهنای باند میلیمتری هستند، که مورفولوژی و خواص الکترومغناطیسی آنها تاثیر قابل توجهی در بازدهی و تجاری سازی تجهیزات 5G دارد. در این مقاله بطور کلی کاربرد سرامیک‌ها و مواد نانوساختار گرافن، نانوتیوب‌های کربن و نانو مواد فلزی در گسترش نانوآنتن‌ها و تجهیزات 5G مورد بحث قرار گرفته است.

کلمات کلیدی: نانو مواد، شیشه-سرامیک، گرافن، نانو تیوب‌های کربن، تجهیزات ارتباطی نسل پنجم 5G.

۱- مقدمه

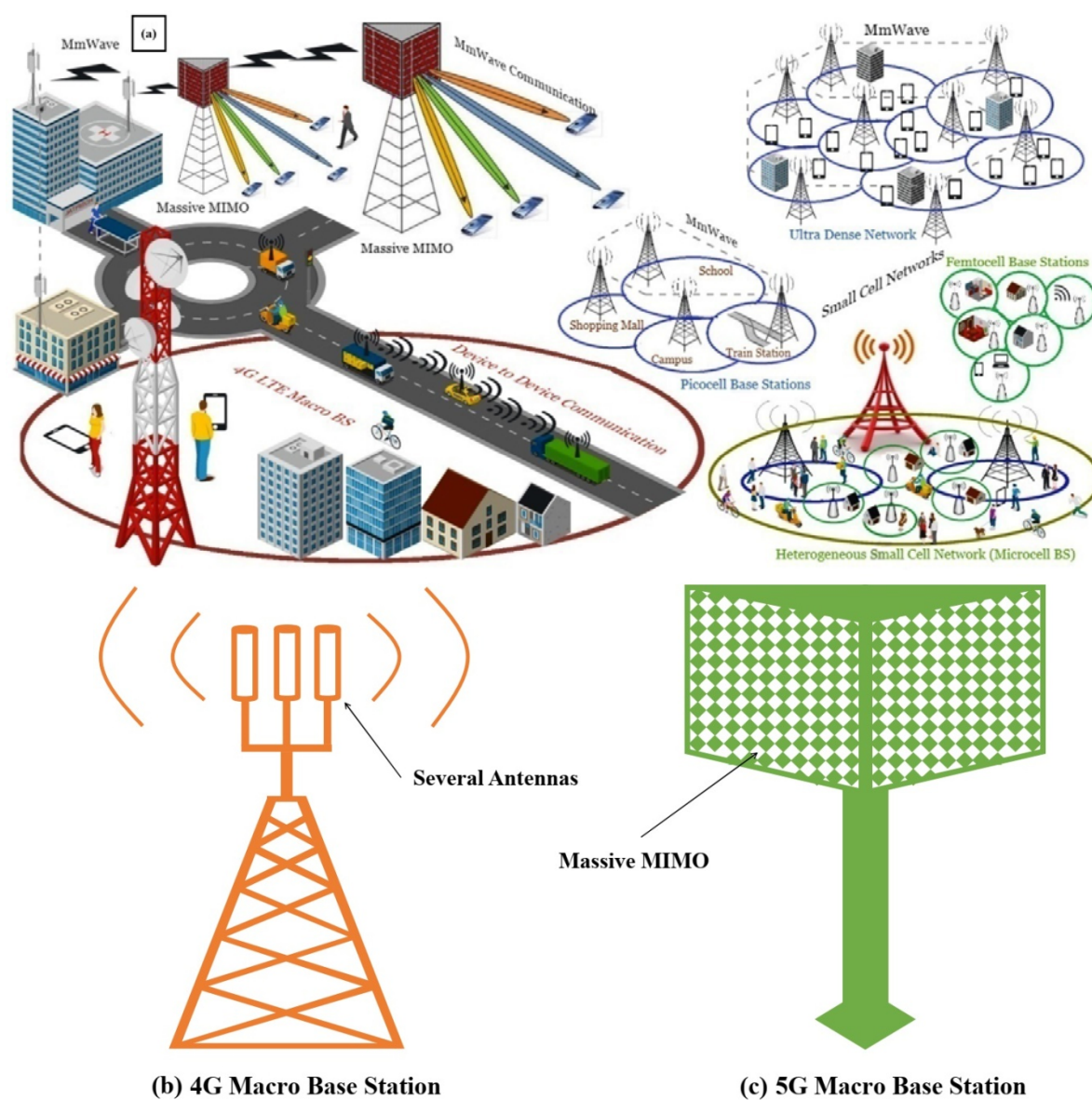
توسعه علمی و تکنولوژیکی ارتباطات بی‌سیم برای جامعه و مردم در زندگی روزمره آن‌ها سودمند است [۱-۳]. پیشرفت و تقاضا در جامعه، به نوبه خود، نوآوری و توسعه سیستم‌های ارتباطات بی‌سیم را گسترش داده است. در دهه پیش رو، استفاده و کاربردهای بسیار زیاد ارتباط‌های مخابراتی، منجر به افزایش قابل توجه ترافیک تلفن همراه بوسیله میلیاردها اتصال برای دستگاه‌های ارتباطی در مقایسه با آیچه که امروز تجربه می‌شود، مورد نیاز باشد. علاوه بر این، توسعه سریع خدمات ضروری از جمله بانکداری الکترونیک، آموزش الکترونیک، سلامت الکترونیک و تجارت الکترونیک باعث رشد زیادی در حجم داده‌ها شده و نیاز به تاخیر کم و قابلیت اطمینان بالا برای کاربردهای پشتیبانی دارد [۴-۶]. همچنین تقاضای بازی‌های الکترونیکی با استفاده از واقعیت واقعیت مجازی به تدریج از طریق سیستم‌های ارتباطی بی‌سیم در حال گسترش می‌باشد [۷-۸]. که با استفاده از طیف گسترده‌ای از نرخ داده‌ها تا چندین گیگابایت در ثانیه پشتیبانی شود و دهها مگابایت در ثانیه باید دارای قابلیت دسترسی با اطمینان بالا باشند [۷-۱۰]. در این میان، ارتباطات بی‌سیم 5G بر پایه نسل چهارم 4G می‌تواند نیازهای عملکردی ذکر شده را تامین نماید و قابلیت‌های عظیم داده، حجم تماس‌های نامحدود و انتشار داده‌های نامحدود را ارائه دهد. در واقع ارتباطات بی‌سیم 5G یک سیستم همگرا با فن‌آوری دسترسی رادیویی چندگانه یکپارچه است [۱۱-۱۳]، که در مقایسه با 4G، فرکانس و طیف بالاتری را پشتیبانی می‌کند و بر روی امواج میلیمتری ۱۰۰ - ۳۰ GHZ کار می‌کند [۱۴-۱۸]، که بطور شماتیک در شکل ۱ خلاصه‌ای از تکنولوژی 5G و آنتن‌های مورد استفاده در ایستگاه‌های 4G و 5G بطور شماتیک نشان داده است.

¹ Fifth-generation wireless communications

² low-temperature co-fired-ceramic

³ Metamaterials

نانو فناوری، که مجموعه‌ای از ابزارها را برای ایجاد اجزای نانو مقیاس فراهم می‌کند، به طور گستره‌های در ارتباطات بی‌سیم 5G مورد استفاده قرار گرفته است. اندازه کوچک نانومواد نیز تحریک‌ها و حرکات بار در نانومواد را محدود و ساختارهای الکترونیکی پیوسته را مجزا می‌کند و به تدریج طیف نوری را به طور ناگهانی تغییر می‌دهد. همچنین مواد نانوساختار در برهمکنش با میدان الکتریکی، میدان مغناطیسی یا هر دو میدان، عملکرد جذب امواج را به طور قابل توجهی افزایش می‌دهد و برای جذب مایکروویو و تحریک اثر متقابل نور و ماده در ناحیه گیگا هرتز طیف الکترومغناطیسی به می‌توان از مواد نانوساختار جهت افزایش بازدهی استفاده نمود [۱۸-۲۲]. پاسخ الکترومغناطیسی نانومواد توسط گذردهی^۱ و نفوذپذیری^۲ تعیین می‌شود، که مرتبط با ذخیره‌سازی و اتصال ارزشی است، که به طور عمدۀ مقدار اتصال بازتاب در سطح مشترک نانو مواد – اتمسفر را تعیین می‌کند. اما بیشترین انعکاس یا اتصال امواج مکروویو توسط زیر لایه رخ می‌دهد [۲۳].



شکل ۱ - (a) شماتیک کاربرد فناوری‌های پیشرفته بر پایه ارتباطات بی‌سیم 5G، که منجر هوشمندتر، سریع‌تر و کارآمدتر تجهیزات ارتباطی گردیده است، (b) آنتن‌های مورد استفاده در ایستگاه 4G، (c) آنتن‌های مورد استفاده در ایستگاه 5G [۱۷].

¹ Permittivity
² Permeability

¹ Molecular dynamics
² Wollastonite
³ Cordierite
⁴ Diopside

بنابراین خواص دی الکتریک و مغناطیسی زیرلایه‌ها و نانو ساختارهای مورد استفاده در تجهیزات ارتباطی نقش بسیار مهمی در تضعیف امواج الکترومغناطیسی و یا افزایش بازدهی عملکرد آنها باز می‌کنند [۲۴]، که این هم وابسته با نوع مواد مورد استفاده در ساخت تجهیزات ارتباطی است همانند سرامیک‌ها و نانوفلزها و هم نوع مورفولوژی و ساختار آنها، که بایستی به کمک فرایندهای شبیه سازی ملکولی^۱ (MD) رابطه بین ساختار و خواص مواد در مقیاس نانو تعیین گردد، زیرا که استفاده از سرامیک‌های پیشرفته و توسعه مواد نانو ساختار برای تجهیزات مخابراتی فرکانس بالا و دستگاه‌های الکترونیکی با سرعت فوق العاده بالا بسیار مهم است.

در این مقاله پیشرفته‌های اخیر در زمینه کاربرد مواد نانوساختار همانند شیشه-سرامیک‌ها، گرافن، نانولوله‌های کربنی (CNT)، مواد نانو فلزی و فرآمود برای تجهیزات ارتباطی 5G مورد بحث قرار گرفته است.

۲- مواد پیشرفته مورد استفاده در گسترش فناوری 5G

۲-۱- شیشه-سرامیک‌ها

تجهیزات سرامیکی که در فرکانس‌های مایکروویو و ثابت‌های دی الکتریک پایین ($\epsilon_r < 10$) عمل می‌کنند، با توجه به کاربردهای امیدبخش خود در فناوری‌های مخابراتی 5G در فرکانس‌های زیر 6 GHz ، 28 GHz و 38 GHz مورد توجه قرار گرفته‌اند [۲۸-۲۵]. در این میان شیشه سرامیک‌های پخته شده در دمای پایین (LTCCs) به دلیل مقرون به صرفه بودن در ساخت میکروالکترونیک برای توسعه نسل بعدی دستگاه‌های ریزموچ و چند لایه آتن/فیلتر فرکانس‌های بالا مورد بررسی قرار گرفته‌اند [۳۱-۳۹].

در تحقیقات جدید از آلومینا در ساخت شیشه‌های $\text{SiO}_2-\text{Al}_2\text{O}_3-\text{B}_2\text{O}_3$ استفاده می‌شود، که در این مواد LTCC استنی، آلومینا به عنوان پرکننده دی الکتریک در ماتریس شیشه‌ای عمل می‌کند. با این حال، حضور یک محتوای شیشه‌ای بالا، به دلیل جذب مایکروویو در فاز شیشه، اتلاف بالایی را در محدوده مایکروویو ($1\text{ GHz} >$) ایجاد می‌کند [۳۴-۳۲]. دوم، سیستم‌های شیشه-سرامیک با بلورینگی بالا، ثابت دی الکتریک پایین و عوامل با کیفیت بالا که می‌توانند با استفاده از مواد دیگر مانند $\text{CaO}-\text{SiO}_2$ - $\text{La}_2\text{O}_3-\text{B}_2\text{O}_3-\text{CaO}$ (LBC)، B_2O_3 (CSB) تلفات تائزانت کمتری را در ناحیه GHz نشان می‌دهند و ساخت دستگاه‌هایی با خواص عالی را ممکن می‌سازند [۳۸-۳۵]، البته در شیشه-سرامیک CSB افزایش مقدار B_2O_3 در ساختار باعث ایجاد ریزساختاری فشرده و با افزایش شدت بلورینگی CaB_2O_4 شده، که منجر به افزایش قدرت سرامیک CBS می‌شود. با این حال، هنگامی که مقدار B_2O_3 بیش از ۲۵ درصد شود، دی الکتریک و خواص مکانیکی به دلیل بیش از حد فاز شیشه به سرعت کاهش می‌یابد [۱۷]. تحقیقات بیانگر وجود سیستم‌ها با ثابت‌های دی الکتریک پایین ($7.8 \sim 42$)، فاکتورهای با کیفیت بالا ($\tan\delta \leq 0.001$) در محدوده GHz و پایداری حرارتی گستردۀ قابل بررسی توسط تردد ضریب دمای صفر در فرکانس رزونانس) در شیشه-سرامیک‌های بر پایه (CMS) است [۳۰-۳۹].

بنابراین شیشه-سرامیک‌های با اتلاف تائزانت کم انتخاب اصلی برای استفاده در کاربردهای ارتباطی بی‌سیم در محدوده مایکروویو هستند. بطور کلی متناسب با کاربرد سرامیک‌ها از دیدگاه دی الکتریک و پایداری دمایی، دو گروه سرامیک تعریف می‌شود، که عبارتند از: اول، سرامیک‌ها با ثابت دی الکتریک پایین، که در فرکانس‌های بالاتر از 10 GHz پایداری دمایی نیاز است و مواد بایستی دارای Q بالا و ثابت‌های دی الکتریک در محدوده ۶ تا 18 GHz باشند. دوم، سرامیک‌های دارای Q فوق العاده بالا و ثابت دی الکتریک کمتر از 30°C ، که در این حالت میزان Q با افزایش فرکانس کاهش می‌یابد، اما برای داشتن اتلاف تائزانتی کم مخصوصاً در فرکانس‌های بالاتر از 28 GHz نیاز به مواد با Q فوق العاده زیاد است.

¹ Molecular dynamics
² Wollastonite
³ Cordierite
⁴ Diopside

جدول ۱- سرامیک‌ها با ثابت دی‌الکتریک پایین [۱۸].

Material	ϵ'	$Qf > 50000$
Cordierite	4-5	112500
Eucryptite LiAlSiO_4	5.3	80000
$\text{Li}_2\text{MgSiO}_4$	5.6	80000
Forsterite + Cordierite	6.0	No
Forsterite (Mg_2SiO_4)	6.6	No
Willemite (Zn_2SiO_4)	6.6-7.5	147000
Celsian ($\text{Sr},\text{Ba}\text{Al}_2\text{Si}_2\text{O}_8$)	7.2	77000
Spinel (MgAl_2O_4)	8.5	105000
Alumina (Al_2O_3)	10.0	634000

۲-۲- گرافن

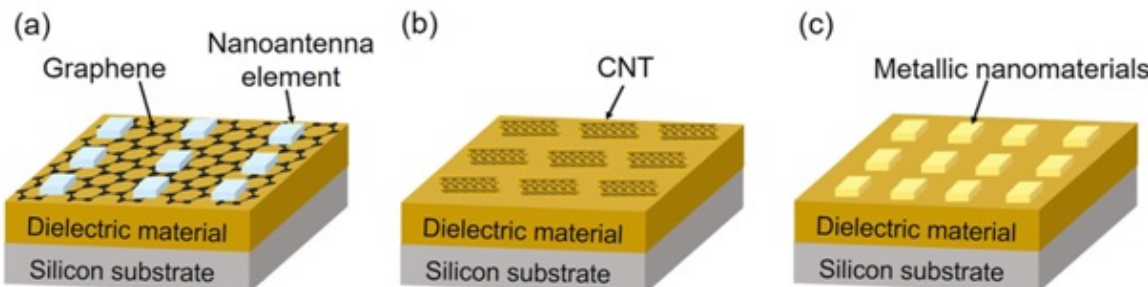
ارتباطات G5 به آتن‌هایی با ظرفیت بیشتر، طیف بی‌سیم گستردۀ تر، بهره بالا و قابلیت هدایت بیشتر در مقایسه با 4G نیاز دارد و آتن‌های معمولی به دلیل محدودیت‌های ساخت و نصب در اندازه‌های کوچک‌تر، قادر به تامین فرکانس بالای نمی‌باشند. همچنین نانوذرات فلزی معمولاً برای ایجاد اتصال هدایتی در آتن‌ها استفاده می‌شوند، که بالا بودن سطح ویژه نانو ذرات منجر به افزایش واکنش پذیری آنها با محیط اطراف و افزایش شدت تخریب و خوردگی نانو ذرات فلزی در مقایسه با بالک فلزی می‌شود[۶۴-۶۶]. لذا استفاده از مواد نانو مرتبط با کربن مانند گرافن و نانو تیوب‌های کربن (CNTs) با اندازه‌های کوچک‌تر و ابعاد نازک‌تر که قادر به انتشار فرکانس‌های بالا می‌باشند، بسیار مورد توجه قرار گرفته است [۴۴-۴۱].

گرافن دارای یک لایه منفرد از اتم‌های کربن در یک ساختار هگزاگونال است با خواص ویژه‌ای همانند جمله انتقال بار در دمای اتاق حدود $V^{-1} \text{s}^{-1} \text{cm}^2$ 2000000Pa ، مدول یانگ $1/\text{TPa}$ ، استحکام شکست 125GPa ، و هدایت گرمایی $5000 \text{W m}^{-1} \text{K}^{-1}$ ، آن را در گروه سفتترین مواد با بالاترین تحرك بار در نظر می‌گیرند. همچنین گرافن دارای رسانایی بالایی تا 108S / m و مقاومت ورقه‌ای کمتر از $30 \Omega / \text{m}$ با شفاقت نوری 90% می‌باشد و به دلیل ویژگی‌های سوئیچینگ عالی و خواص قابل تنظیم، به یک ماده جذاب برای تولید نجهیزات الکترونیکی با سرعت فوق العاده بالا تبدیل شده است. بطور مثال، رسانایی یکی از مهم‌ترین خصوصیات آتن‌های مبتنی بر گرافن است که می‌تواند از طریق ولتاژ بایاس اعمالی و روش‌های دوپینگ کنترل شود [۷۵، ۷۱] و آنچنانی که یک لایه گرافن ضخامتی در حدود یک اتم دارد، امکان ذخیره کردن الکترواستاتیکی قابل توجه همراه با انعطاف‌پذیری بسیار بالا را فراهم می‌نماید. تک لایه‌های گرافن می‌توانند حتی در فرکانس‌های تراهنتر، با اتلاف متوسط و میدان قوی موضعی، از امواج پلازمون پلاسمون^۱ (SPP) سطح فوق العاده محدود شده پشتیبانی می‌نمایند [۱۸ و ۴۵-۴۷]. به طور خاص، امواج SPP امواج الکترومغناطیسی هستند که در امتداد فصل مشترک فلز - دی‌الکتریک هدایت می‌شوند و در فرکانس‌های بالا تولید می‌شوند [۷۹، ۸۰]. همچنین گرافن از نظر پتانسیل شیمیایی، می‌تواند غلظت‌های بسیار بالای الکترون انتقال دهد [۴۷-۴۸].

براساس این خواص، گرافن یک ماده بالقوه برای استفاده در قسمت‌های الکترونیکی آتن‌ها مخابراتی، جهت ساخت آتن‌هایی با اندازه‌های کوچک‌تر و ابعاد نازک‌تر با توانایی انتشار فرکانس‌های بالا می‌باشد [۸۳، ۸۴]. در شکل ۲ شماتیک ساختار نانو آتن‌های مبتنی بر گرافن، نانو تیوب‌های کربن و نانو مواد فلزی همراه با یک لایه میانی سرامیکی دی‌الکتریک بر روی زیر لایه

^۱ Plasmon polariton

سیلیکونی به ترتیب نشان داده است. نانو آنتن‌های مبتنی بر گرافن از سطح تراشه کوچکتری نسبت به همتایان فلزی برخوردار هستند که می‌توانند در محدوده طیف وسیع فرکانسی عمل نمایند، که صدها برابر کوچکتر از آنتن‌های میکرواستریپ معمولی بوده و پهنای باند و بهره بیشتری نسبت به نانو آنتن‌های فلزی دارند و با کنترل رفتار الکتریکی و دوب کردن عناصر شیمیایی در ساختار هگزاگونال گرافن می‌توان سرعت‌های انتقال داده تا حد تراویت بر ثانیه رسید [۴۹-۵۰].



شکل ۲- شماتیک ساختار نانو آنتن‌های مبتنی بر (a) گرافن، (b) نانو تیوب‌های کربن و (c) نانو مواد فلزی همراه با یک لایه میانی سرامیکی دی الکتریک بر روی زیر لایه سیلیکونی [۱۸].

۳-۲- نانو تیوب‌های کربن (CNT)

نانو تیوب‌های کربن مواد تک بعدی هستند، که به دلیل خواص الکترونیکی و الکترومغناطیسی غیر معمول همانند دو قطبی‌های انتقالی هم محور، جذب بالای مقاطع عرضی و بازده کوانتمومی بالا، به عنوان مواد نانو آنتن مورد استفاده قرار گرفته‌اند. هدایت الکتریکی بسیار بالا در نزدیکی حدود کوانتمومی، تلفات مقاومتی در آنتن به حداقل رسانده، همچنین ساختار تقریباً بدون نقص CNT‌ها همنجر به کاهش قابل توجه اتلاف توان گردیده است [۵۱-۵۳]. مطابق شکل ۲b، حرکت الکترون در CNT‌ها ناشی از انتقال بالستیک از طریق نانولوله‌ها است و خواص الکتریکی نانوتیوب‌های کربن می‌توانند به دو صورت هادی و نیمه هادی باشد، که نانو تیوب‌های هادی فاقد انرژی باند گپ و نیمه هادی‌ها متناسب با تابش مادون قرمز دارا انرژی بند پگی در حدود بیش از ۱/۵ الکترون ولت هستند [۵۴-۵۵]. بطور مثال، اگر پهنای تابش مادون قرمز و طیف جذبی در نانولوله‌ها در محدوده ۱۵/۰ الکترون ولت باشد، انتظار می‌رود که تقریباً ۱۰ کانال فرکانسی متفاوت ایجاد شود. علاوه بر این، نور ساطع شده قطبیده شده و جذب نوری وابسته به قطبیده شدن است، که شدت قطبیدگی در امتداد محور نانولوله بیشتر است، و این امر باعث دو برابر شدن تعداد کانال‌های ارتباطی موجود با استفاده از نانولوله‌های موازی و عمودی می‌شود. نانو آنتن‌های مبتنی بر CNT قادر به موثر بودن جریان انرژی با توجه به شدت و جهت آن از طریق کنترل مناسب طول و خواص نانوتیوب‌ها، گزینه‌ای مناسب برای مواد مورد استفاده در سیستم‌های مخابراتی ۵G هستند، همچنین از آنجاییکه الکترون‌ها در CNT‌ها از طریق پیوند π اتم‌های کربن هدایت می‌شوند، که در ورقه‌های گرافیت نازک نیز اتفاق می‌افتد، در فرکانس‌های عملیاتی بالا در محدوده تراهertz دارای کارایی قابل توجهی هستند [۵۶-۵۸].

بنابراین پایین بودن اتلاف توان نانو آنتن‌های مبتنی بر CNT منجر به بازدهی بالای آنها نسبت به آنتن‌های پایه فلزی با اندازه مشابه می‌گردد و هنگامی که چندین میکرو آمپر جریان را تحت ولتاژ اعمالی حمل می‌کند، حداکثر چند میکرو وات توان را به محیط اطراف خود منتشر می‌کند، که جهت افزایش محدوده ارتباطی مورد نیاز، امکان تقویت توان انتقال با استفاده از تعداد نانولوله به صورت موازی وجود دارد. اما باستی توجه داشت امپدانس بسیار بزرگ نانو تیوب‌های کربن در حدود $10\text{ k}\Omega / \mu\text{m}$ منجر به مشکلات عدم انتلاق نانو آنتن‌ها با خطوط معمولی انتقال داده‌ها که دارای امپدانسی در محدوده $50\text{ }\Omega / \mu\text{m}$ است، می‌گردد. علاوه بر خواص ذکر شده، رسانایی گرمایی بالا نانو آنتن‌های مبتنی بر گرافن ($5,000\text{ W/(m K)}$) و مبتنی بر CNT ($2,000\text{ W/(m K)}$)، همراه با ساختار ویژه آنها همانند مساحت سطحی بالا منجر به افزایش سرعت کاهش دما نانو آنتن‌ها و قابلیت کاربرد آنها در دماهای بالا گردیده است [۵۹-۶۱]. همچنین افزایش بیش از حد دما منجر به اکسید شدن نانوتیوب‌های کربن و گرافن گردیده، که اکسید گرافن نیز به دلیل جذب ماکروویو خوب در نانو آنتن‌ها مورد استفاده قرار گیرد [۶۱]. نانو تیوب‌های

کربن در دمای حدود ۷۰۰ درجه کلوین اکسید می‌شوند و بطور قابل توجهی خواص الکترومغناطیسی را تحت تاثیر قرار می‌دهند. برای افزایش بازده هدایت حرارتی نانو آنتن‌های حاوی CNT ها از کامپوزیت آنها با ترکیبات سرامیکی همانند اکسید سیلیسیوم استفاده کرده، بطوریکه کامپوزیت CNT ۱۰ % SiO_2 - دارای پایداری حرارتی از ۴۰۰ تا ۸۰۰ درجه کلوین هستند. بنابراین ترکیبات سرامیکی با درصدهای مختلف گرافن و CNT ها می‌توانند منجر به تولید نانو آنتن‌ها با خواص ویژه‌ای گردند. علاوه بر آن می‌توان با کمک رسوب دادن نانوذرات مانند CdS بر روی سطح CNT ها اثر دماهای بالا بر مقدار گذرهایی را کاهش داد [۶۱-۶۲].

۴-۲-نano مواد فلزی

اگرچه موجبرهای فلزی معمولاً تلفات و تداخل سیگنال کمی دارد، اما خیلی سخت است که ساختار آنها کوچک و یکپارچه گردد. تحقیقات مختلف بیانگر کاربرد نانو مواد فلزی در ساخت نانو آنتن‌های شبکه 5G است. به عنوان مثال، نانوساختارهای نانوذرات فلزی از رزونانس‌های پلاسمون سطحی^۱ (SPRs)، که شامل نوسان چگالی بار است، حمایت کرده، و منجر به ایجاد میدان‌های الکترومغناطیسی موضعی در فصل مشترک بین فلز و دی‌الکتریک می‌گردد. رزونانس‌های پلاسمون سطحی موضعی همراه با نوسانات الکترون‌های آزاد تجمیع شده، می‌توانند میدان بزرگی را در یک حجم بسیار کوچک ایجاد کنند [۶۳-۱۴۳]. در واقع ویژگی کلیدی نانوذرات فلزی، فرکانس پلاسمون‌های سطحی موضعی است که به اندازه، شکل و ترکیب نانوذرات و همچنین حساسیت به محیط دی‌الکتریک وابسته است [۱۴۵-۱۴۷]. مطابق شکل ۲c، نانو آنتن‌های مبتنی بر نانومواد فلزی دارای ویژگی‌های جذاب بسیاری همانند افزایش جهت گیری^۲، کنترل قطبش^۳، بهبود شدت^۴، افزایش نرخ تاخیر^۵ و شکل‌دهی طیفی^۶ می‌باشد [۱۵۰-۱۵۲]. با این حال علاوه بر ویژگی ذاتی نانو مواد فلزی و اندازه و شکل نانو ذرات فلزی، طول موج رزونانس و شدت میدان‌های موضعی در نانوآنتن‌های فلزی وابسته به هندسه ساختاری و ضریب شکست محیط اطراف نیز می‌باشد [۶۵-۶۷].

علاوه بر ترکیبات سرامیکی، گرافن، نانوتیوب‌های کربن و ناذرات فلزی، دسته‌ای دیگری از مواد به نام فراموادها^۷، به دلیل خواص الکترومغناطیسی منحصر به فرد به عنوان موادی برای افزایش عملکرد نانوآنتن‌ها مورد استفاده قرار گرفته‌اند. فرا موادها دارای ساختاری مصنوعی هستند که از مجموعه‌های عناصر متعدد از مواد کامپوزیتی همانند فلزات و پلاستیک ساخته شده‌اند و برای فراهم کردن خواص الکترومغناطیسی که به راحتی در طبیعت در دسترس نیست، مهندسی شده‌اند. به عنوان مثال، فرامواد می‌توانند ضریب گذرهای منفی و نفوذپذیری منفی در فرکانس یکسان داشته باشند. همچنین موج الکترومغناطیسی را می‌توان در جهت مخالف با انتشار موج در مواد فرامواد شکست داد [۱۵۵]. فرامواد را می‌توان به انواع مختلفی از جمله فرامواد منفی الکتریکی، فرامواد منفی مغناطیسی و فرامواد منفی دوتایی براساس گذرهای الکتریکی و تراوایی ایجاد شده توسط ساختارهای مختلف طبقه‌بندی کرد. در شکل ۳ ساختار فرامواد با خواص الکترومغناطیسی مختلف برای آرایه آنتن نشان داده شده، که فرامواد منفی الکتریکی^۸ می‌توانند از سیم‌های نازک فلزی برای به دست آوردن مقادیر منفی گذرهای استفاده کنند. سیم‌های فلزی موازی، رفتار عبور بالا را برای یک موج صفحه‌ای ورودی نشان می‌دهند و میدان الکتریکی آنها موازی با سیم‌ها است. همچنین فرامواد منفی مغناطیسی^۹ با مقدار تراوایی منفی می‌توانند ساختاری از تشیدیدگر حلقه مجزا داشته باشند که از دو حلقه فلزی هم مرکز تشکیل شده‌است و توسط یک شکاف از هم جدا شده‌اند. فرامواد منفی دو گانه^{۱۰} دارای ضریب شکست منفی بوده و ساختار آن‌ها ترکیبی از ساختارهای مبتنی بر سیم نازک با ساختارهای مبتنی بر تشیدیدگر حلقه‌ای است [۶۸-۶۹].

قابلیت تنظیم ویژگی‌های الکترومغناطیسی فرامواد با تغییر شکل، اندازه و جهت آرایش تشیدیدگر کننده‌های مخصوص یا با دستکاری

¹ Surface plasmon resonances

² Directivity gain

³ Polarization control

⁴ Intensity enhancements

⁵ Decay rate enhancement

⁶ Spectral shaping

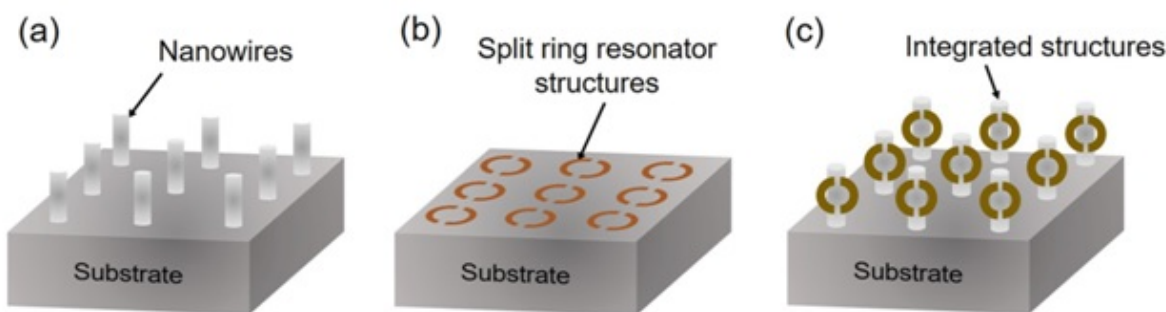
⁷ Metamaterials

⁸ Electric negative metamaterials

⁹ Magnetic negative metamaterials

¹⁰ Double-negative metamaterials

فعل و انفعالات میدان نزدیک بین آن‌ها به دست می‌آید. استفاده از فرامواد در طراحی آنتن نه تنها به طور چشمگیری اندازه آنتن را کاهش می‌دهد، بلکه می‌تواند عملکرد نانوآنتن‌ها همانند افزایش پهنای باند، افزایش بهره و ایجاد فرکانس‌های چند باندی در عملکرد آنتن‌ها را بهبود بخشد. بطور کلی نانوآنتن‌های فرامواد با طراحی و ساخت ساختارهای مصنوعی و ترکیبی از سرامیک‌ها، گرافن، CNT‌ها و نانو مواد فلزی می‌توانند بر کارایی محدود کننده و محدودیت پهنای باند برای نانوآنتن‌ها غلبه کنند [۷۰-۷۱].



شکل ۳- آرایه آنتن ساخته شده از فرامواد با ساختارهای مختلف و خواص الکترومغناطیسی مختلف، (a) نانوسیم‌های فرامواد دارای مقدار گذردهی منفی و مقدار تراوایی مثبت، (b) ساختاری از تشیدیگر حلقه‌ای جدا شده، متشكل از دو حلقه فلزی هم مرکز که با یک شکاف از هم جدا شده‌اند و دارای مقدار گذردهی مثبت و مقدار نفوذپذیری منفی هستند، (c) نانوآنتن‌ها دارای یک ساختار یکپارچه از نانوسیم و تشیدی کننده حلقه با مقدار گذردهی منفی و مقدار تراوایی منفی هستند [۱۸].

در جدول ۲ خواص الکتریکی، مکانیکی و گرمایی گرافن، CNT‌ها و مس بطور خلاصه ذکر شده است. مطابق جدول‌های ۱ و ۲، بطور کلی نانو مواد حاوی شیشه- سرامیک‌ها، گرافن، CNT‌ها، نانومواد فلزی و فرامواد می‌توانند برای امواج میلی‌متری و حتی فرکانس باند تراهertz استفاده شوند و خواص الکترومغناطیسی، یعنی گذردهی و نفوذپذیری آنها قابل تنظیم بوده و به شدت به ساختار آنها وابسته است که متناسب با شرایط کاربردی و محیطی می‌تواند خواص پراکنشی بهتری^۱ برای ارتباط سیستم‌های 5G ایجاد کرد. بازده خواص پراکنشی نشان‌دهنده کارایی آنتن‌ها در انجام تبدیل از سیگنال‌های الکتریکی به امواج الکترومغناطیسی و تمرکز تابش است.

جدول ۲- خواص الکتریکی، حرارتی و مکانیکی گرافن، CNT‌ها و نانو ذرات مس [۱۸].

هدایت الکتریکی	ضریب انتقال الکترون در دمای اتاق	شدت جریان	ضریب هدایت حرارتی	مدول یانگ
(S/m)	(cm ² V ⁻¹ s ⁻¹)	(A cm ⁻¹)	(W m ⁻¹ K ⁻¹)	(GPa)
گرافن	108	2 × 105	109	5,000
CNT	106–107	8 × 104	109	3,000
مس	5.96 × 10 ⁷	32	106	400
				130

با توجه به خواص سرامیک‌ها، گرافن، CNT‌ها و نانوذرات فلزی و همچنین ویژگی اصلی ارتباطات بی‌سیم 5G همانند نرخ انتقال بالای داده، تاخیر انتقال بسیار پایین، و اتصال گسترده که می‌تواند همراه با بکارگیری امواج تراهertz باشد. لزوم طراحی و پیشنهاد مواد با ساختار و ترکیب مناسب در طراحی و ساخت تجهیزات سیستم‌های ارتباطی 5G و 6G از اهمیت بسزایی برخوردار است، لذا همانطور که در کارهای تحقیقاتی می‌توان مشاهده کرد، که با توجه به محدودیت اندازه به چند نانومتر در ساخت مواد، استفاده مستقیم از روش‌های تجربی برای طراحی مواد و عناصر مجتمع شده با نانوازارها دشوار، پر هزینه و زمان بر است، بنابراین شبیه‌سازی‌های MD را می‌توان برای طراحی نانوازارها با خواص پیش‌بینی شده اتخاذ کرد و رابطه بین نانوساختار و خواص عناصر منفرد را می‌توان مشخص کرد، بطور مثال می‌توان با بکار بردن ترکیب و ساختار مطلوبی از نانوکامپوزیت‌های

¹ High radiation efficiency

جزبی دمای بالا در نانوآتن‌ها برای کاهش مصرف انرژی استفاده نمود، به عنوان مثال، CNT‌ها و گرافن می‌توانند با سرامیک‌هایی همانند SiC و SiO_2 به دلیل استحکام بالا، اکسیداسیون کمتر، پایداری حرارتی بالا و رسانایی حرارتی در دماهای بالاتر ترکیب شوند و یا اینکه نانوذرات فلزی و سرامیکی را بر روی سطح CNT‌ها و گرافن رسوب داده و سپس رابطه بین خواص الکترومغناطیسی و ترکیب و ساختار نانوکامپوزیت‌ها برای افزایش بازده سیستم‌های ارتباطی 5G و 6G بینه گردد [۷۲-۷۳].

۳- نتیجه‌گیری

با توجه به افزایش نیازهایی همانند فعال بودن سیستم‌های ارتباطی سریع در تمام مکان‌ها، قابلیت اطمینان بسیار بالا و تاخیر بسیار پایین انتقال داده‌ها، تقاضای بسیار زیادی جهت گسترش فناوری‌های 5G و بعد از آن 6G است، اما یکی از مهمترین پارامترها در طراحی و ساخت تجهیزات مناسب سیستم‌های ارتباطی همانند آتن‌های، نوع مواد همانند کامپوزیت‌ها، سرامیک‌ها، گرافن، CNT‌ها و مواد فلزی با ساختار نانو بوسیله نانو تکنولوژی است. بنابراین به دلیل محدودیت‌های فن‌آوری و هزینه مواد آن و فناوری 5G در مراحل ابتدایی و منتظر کاهش هزینه نانوتکنولوژی و نانومواد می‌باشد. بالا بودن سرعت انتقال داده‌ها، افزایش تعداد نقل و انتقال داده‌ها و شدت افزایش امواج الکترومغناطیس منجر به افزایش قابل توجه دما در سیستم‌ها و تجهیزات فناوری‌های پیشرفته 5G گردیده که در نهایت بر روی کارایی و بازده آنها موثر است، لذا استفاده از ترکیبات سرامیکی که دارای پایداری حرارتی همراه با هدایت حرارتی و الکتریکی مناسب هستند در ساختن کامپوزیت‌های پایه گرافن یا CNT‌ها می‌تواند منجر به افزایش عملکرد و بازده سیستم‌های 5G و در ادامه 6G که شامل بکارگیری امواج تراهertz است، گردد.

مراجع

- [1] Li Q, Niu H, Papathanassiou A, Wu G. 5G network capacity: key elements and technologies. *IEEE Veh Technol Mag*. 2014;9:71–8.
- [2] Hossain S. 5G wireless communication systems. *Am J Eng Res*. 2013;2:344–53.
- [3] Simko M, Mattsson MO. 5G wireless communication and health effects apragmatic review based on available studies regarding 6–100 GHz. *Int J Environ Res Public Health*. 2019;16:3406.
- [4] Andrews JG, Buzzi S, Choi W, Hanly SV, Lozano A, Soong ACK, et al. What will 5G be? *IEEE J Select Areas Commun*. 2014;32:1065–82.
- [5] Patil GR, Wankhade PS. 5G wireless technology. *Int J Comput Sci Mobile Comput*. 2014;3:203–7.
- [6] Al-Nuaimi E, Al-Neyadi H, Mohamed N, Al-Jaroodi J. Applications of big data to smart cities. *J Internet Serv Appl*. 2015;6:1–15.
- [7] Osseiran A, Boccardi F, Braun V, Kusume K, Marsch P, Maternia M, et al. Scenarios for 5G mobile and wireless communications—the vision of the METIS project. *IEEE Commun Mag*. 2014;52:26–35.
- [8] Papagiannakis G, Singh G, Thalmann NM. A survey of mobile and wireless technologies for augmented reality systems. *Comput Animat Virt W*. 2008;19:3–22.
- [9] Demestichas P, Georgakopoulos A, Karvounas D, Tsagkaris K, Stavroulaki V, Lu J, et al. 5G on the horizon: key challenges for the radio-access network. *IEEE Veh Technol Mag*. 2013;8:47–53.
- [10] Yaqoob I, Hashem IT, Gani A, Mokhtar S, Ahmed E, Anuar NB, et al. Big data: from beginning to future. *Int J Inf Manage*. 2016;36:1231–47.
- [11] Atakan B, Galmes S, Akan OB. Nanoscale communication with molecular arrays in nanonetworks. *IEEE T NanoBiosci*. 2012;11:149–60.
- [12] Chavez-Santiago R, Szydelko M, Kliks A, Foukalas F, Haddad Y, NolanKE, et al. 5G: the convergence of wireless communications. *Wirel Pers Commun*. 2015;83:1617–42.
- [13] Chen M, Zhang Y, Hu L, Taleb T, Sheng Z. Cloud-based wireless network: Virtualized, reconfigurable, smart wireless network to enable 5G technologies. *Mobile Netw Appl*. 2015;20:704–12.
- [14] Panwar N, Sharma S, Singh AK. A survey on 5G: the next generation of mobile communication. *Phys Commun*. 2016;18:64–84.
- [15] Kanerva M, Lassila M, Gustafsson R, O'Shea G, AarikkaStenroos L, Hemila J. Emerging 5G technologies affecting markets of composite materials. Vantaa, Finland: Exel Composites; 2018.
- [16] Hu F. Opportunities in 5G networks: research and development perspectivea. USA: CRC Press Florida; 2016.
- [17] Hui H, Ding Y, Shi Q, Li F, Song Y, Yan J. 5G network-based Internet of Things for demand respo nse in smart grid: A survey on application potential, *Appl. Energy*. 2020; 257: 113972.
- [18] Hao H, Hui D, Lau D. Material advancement in technological development for the 5G wireless communications, *Nanotechnol. Rev*. 2020; 9: 683–699.
- [19] Patil S, Patil V, Bhat P. A review on 5G technology. *Int J Eng Innov Tech*. 2012;1:26–30.

- [20] Jamthe DV, Bhande SA. Nanotechnology in 5G wireless communication network—an approach. *Int Res J Eng Tech.* 2017;4:58–61.
- [21] Rojas JP, Singh D, Inayat SB, Sevilla GT, Fahad HM, Hussain MM. Review—micro and nano-engineering enabled new generation of thermoelectric generator devices and applications. *ECS J Solid State Sci Technol.* 2017;6:3036–44.
- [22] Green M, Chen X. Recent progress of nanomaterials for microwave absorption. *J Materomics.* 2019;5:503–41.
- [23] Park S-E, Ryoo R, Ahn W-S, Lee CW, Chang J-S. Nanotechnology in mesostructured materials: Proceedings of the 3 international materials symposium. Elsevier, Amsterdam, Netherlands: Academic Press; 2003.
- [24] Shpak AP, Gorbyk PP. Nanomaterials and supramolecular structures: Physics, chemistry, and applications. Berlin, Germany: Springer; 2010.
- [25] Sudo K, Onaka K, Hirose K, Hasegawa Y, Komura R, Yamada Y, Hiratsuka T, Koshino M, Hayafuji H. 28 GHz antenna-array-integrated module with built-in filters in LTCC substrate. *IEEE Asia-Pacific Microwave Conference.* 2019. 1041-1043.
- [26] Devlin L, Person G, Pittock J, RF and microwave component development in LTCC, IMPAS Nordic 38th annual conference, 2001, 96-110.
- [27] Guo G, Wu LS, Zhang YP, Mao JF, Stacked patch array in LTCC for 28 GHz antenna-in-package applications, *IEEE Electrical Design of Advanced Packaging and Systems Symposium.* 2017, 1-3.
- [28] Outerelo DA, Alejos AV, Sanchez MG, Isasa MV, Microstrip antenna for 5G broadband communication: overview of design issues, *IEEE international symposium on antennas and propagation & USNC/URSI national radio science meeting.* 2015, 2443-2444.
- [29] Baras T, Jacob AF, Manufacturing reliability of LTCC millimeter-wave passive components, *IEEE Transactions on Microwave Theory and Techniques.* 2008; 56: 2574-2581.
- [30] Joseph N, Varghese J, Teirikangas M, Vahera T, Jantunen H, Ultra-low-temperature cofired ceramic substrates with low residual carbon for next-generation microwave applications, *ACS Applied Materials & Interfaces.* 2019; 11: 23798-23807.
- [31] Lamminen AEI, Saily J, Vimpari AR, 60-GHz patch antennas and arrays on LTCC with embedded-cavity substrates, *IEEE Transactions on Antennas and Propagation.* 2008; 56: 2865-2874.
- [32] Feng KC, Chen PY, Tu CS, Chen CS, Chien RR, Chiang CC, Chang WS, Ag diffusion inhibition and enhanced flexural strength in low temperature co-fired CaO-Al₂O₃-B₂O₃-SiO₂ glasses, *Journal of Alloys and Compounds* 782 (2019) 1094-1102.
- [33] Navias L, Green RL, Dielectric properties of glasses at ultrahigh frequencies and their relation to composition, *Journal of the American Ceramic Society,* 29 (1946) 267-276.
- [34] Wang SH, Zhou HP, Densification and dielectric properties of CaO-B₂O₃-SiO₂ system glass ceramic, *Materials Science and Engineering B* 99 (2003) 597-600.
- [35] H. Zhu, H. Zhou, M. Liu, P. Wei, G. Ning, Low temperature sintering and properties of CaO-B₂O₃-SiO₂ system glass ceramics for LTCC applications, *Journal of Alloys and Compounds* 482 (2009) 272-275.
- [36] F. Wang, W. Zhang, X. Chen, H. Mao, Z. Liu, S. Bai, Low temperature sintering and characterization of La₂O₃-B₂O₃-CaO glass-ceramic/LaBO₃ composites for LTCC application, *Journal of the European Ceramic Society.* 2020, 40: 2382-2389.
- [37] R. Müller, R. Meszaros, B. Peplinski, S. Reinsch, M. Eberstein, W.A. Schiller, J. Deubener, Dissolution of alumina, sintering, and crystallization in glass ceramic composites for LTCC, *Journal of the American Ceramic Society* 92 (2009) 1703-1708.
- [38] B.K. Choi, E.S. Kim, Microwave dielectric properties of cordierite-diopside glass-ceramics, *Journal of Electroceramics* 33 (2014) 89-95.
- [39] Feng KC, Chou CC, Chu LW, Chen H, Zirconia nucleating agent on microstructural and electrical properties of a CaMgSi₂O₆ diopside glass-ceramic for microwave dielectrics, *Materials Research Bulletin.* 2012; 47: 2851-2855.
- [40] C.C. Chou, K.C. Feng, I.P. Raevski, H. Chen, C.Y. Tsao, P.Y. Chen, C.S. Chen, C.A. Lu, C.S. Tu, Part I: Effects of two-stage heat treatment on densification, microstructural features and dielectric properties of CaO-MgO-SiO₂ glass-ceramics with ZrO₂ nucleating agents, *Materials Research Bulletin.* 2017; 96: 66-70.
- [41] Behdinan K, Moradi-Dastjerdi R, Safaei B, Qin Z, Chu F, Hui D. Graphene and CNT impact on heat transfer response of nanocomposite cylinders. *Nanotechnol Rev.* 2020;9:41–52.
- [42] Jin R. Nanoscience and nanotechnology: where are we heading? *Nanotechnol Rev.* 2013;2:3–4.
- [43] Wang G, Chen Q, Gao M, Yang B, Hui D. Generalized locallyexact homogenization theory for evaluation of electric conductivity and resistance of multiphase materials. *Nanotechnol Rev.* 2020;9:1–16.
- [44] Lau KT, Hui D. The revolutionary creation of new advanced materials—carbon nanotube composites. *Compos Part B Eng.* 2002;33:263–77.
- [45] Dragoman M, Muller AA, Dragoman D, Coccetti F, Plana R. Terahertz antenna based on graphene. *J Appl Phys.* 2010;107:104313.
- [46] Chen P-Y, Argyropoulos C, Alu A. Terahertz antenna phase shifters using integrally-gated grapheme transmission-lines. *IEEE T Antenn Propag.* 2013;61:1528–37.
- [47] Ullah Z, Witjaksono G, Nawi I, Tansu N, Irfan KM, Junaid M. A review on the development of tunable grapheme nanoantennas for terahertz optoelectronic and plasmonic applications. *Sensors.* 2020;20(5):1401.

- [48] Carrasco E, Perruisseau-Carrier J. Reflectarray antenna at terahertz using graphene. *IEEE Antenn Wirel Propag Lett.* 2013;12:253–6.
- [49] Anand S, Sriram KD, Wu RJ, Chavali M. Graphene nanoribbon based terahertz antenna on polyimide substrate. *Optik.* 2014;125:5546–9.
- [50] Jornet JM, Akyildiz IF. Graphene-based nano-antennas for electromagnetic nanocommunications in the terahertz band, Proceedings of the Fourth European Conference on Antennas and Propagation, Barcelona, Spain, 2010. p. 1–5.
- [51] Han JH, Paulus GL, Maruyama R, Heller DA, Kim WJ, Barone PW, et al. Exciton antennas and concentrators from core-shell and corrugated carbon nanotube filaments of homogeneous composition. *Nat Mater.* 2010;9:833–9.
- [52] Rutherford C, Burke P. Carbon nanotube radio. *Nano Lett.* 2007;7:3296–99.
- [53] LanY, ZengB, ZhangH, ChenB, YangZ. Simulation of carbon nanotube THz antenna arrays. *Int J Infrared Millim Waves.* 2007;27:871–7.
- [54] Demoustier S, Minoux E, Le Baillif M, Charles M, Ziae A. Review of two microwave applications of carbon nanotubes: nano-antennas and nano-switches. *C R Phys.* 2008;9: 53–66.
- [55] Fung CK, Xi N, Shanker B, Lai KW. Nanoresonant signal boosters for carbon nanotube based infrared detectors. *Nanotechnology.* 2009;20:185201.
- [56] Lin X, Han Q, Huang J. Effect of defects on the motion of carbon nanotube thermal actuator. *Nanotechnol Rev.* 2019;8:79–89.
- [57] Huang Y, Yin W-Y, Liu Q. Performance prediction of carbon nanotube bundle dipole antennas. *IEEE Trans Nanotechnol.* 2008;7:331–7.
- [58] Lee S, Choo M, Jung S, Hong W. Optically transparent nanopatterned antennas: a review and future directions. *Appl Sci.* 2018;8:901.
- [59] Lee H, Shaker G, Naishadham K, Song X, McKinley M, Wagner B, et al. Carbon-nanotube loaded antenna-based ammonia gas sensor. *IEEE Trans Microw Theory Technol.* 2011;59:2665–73.
- [60] Han Z, Fina A. Thermal conductivity of carbon nanotubes and their polymer nanocomposites: a review. *Prog Polym Sci.* 2011;36(7):914–44.
- [61] Kuruvilla J, Runcy W, Gejo G. Materials for potential EMI shielding applications: processing, properties and current trends. Amsterdam, Netherlands: Elsevier; 2019.
- [62] Lu M, Wang X, Cao W, Yuan J, Cao M. Carbon nanotube-CdS core-shell nanowires with tunable and high-efficiency microwave absorption at elevated temperature. *Nanotechnology.* 2016;27:065702.
- [63] Kang J-H, Kim D-S, Seo M. Terahertz wave interaction with metallic nanostructures. *Nanophotonics.* 2018; 7:763–93.
- [64] Deroose CT, Kekatpure RD, Trotter DC, Starbuck A, Wendt JR, Yaacobi A, et al. Electronically controlled optical beamsteering by an active phasedarray of metallic nanoantennas. *Opt Mater Express.* 2013; 21:5198–208.
- [65] Liu N, Tang ML, Hentschel M, Giessen H, Alivisatos AP. Nanoantenna-enhanced gas sensing in a single tailored nanofocus. *Nat Mater.* 2011;10:631–6.
- [66] Hsiao Y-C, Su C-W, Yang Z-H, Cheypesh YI, Yang J-H, Reshetnyak VY, et al. Electrically active nanoantenna array enabled by varying the molecular orientation of an interfaced liquid crystal. *RSC Adv.* 2016;6:84500–4.
- [67] Gómez-Medina R, Yamamoto N, Nakano M, de García DAFJ. Mapping plasmons in nanoantennas via cathodoluminescence. *New J Phys.* 2008;10:105009.
- [68] Chen H-T, Padilla WJ, Zide JMO, Gossard AC, Taylor AJ, Averitt RD. Active terahertz metamaterial devices. *Nature.* 2006;444:597–600.
- [69] Jeong MJ, Hussain N, Park JW, Park SG, Rhee SY, Kim N. Millimeter-wave microstrip patch antenna using vertically coupled split ring metaplate for gain enhancement. *Microw Opt Technol Lett.* 2019;61:2360–5.
- [70] Zheludev NI, Kivshar YS. From metamaterials to metadevices. *Nat Mater.* 2012;11:917–24.
- [71] Gao XJ, Oguz O. Enhancement of gain and directivity for microstrip antenna using negative permeability metamaterial. *IJCSM.* 2016;45:880–5.
- [72] Hong Q, Luo J, Wen C, Zhang J, Zhu Z, Qin S, et al. Hybrid metal graphene plasmonic sensor for multi-spectral sensing in both near- and mid-infrared ranges. *Opt Express.* 2019;27:35914–24.
- [73] Chandel VS, Wang GN, Talha M. Advances in modelling and analysis of nano structures: a review. *Nanotechnol Rev.* 2020;9:230–58.

ساخت پوشش‌های مزوسیلیس به روش خودآرایی القاشده با تبخیر؛ مرواری بر ساز و کار، عوامل مؤثر و قابلیت‌ها

فاطمه حسن آقائی، محمد مسعود محبی*

گروه مهندسی و علم مواد، دانشکده فنی و مهندسی، دانشگاه بین المللی امام خمینی (ره)، قزوین

چکیده: لایه‌های نازک مزوسیلیس دارای اهمیت و کاربرد زیادی در حوزه‌های مختلف هستند. کنترل شکل، اندازه و میزان تخلخل‌های پوشش‌ها، نقش مهمی در عملکرد این پوشش در کاربردهای مختلف ایفا می‌کند. به‌منظور دستیابی به ویژگی‌های موردنظر، به کارگیری روش‌های مناسب اهمیت بسیاری دارد. در میان روش‌های مختلفی که برای ساخت پوشش‌های مزوسیلیس مورد استفاده قرار می‌گیرند، پرکاربردترین روش، روش خودآرایی القاشده با تبخیر است. امکان به کارگیری انواع عوامل فعال سطحی برای ایجاد تخلخل، ساخت انواع پوشش با ویژگی‌های مختلف، قابلیت اعمال پوشش بر انواع زیرلایه با شکل و جنس‌های گوناگون (فلزی، سرامیکی و پلیمری) از جمله مزایای این روش هستند. مهم‌ترین بخش روش خودآرایی القاشده با تبخیر، آماده‌سازی محلول است و برای این کار نیاز است و آکتش‌های صورت گرفته، مراحل آن و نقش هر یک از اجزا به خوبی شناخته شود. در این مقاله مرواری به روش خودآرایی القاشده با تبخیر برای ساخت پوشش‌های مزوسیلیس، عوامل مؤثر بر آن و مهم‌ترین قابلیت‌های این روش پرداخته می‌شود.

کلمات کلیدی: مزوسیلیس، پوشش، تخلخل، خودآرایی

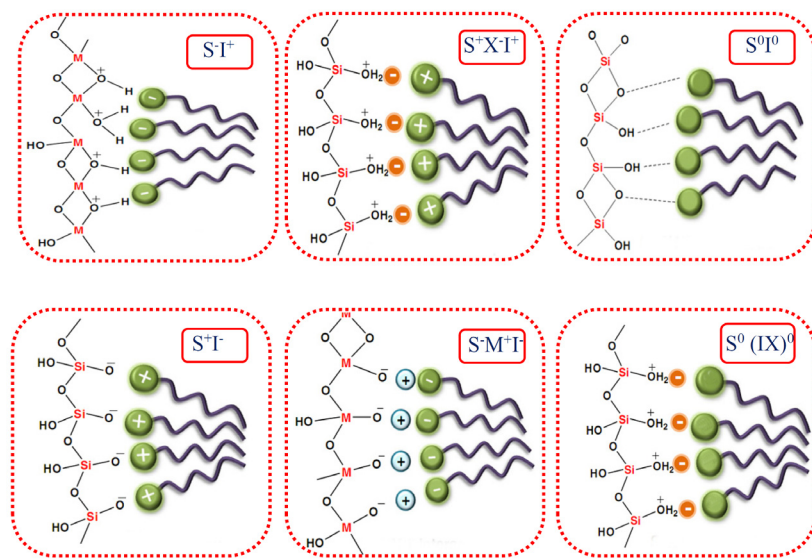
۱- مقدمه

در میان اشکال مختلف مزوسیلیس که شامل نانو ذرات، پوشش‌ها و لایه‌های نازک، قطعات یکپارچه و ساختارهای هسته-پوسته هستند، لایه‌های نازک مزوسیلیس دارای اهمیت و کاربرد زیادی در حوزه‌های مختلف می‌باشند [۱]. کنترل شکل، اندازه و میزان تخلخل‌های پوشش‌های ساخته شده، نقش مهمی در عملکرد این پوشش‌ها در کاربردهای مختلف ایفا می‌کند [۲]. به عنوان مثال این پوشش‌ها با دارا بودن توزیع باریکی از اندازه‌ی تخلخل‌ها و قابلیت کنترل دقیق شکل آن‌ها، گزینه مناسبی برای استفاده به عنوان بستر کنشیارها و حسگرهای شیمیایی نظیر Hg^{2+} هستند [۳]. ویژگی قابل کنترل دیگر این پوشش‌ها، میزان تخلخل‌های آن‌هاست؛ به طوری که وجود تخلخل‌های زیاد آن‌ها باعث کاربرد این پوشش‌ها به عنوان یک پوشش با ضریب دیالکتریک کم در مدارهای مجتمع شده است [۴]. هم‌چنین پایداری حرارتی و سازگاری ترکیب آن با زیرلایه سیلیکونی، از ویژگی‌های مناسب دیگر این پوشش در این کاربرد است [۵]. این پوشش‌ها با دارا بودن ویژگی‌هایی مانند قابلیت جذب و بارگیری مقادیر نسبتاً زیادی از مولکول‌های زیست‌فعال [۶] و قابلیت غربال مولکولی در پژوهشی نیز کاربرد فراوانی پیدا کرده‌اند که اصلی‌ترین کاربرد آن‌ها در سامانه‌های رهایش آهسته دارو است [۷]. به‌منظور دستیابی به ویژگی‌های موردنظر، استفاده از یک روش ساخت مناسب اهمیت بسیاری دارد. با وجود اینکه روش‌های مختلفی برای ساخت پوشش‌های مزوسیلیس وجود دارد، اما این روش‌ها دارای معایبی هستند [۸]. برخی از این روش‌ها زمان بر بوده و نیاز به اعمال شرایط خاصی دارند [۹]. علاوه بر این در برخی از روش‌ها، بخشی از محصول نهایی به صورت پودر بوده و این عامل کاربرد پوشش‌ها را مختل می‌کند [۱۰]. پرکاربردترین روش ساخت پوشش‌های مزومتخخل، روش خودآرایی القاشده با تبخیر (Evaporation Induced Self-Assembly)

است. از مزایای این روش می‌توان به امکان به کارگیری انواع عوامل فعال سطحی برای ایجاد تخلخل، ساخت انواع پوشش با ویژگی‌های متنوع [۱۱]، قابلیت اعمال پوشش بر انواع زیرلایه با شکل و جنس‌های گوناگون (فلزی، سرامیکی و پلیمری) و ساخت پوشش‌های عامل دارشده اشاره کرد [۱۲]. این مقاله روش ساده، سریع و پرکاربرد خودآرایی القاشه با تبخیر و قابلیت‌های مهم آن را توصیف می‌کند.

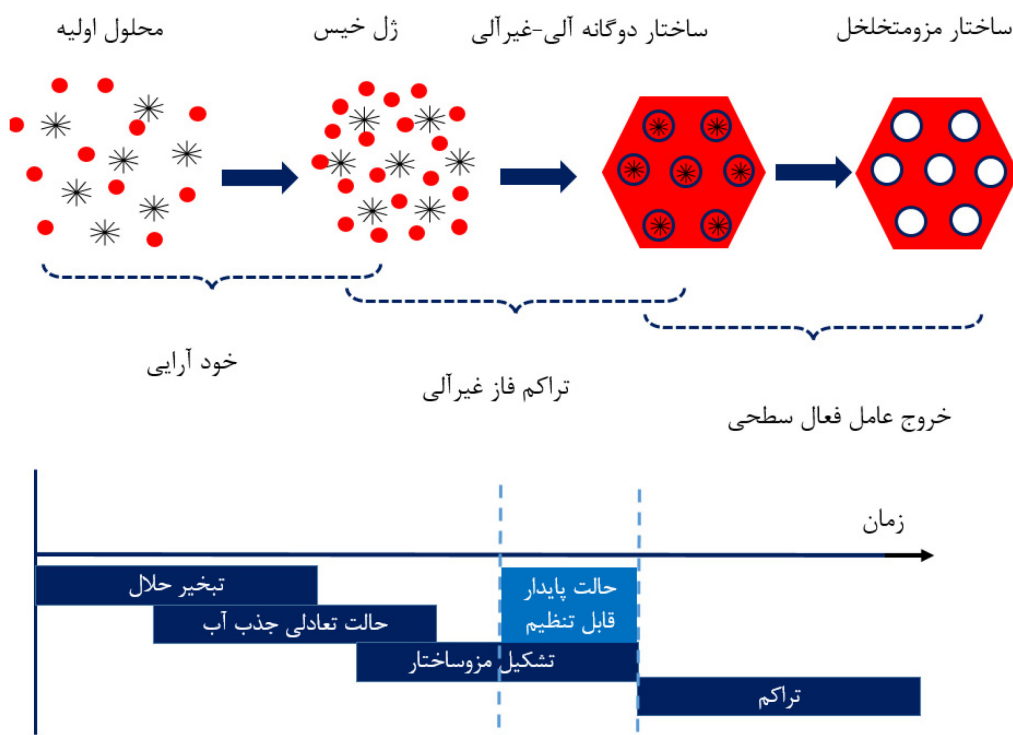
۲- معرفی روش خودآرایی القاشه با تبخیر

خودآرایی به معنای آرایش خود به خودی مواد به کمک برهم‌کنش‌های غیرکوالانت (مانند پیوند هیدروژنی، نیروی واندروالس، نیروی الکترواستاتیک و موارد دیگر) است [۱۳]. در روش خودآرایی القاشه با تبخیر، لایه‌های نازک مزوسیلیس به کمک خودآرایی پیش‌ماده سیلیس-عامل فعال سطحی تهیه می‌شوند. عوامل فعال سطحی، مولکول‌های آمفیفیلیک هستند. این بدين معنی است که این مولکول‌ها از دو بخش سر آب‌دوست و دم آب‌گریز تشکیل شده‌اند و به دلیل وجود این خاصیت، هنگامی که در محیط‌های آبی یا روغنی قرار می‌گیرند، جهت کاهش انرژی آزادشان در کنار هم تجمع یافته و ساختارهای منظمی به نام میسل را تشکیل می‌دهند [۱۴]. تشکیل میسل همراه با پدیده افزایش غلظت است؛ به طوری که پیش از اینکه غلظت مولکول‌های عامل فعال سطحی به غلظت بحرانی برسد، مولکول‌ها به صورت مجزا در محلول وجود دارند. با افزایش غلظت و رسیدن به غلظت بحرانی که در این روش در اثر تبخیر حلال اتفاق می‌افتد، میسل‌ها تشکیل می‌شوند. این میسل‌ها به عنوان یک شابلون ابر مولکول برای پیش‌ماده‌های معدنی عمل می‌کنند و به آن‌ها متصل می‌شوند [۱۵]. در این روش پوشش‌های مزوسیلیس در اثر تبخیر حلال در یک محلول ساخته می‌شوند. در این محلول هنگامی که حلال تبخیر می‌شود، عامل فعال سطحی به صورت کاملاً خود به خودی منظم شده و بین الیگومر سیلیکایی و میسل اتصال ایجاد می‌شود. تشکیل مزوساختارها بر پایه‌ی برهم‌کنش میان عامل فعال سطحی-پیش‌ماده غیرآلی است. در هنگام تشکیل میسل، سر آب‌دوست مولکول عامل فعال سطحی به سمت محیط آبی و دم آب‌گریز آن به سمت داخل میسل قرار می‌گیرد [۱۶]. بسته به نوع عامل فعال سطحی و pH محیط، شش نوع برهم‌کنش کلی میان عامل فعال سطحی (S) و پیش‌ماده غیرآلی (A) وجود دارد که توسط پیوندهای الکترواستاتیک یا هیدروژنی انجام می‌شود. این برهم‌کنش‌ها می‌توانند مستقیم باشند و یا در مواردی که بار الکتریکی عامل فعال سطحی و پیش‌ماده غیرآلی یکسان است، در حضور یون‌های واسطه (X یا M) انجام شوند (شکل ۱). مسیر S^+X^- در محیط اسیدی و در حضور آنیون‌های هالوژنی (X^- ; $X=Cl, Br$) صورت می‌گیرد و مسیر A^-M^+ نیز در محیط بازی و در حضور کاتیون‌های قلیاً تحقق می‌یابد. مسیرهای دیگری نیز با برهم‌کنش‌های مسیر خنثی برای مواد فعال سطحی غیر یونی پیشنهاد شده است که بیان کننده برهم‌کنش اصلی بین عامل فعال سطحی و جزء غیرآلی توسط پیوند هیدروژنی است و با نماد S^0A^0 و $S^0(X)^0$ نمایش داده می‌شوند [۱۷].



شکل ۱- انواع برهم‌کنش‌های میان میسل و پیش‌ماده سیلیکا [۱۷]

با تبخیر حلال و رسیدن به غلظت مشخص، میسل‌ها به شکل‌های کروی و میله‌ای درمی‌آیند و با کنار هم قرار گرفتن میسل‌ها، فاز بلور-مایع به وجود می‌آید [۱۸]. اتفاقات انجام‌شده در این روش بر مبنای تبخیر حلال به سه مرحله زمانی تقسیم‌بندی می‌شود. در مرحله نخست اتانول به سرعت تبخیر می‌شود. در بازه میانی، سرعت تبخیر اتانول کمتر می‌شود و آب شروع به جدا شدن از ساختار می‌کند. در انتهای نیز اتانول به صورت کامل تبخیر شده و آب جذب می‌شود. در نتیجه ساختار شروع به متراکم شدن می‌کند [۱۹]. عملیات حرارتی باعث متراکم شدن و پایداری ساختار شده و با خروج عامل فعال سطحی پوشش‌های مزوسیلیس شکل می‌گیرد. روندی از مراحل انجام‌شده در شکل (۲) دیده می‌شود.

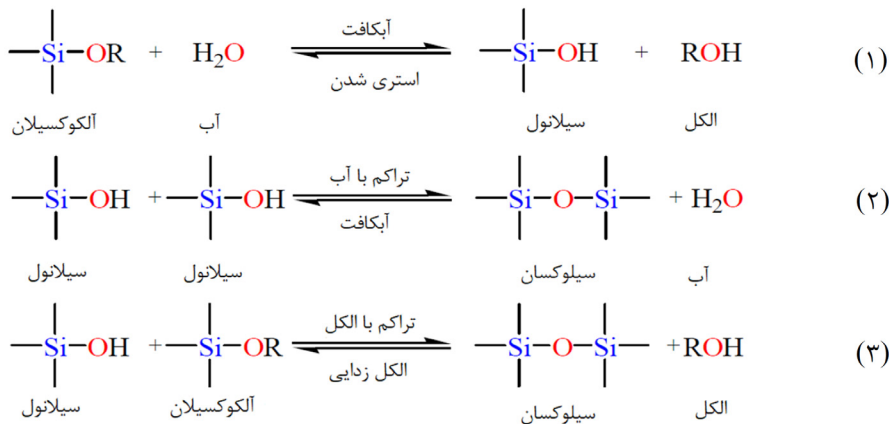


شکل ۲- مراحل روش خودآرایی القاشده با تبخیر [۱۹].

۱-۲-آماده‌سازی محلول

نخستین گام در این روش، تهیه یک محلول رقیق مواد اولیه است. به منظور افزایش میل ترکیبی سرآبدوست این مواد با پیش‌ماده سیلیکایی، بهتر است پیش‌ماده تحت واکنش آبکافت قرار گیرد. بنابراین روش سل-زل با امکان کنترل بسیار خوب خواص ماده و تکرارپذیری زیاد برای این کار انتخاب می‌شود [۲۰]. اساساً در یک واکنش سل-زل، پیش‌ماده مورد نظر که معمولاً یک آلکوکسیدی فلزی است، در آب یا الکل حل شده و یک محلول همگن به دست می‌آید و به یک شبکه غیرآلی تبدیل می‌شود. معادلات ۱ تا ۳ واکنش‌های انجام‌شده را نشان می‌دهد.

جالش بزرگی که در این روش وجود دارد این است که خودآرایی مولکول‌های عامل فعال سطحی باید پیش از اینکه تراکم فاز غیرآلی آن را متوقف کند، به پایان برسد. به همین دلیل نیاز است واکنش آبکافت به صورت کامل انجام شود و تا حد امکان سرعت واکنش تراکم آهسته باشد [۲۱]. واکنش آبکافت شامل حمله اکسیژن موجود در آب به اتم Si است و در آن گروه OR پیش‌ماده با گروه OH موجود در آب جایگزین می‌شود. لازم به ذکر است که در حضور حلال‌هایی مانند اتانول این واکنش آسان‌تر انجام می‌شود. در واقع پیش از اینکه واکنش آبکافت اتفاق بیفتد، باید پیش‌ماده و آب به صورت همگن درآیند؛ اما این دو ماده امتراج‌ناپذیر بوده و از الکل‌ها به عنوان حلال استفاده می‌شود. آبکافت در حضور کشیار با سرعت پیش‌تر و به طور کامل انجام می‌شود [۲۲].



۲-۲-اعمال پوشش

در ساخت پوشش‌های مزوسیلیس، لایه‌نشانی محلول نیز به عنوان یک گام مهم شناخته شده و تأثیر زیادی در شکل‌گیری یک ساختار منظم دارد. در این مرحله خودآرایی و متراکم شدن اولیه اتفاق می‌افتد. نکته مهمی که در روش خودآرایی القا شده با تبخیر وجود دارد، این است که ساختار تخلخل‌ها و بافت پوشش تشکیل شده، به شدت متأثر از شرایط تبخیر حلال است. به همین دلیل روش‌هایی مانند استفاده از افسانه به علت تبخیر سریع حلال، کمتر مورد توجه قرار گرفته‌اند. لایه‌نشانی محلول می‌تواند به روش‌های مختلفی انجام شود که در میان این روش‌ها، روش پوشش‌دهی فربری و پوشش‌دهی چرخشی رایج‌تر هستند [۲۴-۲۳]. در روش پوشش‌دهی فربری زیرلایه وارد محلول شده و سپس با یک سرعت ثابت و مشخصی از آن خارج می‌شود. هنگامی که زیرلایه خارج می‌شود، حلال تبخیر شده و غلظت عامل فعال سطحی به بالاتر از غلظت بحرانی رسیده و پس از تشکیل میسل، شروع به تشکیل فاز بلور-مایع می‌کند. ضخامت پوشش تشکیل شده در این روش، وابسته به سرعت خروج زیرلایه از محلول، گرانروی، چگالی محلول و کشش سطحی است [۲۵].

در روش پوشش‌دهی چرخشی چند قطره از محلول بر زیرلایه ریخته شده و سپس تحت یک سرعت زاویه‌ای ثابت شروع به چرخش می‌کند و بدین ترتیب به علت وارد شدن نیروی مرکزگریز، محلول به صورت یکنواخت روی زیرلایه پخش می‌شود [۲۶]. در این روش علاوه بر اینکه سرعت چرخش بر ضخامت پوشش تشکیل شده تأثیر می‌گذارد، بر تشکیل ساختار مزومتخلخل نیز مؤثر است. در سرعت‌های پایین‌تر، سرعت تبخیر کم بوده و کنترل شکل‌ها راحت‌تر انجام می‌شود. زمان چرخش نیز عامل تأثیرگذار دیگری است؛ به طوری که زمان‌های طولانی منجر به پیدایش نظم بیش‌تری می‌شود [۲۷]. در شکل ۳ (الف) تأثیر زمان چرخش بر روی میزان نظم دیده می‌شود.

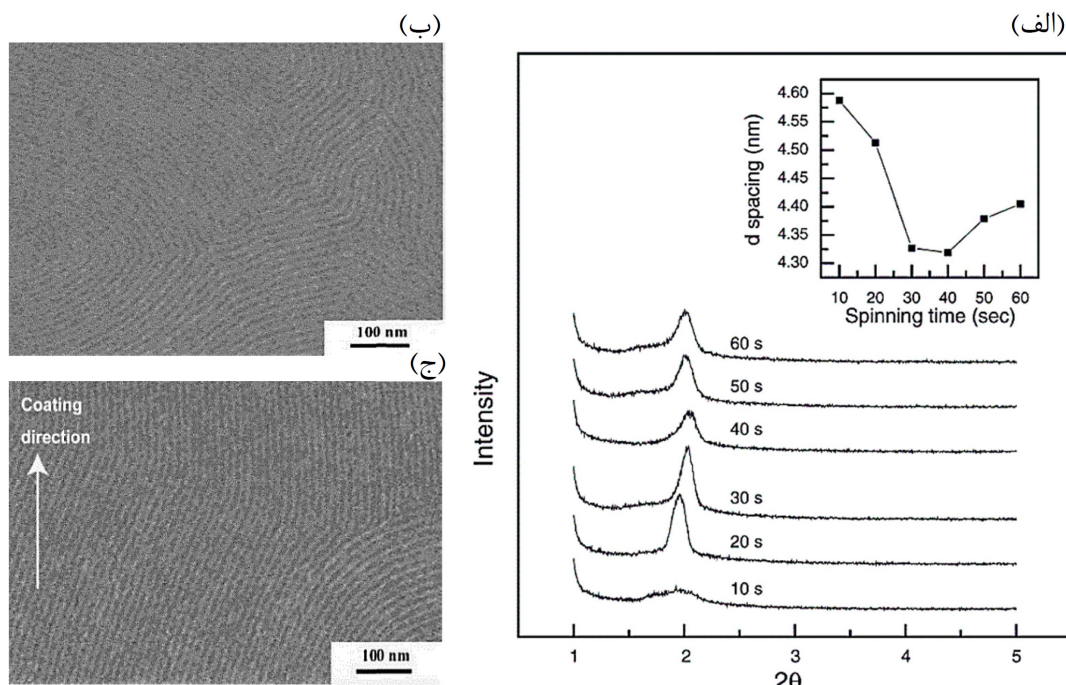
علی‌رغم اینکه این دو روش لایه‌نشانی هدف واحدی دارند، ویژگی‌های پوشش لایه‌نشانی شده با آن‌ها، با یکدیگر متفاوت است. به عنوان مثال پوشش‌های لایه‌نشانی شده به روش پوشش‌دهی چرخشی، از نظر ضخامت و صافی سطح یکنواخت‌تر بوده و در مقابل هم راستایی تخلخل‌ها پوشش‌های تهیه شده به روش فربری، بیش‌تر از روش چرخشی است (شکل ۳ (ب) و (ج)) [۲۸].

۲-۳-خروج عامل فعال سطحی

با توجه به این که فرآیند خودآرایی در دمای اتاق و شرایط اسیدی انجام می‌شود، معمولاً مقداری از گروه‌های سیلانول واکنش نکرده باقی می‌ماند و در هنگام خروج از ساختار حدود ۲۰ درصد انقباض ایجاد می‌کنند. این انقباض زیاد ممکن است باعث ایجاد ترک نیز بشود؛ بنابراین پیش از اینکه عامل فعال سطحی خارج شود، معمولاً یک مرحله خشکایش در دمای حدود ۱۰۰ درجه سانتی‌گراد انجام می‌شود. با این کار آب و اتانول باقی‌مانده خارج شده و تراکم ساختار بیش‌تر می‌شود [۲۹]. آخرین مرحله از ساخت پوشش‌های مزوسیلیس خروج عامل فعال سطحی است که به عنوان یک گام مهم در ایجاد یک ساختار مستحکم شناخته می‌شود. برای این کار روش‌های مختلفی وجود دارد که در همه‌ی آن‌ها هدف این است که عامل فعال سطحی به طور کامل حذف شود و در طی فرآیند آسیبی به زیرلایه وارد نشود. برخی مهم‌ترین این روش‌ها در ادامه معرفه شوند [۳۰].

رایج‌ترین روش برای حذف عامل فعال سطحی، کلسینه کردن است. در این روش زیرلایه پوشش داده شده تا دمای ۳۰۰ تا ۵۰۰ درجه سانتی‌گراد به آرامی حرارت داده می‌شود تا مواد آلی تجزیه شوند. این روش ساده بوده و منجر به خروج کامل مواد آلی می‌شود [۳۱؛ ۳۲]. اما در مقابل روش کندی بوده و هر دوره استفاده آن بین ۴ تا ۱۲ ساعت به طول می‌انجامد. یکی از مشکلات دیگر این روش ایجاد تنفس حرارتی بین زیرلایه و پوشش تشکیل شده است که می‌تواند باعث جدا شدن پوشش از زیرلایه شود [۳۲].

یک روش جایگزین برای حذف عامل فعال سطحی، انحلال آن در یک حلال مناسب است. از آنجایی که اتصال عامل فعال سطحی و سیلیکا به کمک پیوندهای هیدروژنی و الکتروستاتیک انجام می‌شود، روش انحلال عامل فعال سطحی در یک حلال مناسب نیز، به عنوان روشی برای خروج عامل سطحی پیشنهاد می‌شود. برای این کار از حللهای مختلفی مانند اتانول، آب اکسیژن و سولفوریک اسید استفاده می‌شود که رایج‌ترین آنها اتانول خالص یا ترکیبی از اتانول و اسید است. در این روش پوشش ایجادشده برای یک مدت نسبتاً طولانی (حدود ۲۴ تا ۴۸ ساعت) در یکی از محلولهای ذکر شده قرار داده می‌شود [۳۳]. در این روش انقباضی که در روش کلسینه کردن وجود دارد، کمتر دیده می‌شود و امکان عامل دار کردن سطح نیز وجود دارد. بازده این روش وابسته به ساختار عامل فعال سطحی است و ۱۰ تا ۸۰ درصد عامل فعال سطحی خارج می‌شود. از مشکلات این روش می‌توان به باقی ماندن عامل فعال سطحی در ساختار و ایجاد تغییر در ساختار تخلخل اشاره کرد [۳۴].



شکل ۳- تأثیر پارامترهای پوشش دهنده بر ویژگی‌های پوشش (الف) تأثیر زمان چرخش در روش پوشش دهنی چرخشی بر روی میزان نظم (ب) هم‌استایی تخلخل‌ها در روش پوشش دهنی چرخشی (ج) هم‌استایی تخلخل‌ها در روش پوشش دهنی فربوری [۲۷-۲۸].

استفاده از پرتو فرابنفش نیز روش دیگری است که برای حذف عامل فعال سطحی استفاده می‌شود. در این روش اشعه با طول موج مشخص به مدت طولانی به نمونه تابیده شده و در طی آن رادیکال آزاد اکسیژن، با عامل فعال سطحی ترکیب شده و آن را می‌سوزاند و محصول آن به کمک پمپ خلا خارج می‌شود [۳۵]. در این روش در مقایسه با روش کلسینه کردن، به دمای کمتری نیاز است و منجر به خروج همه‌ی عامل فعال سطحی می‌شود. قابل ذکر است که در برخی از موارد، استحکام مکانیکی پوشش از روش کلسینه کردن کمتر است [۳۶].

روش‌هایی مانند استفاده از ماکروبوی [۳۷]، حرارت دهنی در خلا [۳۸]، روش دومرحله‌ای حرارت دهنی و خروج حلال [۳۹] از جمله روش‌های دیگری هستند که برای حذف عامل فعال سطحی استفاده می‌شوند. در جدول (۱) مزایا و معایب این روش‌ها مقایسه شده‌اند.

جدول ۱- مقایسه روش‌های رایج خروج عامل فعال سطحی

نام روش	مزایا	معایب
کلسینه کردن	ساده، در دسترس بودن، خروج کامل ایجاد تنفس حارقی، پر هزینه، مصرف انرژی زیاد	عامل فعال سطحی
خروج به کمک حال	بازیافت عامل فعال سطحی، امکان زمان طولانی، عدم خروج کامل عامل فعال سطحی	عامل دار کردن پوشش
استفاده از پرتو فرابنفش	استفاده برای زیرلايهای فلزی زمان طولانی، در دسترس نبودن	

۳- عوامل مؤثر بر فرآیند خودآرایی القاشده با تبخیر

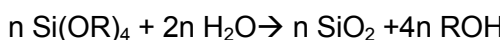
فرآیند خودآرایی القاشده توسط تبخیر شده یک فرآیند به ظاهر ساده است ولی در عمل به عوامل زیادی وابسته بوده و کنترل هم‌زمان شرایط سیستمیکی و ترمودینامیکی بسیار مشکل است [۴۰]. مهم‌ترین بخش روش خودآرایی القاشده با تبخیر، آماده‌سازی محلول است و برای این کار نیاز است واکنش‌های صورت گرفته، مراحل آن و نقش هر یک از اجزا به خوبی شناخته شود. در انجام این فرآیند عواملی مثل نسبت آب به پیش‌ماده، غلظت کنشیار، دمای واکنش، نوع حلال تأثیر بیش‌تری داشته و ممکن است عوامل دیگر هم بر انجام آن مؤثر باشد [۴۱]. در ادامه مهم‌ترین عوامل مؤثر بر روش سل-ژل توضیح داده می‌شود.

۳-۱- کنشیار

در روش سل-ژل از دو نوع کنشیار اسیدی یا بازی استفاده می‌شود. pH محیط واکنش تأثیر زیادی روی فرآیند سل-ژل دارد و ویژگی‌های نهایی را تعیین می‌کند. در حضور اسید گروه OR به سرعت پروتونه شده و با ایجاد بار مثبت چگالی الکترونی Si کم شده و برای حمله آب آماده می‌شود. بدین ترتیب سرعت واکنش زیاد می‌شود. این واکنش در حضور کنشیار اسیدی در مقایسه با کنشیار بازی با سرعت بیش‌تر و به صورت کامل انجام می‌شود. در pH های کمتر از ۲ (نقطه ایزو الکتریک صفر) بار سطح ذرات و سرعت حرکت ذرات ایجادشده صفر است. در واقع هیچ دافعه‌ای وجود ندارد و رشد و کلوخه‌ای شدن با هم رخ می‌دهد و حتی ممکن است این مراحل غیرقابل تشخیص باشند. چون در این مرحله انحلال پذیری ذرات ایجادشده کم است، رشد ذرات متوقف شده و سل شفاف می‌تواند تا چندین روز در دمای اتفاق پایدار باشد [۴۲-۴۳]. در pH های بازی واکنش بسپارش همراه با جوانهزنی است و تراکم و رشد ذرات، بیش‌تر از کلوخه‌ای شدن است. در این محدوده pH سیلیکا به سرعت متراکم شده و به صورت ژل درمی‌آید. در حالی که اگر سرعت تراکم زیاد باشد، زمان کم بوده و پیش از تشکیل مزوساختار، ساختار سیلیکایی صلب می‌شود [۴۴]. در شکل (۴) اثر pH بر سرعت واکنش نشان داده شده است. در ساخت پوشش‌های مزوسیلیس معمولاً از هیدروکلریک اسید استفاده می‌شود. این اسید کاملاً تبخیر شده و به عنوان ناخالصی باقی نمی‌ماند [۴۵].

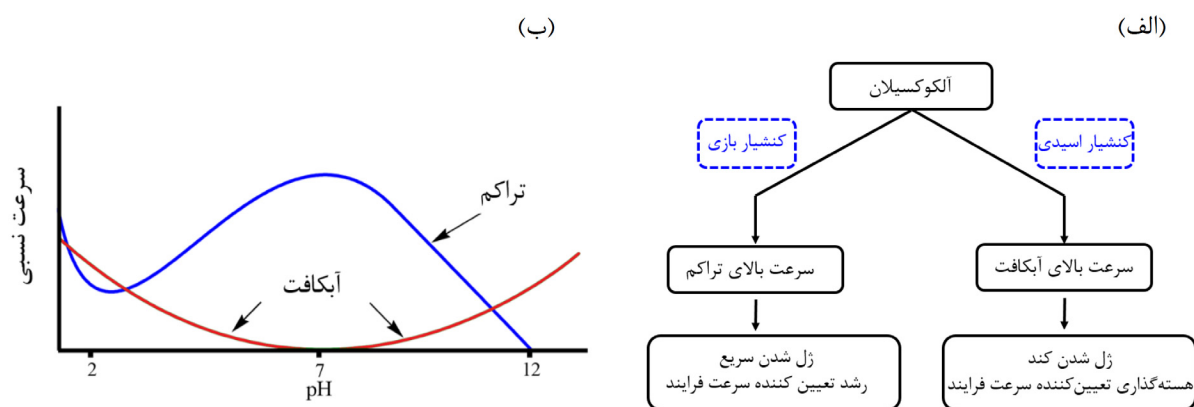
۳-۲- نسبت آب به آلکوکسیدی

نسبت آب به آلکوکسیدی عامل دیگری است که در سرعت واکنش آبکافت مؤثر است. به دست آوردن میزان آب لازم با توجه به میزان Si تشکیل شده تعیین می‌شود. هر چه این میزان کمتر باشد، سرعت واکنش کمتر می‌شود. طبق رابطه (۴) برای داشتن یک سل پایدار، نسبت بهینه آب و پیش ماده ۲ به ۱ است. این نسبت می‌تواند تا ۵ هم افزایش یابد و با این کار زمان واکنش کاهش می‌یابد.



برخی از عوامل مانند نوع و میزان حلال و نوع پیش‌ماده سیلیکا نیز می‌توانند بر روند واکنش آبکافت مؤثر باشند. حلال‌ها می‌توانند سرعت ژل شدن را کنترل کنند؛ به طوری که در نسبت ثابت پیش‌ماده سیلیکا و آب، با افزایش میزان اتانول زمان ژل شدن افزایش می‌یابد. استفاده از ترا اتیل اورتوسیلیکات نیز به دلیل کمتر بودن نرخ واکنش آبکافت و شناخته شده بودن واکنش‌های این

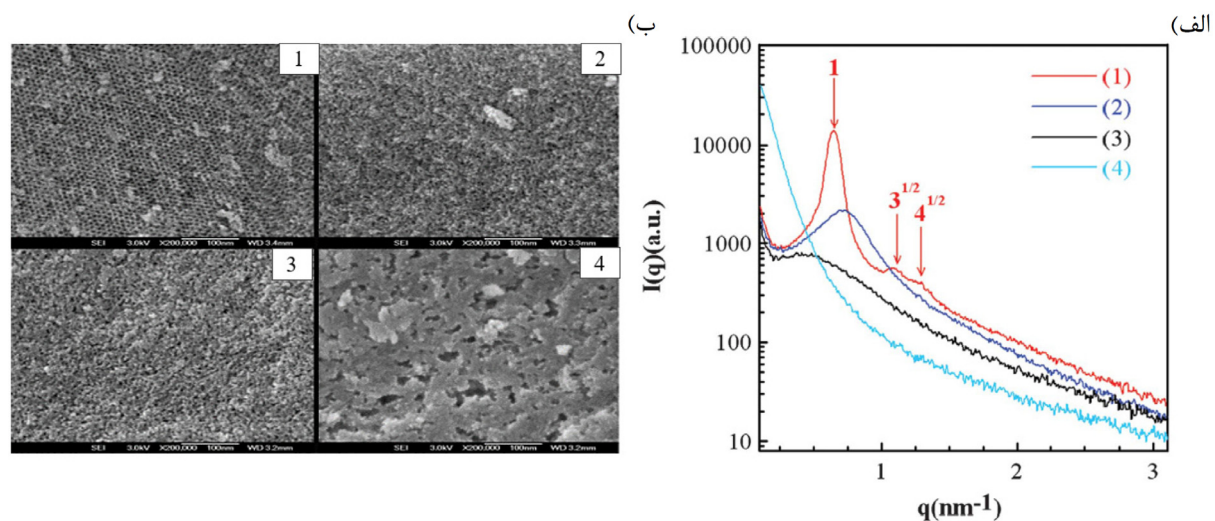
پیش ماده، به مواد دیگر ترجیح داده می شود [۴۷].



شکل ۴- تأثیر نوع کنشیار بر روند هیدرولیز و تراکم (الف) نمایش الگو وار و (ب) نمودار سرعت نسبی واکنش هیدرولیز و تراکم با تغییر pH محیط واکنش [۴۶].

۳-۳- حلal

همان طور که از اسم این روش بر می آید، شرایط تبخیر نقش بسیار مهمی در شکل گیری ساختار دارد. رسیدن غلظت عامل فعال سطحی به غلظت بحرانی تابع تبخیر حلال است و سرعت تبخیر حلال زمان لازم برای تشکیل ساختار را مشخص می کند [۴۸]. برای انتخاب یک حلال مناسب، طول زنجیره آلکیل و نقطه جوش آن، قطبی بودن و میزان ترکنندگی زیرلایه از جمله عوامل مهمی هستند که باید به آنها توجه شود. حلال باید بتواند همه اجزا را در خود حل کند و باعث ایجاد جدایش فازی نشود. حلال های الکلی با دارا بودن ویژگی های ذکر شده، انتخاب مناسبی برای استفاده در این روش هستند. در میان این حلال ها نیز باید به فشار بخار آنها توجه شود. هر چه طول زنجیره هیدروکربنی بزرگ تر باشد، سرعت تبخیر حلال بیشتر است. وقتی سرعت تبخیر زیاد باشد، فرصت برای تشکیل ساختار کم بوده و نظم کمتری در ساختار مشاهده می شود [۴۹]. در شکل (۵) تأثیر نوع حلال بر میزان نظم و ریزساختار پوشش مشاهده می شود.



شکل ۵- تأثیر نوع حلال بر روی ویژگی های پوشش (الف) میزان نظم و ب) ریزساختار پوشش (۱: متانول ۲: اتانول ۳: پروپانول ۴: بوتانول) [۴۹].

مهم ترین عوامل مؤثر مرور شدند؛ اما عوامل دیگری نیز می توانند بر روی این فرایند مؤثر باشند. دما نیز روی فرآیند خودداری اثر می گذارد و این فرایند در دمای اتاق آسان تر انجام می شود. اثرات دما در این فرایند به سه صورت در نظر گرفته می شود [۵۰]:

- ۱-تأثیر بر تبخیر حلال
- ۲-تأثیر بر فرآیند خودآرایی
- ۳-تأثیر بر ژل شدن ترکیب

علاوه بر این خواص عوامل فعال سطحی نیز وابسته به داماست. به عنوان مثال در پلورونیک‌ها، وقتی دما زیاد می‌شود، پلیمر به آرامی آب‌گریزتر می‌شود و در نهایت به نقطه ابری شدن می‌رسد. نقطه ابری شدن دمایی است که در آن جدایش فازی رخ می‌دهد و پلورونیک خواص خودش را از دست می‌دهد [۵۱]. برای ساخت پوشش‌های مزووسلیس از پیش ماده آکوکسیدی استفاده می‌شود. دلایلی مختلفی برای استفاده گسترده از TEOS به عنوان پیش ماده می‌توان برشمرد که از جمله آن‌ها به شناخته شده بودن خواص و واکنش‌های این پیش ماده در دمایها و pH های مختلف، کمتر بودن نرخ واکنش آبکافت، کمتر بودن سمیت آن نسبت به پیش‌ماده‌های دیگر مانند TMOS، موجود بودن این پیش ماده در خلوص بالا و قیمت پایین اشاره کرد. [۵۲]. در جدول (۲) اثر کلی عوامل مختلف به صورت خلاصه نشان داده شده است.

جدول ۲-تأثیر عوامل مختلف در فرآیند خودآرایی القاشه با تبخیر

پارامتر	سل-ژل	خودآرایی
میزان آب	پایداری سل	شكل تخلخل
pH	سرعت واکنش آبکافت و تراکم	به هم پیوستگی ساختار
حلال	پایداری سل	میزان نظم
دما	استحکام ساختار	ساختار ماده فعال سطحی
عامل فعال سطحی	-	شكل و اندازه تخلخل
رطوبت	-	شكل تخلخل
زمان پیرسازی	پایداری سل	شكل تخلخل

۴- عوامل مؤثر بر نوع نظم ساختار

مهم‌ترین ویژگی روش خودآرایی القاشه با تبخیر ایجاد ساختارهای متنوع است. حال باید دید که چه عواملی بر روی نوع ساختار تأثیر می‌گذارند. در ادامه مهم‌ترین عوامل مؤثر مورد بررسی قرار می‌گیرد.

۴-۱- نوع عامل فعال سطحی

عوامل فعال سطحی مولکول‌هایی با ساختار دوبخشی هستند که یک بخش مولکول آبدوست و بخش دیگر آب‌گریز است. به علت داشتن این ویژگی، این مولکول‌ها تمایل به جذب در سطح و فصل مشترک مواد دارند و در کاربردهای مختلفی استفاده می‌شوند. عوامل فعال سطحی در غلظت‌های بسیار کم در محلول به شکل تک‌پار هستند. هنگامی که مقدار عامل فعال سطحی در فصل مشترک به اشباع برسد، عامل فعال سطحی باقی‌مانده به شکل آرایش خاصی به نام میسل درمی‌آید. میسل تراکم مولکول‌های عوامل فعال سطحی پخش شده در یک مایع کلوبئیدی است. در یک حلal آبی سر آبدوست ماده فعال سطحی در تماس با حلal و دم آب‌گریز در مرکز میسل یک توده تشکیل می‌دهد. به غلطی از عامل فعال سطحی که در آن غلطی میسل شکل می‌گیرد، غلظت بحرانی میسل (CMC) گفته می‌شود. از دیگر ویژگی‌های مهم عوامل فعال سطحی می‌توان به بار الکتریکی سر آبدوست و طول زنجیره هیدروکربنی اشاره کرد. عوامل فعال سطحی بر مبنای بار موجود در سر آبدوستشان به چهار گروه آنیونی، کاتیونی، غیر یونی و دوگانه تقسیم می‌شوند که عوامل فعال سطحی دوگانه عموماً در ساخت مواد مزومتخلخل استفاده نمی‌شوند [۵۳]. اساس ساخت مواد مزومتخلخل بر پایه خودآرایی میسل‌ها بوده و از این‌رو مهم‌ترین عامل مؤثر بر اندازه و شکل تخلخل‌ها، نوع و میزان عامل فعال سطحی است. نوع عامل فعال سطحی تعیین‌کننده اندازه تخلخل بوده و مقدار آن نیز شکل تخلخل را تعیین می‌کند. بدین ترتیب که با افزایش وزن مولکولی عامل فعال سطحی، اندازه تخلخل افزایش می‌یابد. از پرکاربردترین عوامل فعال سطحی

مورد استفاده در ساخت پوشش‌های ناهمگن غیر یونی که تحت عنوان تجاری پلورونیک‌ها EO=ethylene oxide, PO=propylene oxide می‌باشد، اشاره کرد. انواع گوناگونی از پلورونیک‌ها با وزن‌های مولکولی متفاوت و نسبت‌های مختلف بخش آب‌گریز وجود دارند که این نسبت‌های مختلف منجر به ایجاد ساختارهای با اندازه تخلخل و ساختارهای گوناگون می‌شود [۵۴]. به عنوان مثال هر چه نسبت بخش آب‌گریز به بخش آب‌دوست بیشتر باشد، اندازه تخلخل بزرگ‌تر می‌شود [۵۵]. در جدول (۳) مثالی از انواع عوامل فعال سطحی و اندازه تخلخل‌های ایجاد شده دیده می‌شود.

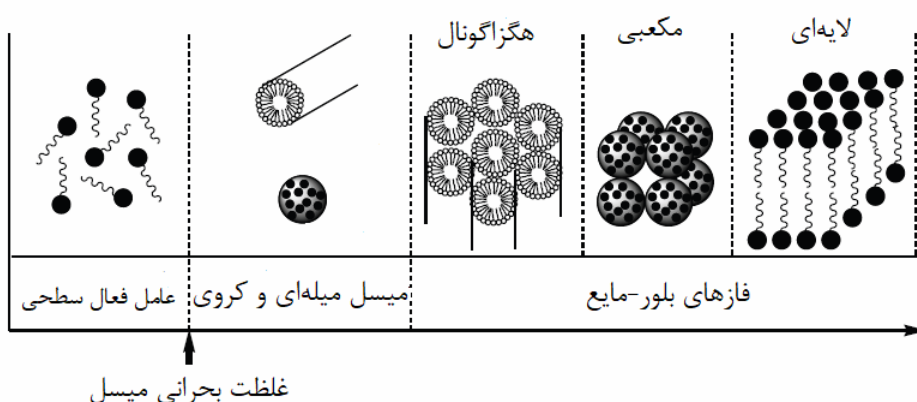
جدول ۳- تأثیر نوع عامل فعال سطحی بر اندازه و شکل تخلخل

نوع عامل فعال سطحی	ساختار مولکولی یک نمونه	اندازه تخلخل
عوامل فعال سطحی کاتیونی		۲-۴ نانومتر
عوامل فعال سطحی غیر یونی (مانند پلورونیک‌ها)		۵-۱۰ نانومتر
عوامل فعال سطحی غیر یونی (سایر گروه)		۳-۵ نانومتر

همان‌طور که گفته شد، با افزایش غلظت عامل فعال سطحی، میسل‌ها تشکیل می‌شوند. برای اینکه انرژی برهمنش حلال-عامل فعال سطحی کاهش یابد، ابتدا میسل‌های کروی شکل گرفته و به صورت منفرد در محلول پخش می‌شوند. با افزایش بیشتر غلظت، این بار میسل‌های کروی در کنار هم تجمع کرده و میسل میله‌ای را ایجاد می‌کنند. همان‌طور که در شکل (۶) دیده می‌شود، با ادامه روند افزایش غلظت، میسل‌ها فازهای بلور-مایع با ارایش هگزاگونال را تشکیل می‌دهند. به همین ترتیب ساختارهای مکعبی و لایه‌ای نیز شکل می‌گیرند. نحوه‌ی جهت‌گیری میسل‌ها در ساختارهای بلور-مایع به کمک ضریب تراکم (ϕ) که به ویژگی‌های ساختاری عامل فعال سطحی بستگی دارد، تعیین می‌شود. این ضریب به صورت رابطه (۱) تعریف می‌شود.

$$\phi = V/a_0^3 \quad (1)$$

در این رابطه V برابر با حجم دم آب‌گریز، a_0 سطح مؤثر سر آب‌دوست و انشان‌دهنده طول دم آب‌گریز است. به‌طور کلی، هر چه ضریب تراکم یک عامل فعال سطحی بیشتر باشد، ساختار به سمت آرایشی با انحنای کمتر متمایل می‌شود. به عنوان مثال هنگامی که ضریب تراکم برابر با $1/3$ باشد، یک ساختار مکعبی و با ضریب تراکم $1/2$ ساختار هگزاگونال دو بعدی شکل می‌گیرد. بدین ترتیب با تغییر میزان عامل فعال سطحی در یک محلول، می‌توان ساختارهای مختلفی ایجاد کرد [۵۶].



شکل ۶- تغییر آرایش میسل‌ها با افزایش غلظت عامل فعال سطحی [۵۷].

۴-۲-مدت زمان پیرسازی

پس از اینکه محلول مورد نظر به دقت آماده شد، باید زمان کافی برای پیرسازی نیز در نظر گرفته شود. این عامل تأثیر زیادی در ساختار نهایی خواهد داشت. پیرسازی منجر به کامل شدن واکنش‌های آبکافت و تراکم الیگومرهاست سیلیکا شده و در طی این فرآیند بلوک‌های نانو سایز شکل می‌گیرند. این بلوک‌ها بسته به ترکیب و pH سل، به شکل‌های کروی یا رشته‌ای به وجود می‌آیند. اندازه این اجزا به صورت تابعی از زمان افزایش می‌باشد. چون اندازه این اجزا نقش مهمی در تشکیل مژوساختار دارد، برای هر ترکیب یک زمان پیرسازی بحرانی وجود دارد. زمان‌های پیرسازی طولانی منجر به افزایش اندازه الیگومرها شده که ممکن است این اندازه متناسب با اندازه لازم برای قرارگیری در فصل مشترک فاز بلور-مایع نباشد. از طرفی اگر این زمان خیلی کوتاه باشد، ساختار شکل نخواهد گرفت [۵۸].

زمان پیرسازی بر اتحانی میسل نیز می‌تواند تأثیر داشته باشد. با افزایش زمان پیرسازی، الیگومر سیلیکایی بیشتر رشد می‌کند و تعداد گروه‌های سیلانول کاهش می‌باشد. با این کار موقعیت لازم برای ایجاد پیوند هیدروژنی نیز کم می‌شود و نظام کم می‌شود. همچنین با کاهش بار سیلیکا، اتحانی میسل نیز تغییر می‌کند و تمایل به ساختارهای دوبعدی بیشتر می‌شود. ممکن است در زمان‌های پیرسازی طولانی، نوع نظام نیز تغییر کند. [۵۹] البته با توجه به تغییرات پیوسته شرایط محلول، تعیین زمان بهینه کار مشکلی است. وقتی پیرسازی خیلی طولانی شود، گرانزوی افزایش یافته و تشکیل مژوساختار مشکل می‌شود. از طرفی اگر سیلیکا به طور کامل آبکافت نشده باشد، سیلیکایی باقی‌مانده می‌تواند باعث تخریب ساختار شود [۶۰].

۴-۳-رطوبت محیط

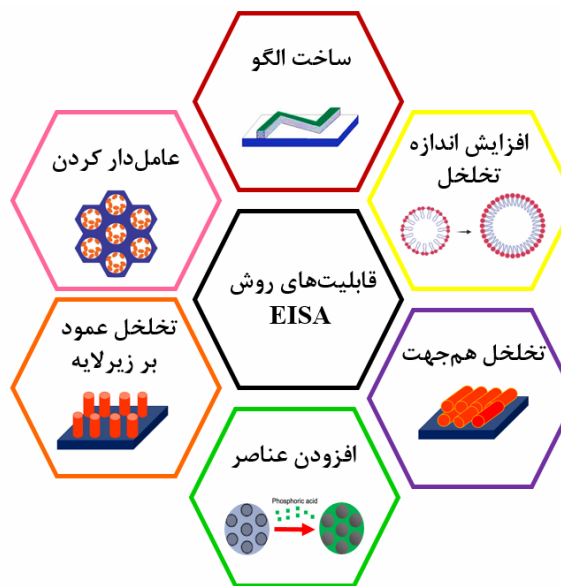
یکی از عوامل مؤثر بر ضریب تراکم عامل فعال سطحی، نسبت آب موجود در هنگام تشکیل میسل است. برای کنترل واکنش آبکافت و تراکم آب میزان حداکثر آب در تهییه محلول استفاده می‌شود و مابقی آب لازم برای تغییر اتحانی میسل‌ها، از طریق رطوبت اعمال شده در حین پوشش دهی تأمین می‌شود. در لحظات اولی که پوشش اعمال می‌شود، تبخیر حلال بسیار سریع است. در مرحله حالت پایدار، تعادلی بین نفوذ مولکول‌های آب و پوشش ایجاد می‌شود؛ بنابراین تغییر شرایط نفوذ مولکول‌های آب که در اثر اعمال رطوبت ایجاد می‌شود، باعث تغییر ضریب تراکم و به تبع آن شکل تخلخل خواهد شد [۶۱].

۴-۴-pH

در رابطه با تأثیر غلظت اسید، سه دیدگاه متفاوت وجود دارد. وقتی غلظت اسید بیشتر می‌شود، برهمکنش‌های قوی‌تری بین میسل‌ها و سیلیکا ایجاد می‌شود و تمایل به تشکیل ساختار هگزاگونال دوبعدی افزایش پیدا می‌کند [۶۲]. محققان دیگر عقیده دارند در غلظت‌های خیلی کم اسید، ساختار هگزاگونال سه‌بعدی و مکعبی شکل می‌گیرد. احتمالاً تغییر غلظت اسید منجر به تغییر میزان پروتونه شدن اتانول می‌شود و این امر روی پروتونه شدن سیلیکا نیز تأثیر می‌گذارد. وقتی میزان اسید زیاد شود، اتانول بیشتر پروتونه می‌شود و تعادل بار سیلیکا نیز تغییر می‌کند [۶۳]. عده‌ای دیگر نیز بر این باور هستند که با افزایش غلظت یون H^+ ، سرآب دوست عامل فعال سطحی به میزان بیشتری آب دوست می‌شود و با این کار ضریب تراکم عامل فعال سطحی کاهش می‌باشد؛ بنابراین تغییر این ضریب باعث تغییر شکل تخلخل‌ها می‌شود. وقتی میزان اسید خیلی زیاد باشد، سرعت ژل شدن زیاد شده و اجازه حرکت و تشکیل میسل به عامل فعال سطحی داده نمی‌شود [۶۴].

۵-قابلیت‌های روش خودآرایی القاشه با تبخیر

با پیشرفت کاربردهای پوشش مژوسیلیس، نیاز به ویژگی‌های خاص در آن‌ها بیشتر می‌شود. قابلیت کنترل ویژگی‌های تخلخل در پوشش‌های مژوسیلیس محدود به کنترل شکل و اندازه تخلخل نبوده و راه‌های متنوعی برای تغییر برخی از ویژگی‌ها و خواص پوشش وجود دارد. شکل (۷) مهم‌ترین قابلیت‌های روش خودآرایی القاشه با تبخیر را نشان می‌دهد.



شکل ۷- انواع قابلیت‌های روش خودآرایی القاشه‌ده با تبخیر

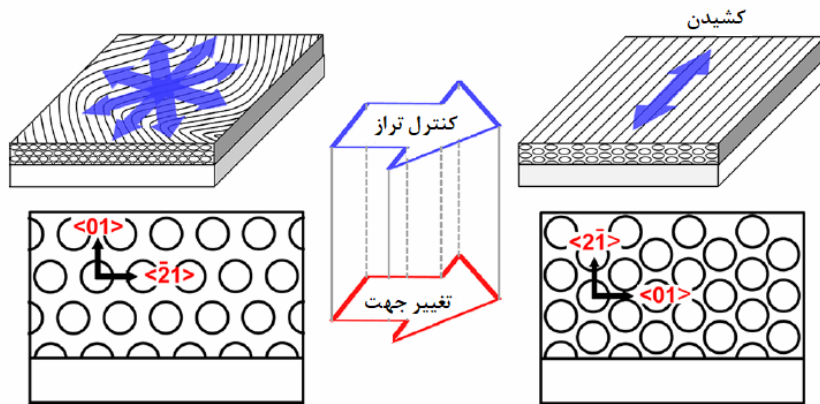
۱-۵- ساخت تخلخل‌های عمود بر زیرلايه

در برخی از کاربردهای پوشش مزوسیلیس مانند غشاء‌ها، وجود تخلخل‌های عمود بر زیرلايه به شدت احساس می‌شود. روش خودآرایی القاشه‌ده با تبخیر در حالت معمول، به دلیل نیاز به انرژی بالا برای این کار مناسب نبوده و پژوهشگران روش‌های دیگری مانند اعمال میدان الکتریکی، اعمال میدان مغناطیسی، اصلاح سطح زیرلايه، استفاده از میسل‌های پیش‌ساخته و موارد دیگر را برای رسیدن به این هدف ارائه نمودند [۶۵-۶۶]. با انجام پژوهش‌های بیشتر مشخص شد که در صورت اعمال برخی اصلاحات، در روش خودآرایی القاشه‌ده با تبخیر نیز می‌توان به تخلخل‌های عمود بر زیرلايه دست یافت. برخی از عوامل فعال سطحی مانند عوامل فعال سطحی کاتیونی و عوامل فعال سطحی Gemini، ویژگی‌های بهتری از خود نشان می‌دهند [۶۷]. در این روش عامل فعال سطحی توسط برخی بعضی از نقاط فعال شده سطح جذب می‌شود و سپس خودآرایی انجام شده و جهت‌یابی در جهت عمود پی گرفته می‌شود [۶۸]. از ساختار آلومینای آندایز شده نیز برای رشد کانال‌های عمودی استفاده می‌شود. روش دیگر برای ایجاد تخلخل‌های عمود بر زیرلايه، استفاده از مواد آلی در حین سنتر است. در روش‌های معمول، جهت‌گیری ترجیحی میسل در جهت کاهش انرژی آزاد سیستم و به موازات زیرلايه است. در این روش از یک ترکیب هیدروکربنی مانند دکان یا مواد دیگر استفاده می‌شود. [۶۹]

۲-۵- ساخت تخلخل‌های هم‌راستا

یکی از مواردی که ممکن است در پوشش‌های مزوسیلیس به عنوان عیب تلقی شود، هم‌جهت نبودن تخلخل‌ها است. پوشش‌های معمولی که به روش‌های پوشش‌دهی چرخشی و فروبزی ساخته می‌شوند، به دلیل اینکه جهت‌گیری تصادفی دارند، در برخی از کاربردها مانند میزان مولکول‌ها مناسب نیستند [۷۰]. در برخی از زیرلايه‌ها مانند سیلیکون تک‌بلور، میکا و گرافیت کانال‌ها تا حدودی هم‌جهت می‌شوند ولی در زیرلايه‌های دیگر نیاز است از روش‌های خاصی استفاده شود. یکی از این روش‌ها، استفاده از پلیمرهای دارای ساختار خطی مانند پلی‌آمید است.

بدین منظور ابتدا پلی‌آمید به ضخامت حدود ۱۰ نانومتر روی زیرلايه پوشش داده می‌شود و تحت کشش قرار می‌گیرند. سپس پوشش‌دهی بر روی لایه پلیمری انجام می‌شود [۷۱]. این ماده دارای گروه‌های عاملی هگزامتیل در سطح خود بوده و باعث برهمکنش بیش‌تر ماده فعال سطحی و سطح و به دنبال آن هم‌جهت شدن کانال‌ها می‌شود. علاوه بر زیرلايه‌های سرامیکی، این روش قابلیت استفاده در انواع زیرلايه‌های پلیمری و فلزی را نیز دارد [۷۲]. شکل (۸) نحوه هم‌جهت شدن ساختار را نشان می‌دهد.



شکل ۸- نحوه همجهت شدن تخلخلها در روش استفاده از پلیمر [۷۲].

روش دیگر همجهت کردن تخلخلها، وارد کردن محلول در کانالهای از پیش تعییه شده است. پس از ریختن محلول در قالب موردنظر، یک شیشه نازک در یک زاویه مشخص به صورت مورب و در فاصله چند صد میکرومتری از زیرلایه حرکت می‌کند تا سل کاملاً پخش شود. هر چه این فاصله نزدیکتر باشد، تبخیر با سرعت بیشتر انجام می‌شود و ساختار منظم‌تر خواهد بود [۷۳].

۵-۳- ایجاد ساختارهای الگو دار

پوشش‌های مزوسیلیس به دلیل کاربردهای زیادی که در حسگرها، عایق‌های الکترونیکی و کاربردهای نوری دارند، ساخت الگو در این‌ها اهمیت زیادی پیدا کرده است. پوشش‌هایی که به روش معمول ساخته می‌شوند، به علت اتصال ضعیف میسل‌ها و سیلیس، در فرآیند ساخت الگو دوام نمی‌آورند و از بین می‌رونند. یک راه حل این مشکل، به کارگیری روش فاز بخار است. در این روش همه مواد موردنیاز برای ساخت پوشش به جز پیش ماده سیلیس با هم مخلوط شده و بر زیرلایه مورد نظر پوشش‌دهی می‌شوند. سپس در محفظه‌ی حاوی بخار TEOS قرار داده می‌شود. بدین ترتیب با نفوذ مولکول‌های سیلیکا ساختار متراکم می‌شود [۷۴]. یکی دیگر از روش‌های ساخت، روش قالب‌گیری ریز در حفرات است. در این روش ابتدا یک آرایه منظم حفرات با شکل موردنظر ساخته شده و سپس محلول در آن وارد می‌شود و تراکم به کمک تابش پرتو فرابنفش انجام می‌شود. چالش اصلی در این روش‌ها، خروج ماده فعال سطحی بدون هیچ‌گونه آسیب به زیرلایه است. دمای بالا به مواد پلیمری، مس و طلا موجود در مدارها آسیب وارد کرده و حتی ممکن است باعث از بین رفتن نظم شود [۷۵].

۵-۴- ساخت پوشش‌های عامل‌دار

واردکردن گروههای عاملی می‌تواند خواص سطحی مثل آب‌دوستی و آب‌گریزی، بیوند با مولکول‌های دیگر و برخی از خواص بالک مانند خواص مکانیکی و نوری را تعییر دهد. در کاربردهایی مانند عایق‌های الکترونیکی، حسگرها و جاذبها نیاز به عامل‌دار کردن سطح بیشتر از کاربردهای دیگر احساس می‌شود [۷۶]. به طور کلی دو روش برای عامل‌دار کردن پوشش‌های مزوسیلیس وجود دارد: ۱-عملیات سطحی پس از ساخت پوشش که در این روش مولکول هدف در سطح بیرونی تخلخل قرار می‌گیرد. ۲-روش عامل‌دار کردن درجا که مولکول در سطح درونی تخلخل قرار می‌گیرد.

در روش اول میزان مولکول قرارگرفته محدود بوده و یک توزیع نسبتاً ناهمگن از گروههای عاملی در سطح به وجود می‌آید. هم‌چنین این روش باعث کاهش اندازه تخلخل نیز می‌شود. برای این کار، ابتدا پوشش به روش‌های معمول ساخته شده و پس از یک مرحله عملیات حرارتی، در معرض حالت مایع یا بخار ماده حاوی گروههای عاملی مورد نظر قرار می‌گیرد. البته در این روش پایداری کافی وجود نداشته و نیاز است طی یک مرحله عملیات حرارتی در دمای بالاتر، تراکم ساختار افزایش یابد. مشکل این روش امکان از بین رفتن گروههای عاملی ایجاد شده در دمای بالاست. در روش درجا که رایج‌ترین روش ساخت پوشش‌های عامل‌دار شده است، به جای پیش‌ماده آلکوکسیدی، از پیش‌ماده‌های حاوی گروههای عاملی مورد نظر استفاده می‌شود. تنوع پیش‌ماده‌های حاوی گروههای عاملی زیاد بوده و امکان ایجاد انواع گروههای عاملی به صورت همگن وجود دارد [۷۷].

۵-۵-وارد کردن عناصر مختلف در ساختار

یکی از چالش‌های موجود در پوشش مزوسیلیس، افزودن یون‌هایی مانند کلسیم، فسفات و برهmeknesh آن‌ها با ساختار است. به عنوان مثال عنصر فسفر به دلیل نقش مهم در پوشش‌های زیست فعال مورد استفاده در بدن انسان و هادی‌های پروتئونی، می‌تواند وارد ساختار شود. برای واردکردن این یون، از فسفریک اسید استفاده می‌شود که این ماده به دو روش پوشش دهی بر روی پوشش اولیه و با حایگزین، این اسید با هیدرولکل یک اسید وارد ساختار خواهد شد [۷۸].

۵-۶- افزایش اندازه تخلخل

در برخی از کاربردها مانند داروسانی، حسگرها و ساختارهای میزبان گاهی نیاز است اندازه تخلخل افزایش یابد. این کار با استفاده از مواد فعال سطحی، معمولاً میسر نبوده و از روش‌های خاصه، برای افزایش، اندازه تخلخل، استفاده می‌شود که عبارت‌اند از:

- ۱-عملیات پس از تهیه پوشش
 - ۲-استفاده از ماده فعال سطحی با زنجیره هیدروکربنی طویل
 - ۳-استفاده از پلیمرهایی با ساختار دو بلوکی
 - ۴-استفاده از عوامل متورم کننده میسل که شامل انواع هیدروکربن‌های حلقوی و خطی، پلی پروپیلن اکسید و مواد دیگر هستند [۷۹].

۵- ترکیب دو عامل فعال سطحی

در این میان روش چهارم، پرکاربردترین روش است. نقش عوامل متورم کننده میسیل، افزایش بخش آبگریز ماده فعال سطحی و در نتیجه افزایش دهنده اندازه تخلخل است. در هنگام استفاده از این مواد باید به خاطر داشت که استفاده از این مواد ممکن است باعث کاهش نظم ساختار و در مواردی باعث تغییر شکل تخلخل‌ها شود. نکته مهم دیگر، انتخاب عامل متورم کننده میسیل مناسب برای هر ماده فعال سطحی است. چون برخی از عوامل فعال سطحی تمایل بیشتری برای وارد کردن این مواد به ساختار خود دارند و برخی نیز ممکن است هیچ برهمکنشی با این مواد نداشته باشند [۸۰].

۶- نتیجہ گیری

روش خودآرایی القا شده با تبخیر به عنوان یک روش ساده و با قابلیت ایجاد ساختارهای متنوع شناخته شده است. در این روش عوامل قابل کنترل زیادی وجود دارند که می‌توانند پوشش‌هایی با ویژگی‌های جدید ایجاد کنند و کاربردهای فراوانی را برای آن‌ها به ارمغان آورند. بدین‌گاه اینکه تلاش‌های بسیاری برای ایجاد خواص جدید انجام شده است، به نظر می‌رسد اصلاح مراحل مختلف فرآیند کمتر مورد توجه قرار گرفته است. به طوری که گزارشی از صنعتی شدن این روش دیده نشده است. یکی از مشکلات این روش، لزوم استفاده از پیش‌ماده‌های آکلوكسیدی است. استفاده از پیش‌ماده‌های ارزان قیمت مانند سبوس برج یا سیلیکات‌سدیم که در ساخت نانو ذرات استفاده می‌شوند، در این روش کاربرد پیدا نکرده و این روش را به یک روش نسبتاً پر هزینه تبدیل کرده‌اند. این مواد تمایل به تشکیل ترکیبات پیچیده دارند که ممکن است برهم‌کنش ماده فعال سطحی با پیش‌ماده و به دنبال آن ایجاد ساختار منظم را مختلط کنند. به نظر می‌رسد در آینده این موضوع بیشتر مورد توجه پژوهشگران قرار گیرد و توسعه یابد. استفاده از الكل در مقیاس‌صنعتی نیز اندکی مشکل‌ساز بوده و به علت خطر آتش‌سوزی، بهتر است کمتر استفاده شود. امروزه پژوهش‌هایی در رابطه با حذف الكل یا کاهش آن در حال انجام بوده و احتمالاً در آینده روش‌های اینم و در عین حال سریع برای ساخت پوشش‌های مزوپولیس با ویژگی‌های مورد انتظار توسعه داده خواهد شد. این موضوع از مسائل قابل توجه پژوهشگران بوده و با توجه به وسعت کاربردهای قابل تصور، به نظر می‌رسد در سال‌های آینده توجه بیشتری را به خود جلب خواهد نمود.

٧- مراجع

- [1] Alberius PCA, Frindell KL, Hayward RC, Kramer EJ, Stucky GD, Chmelka BF. General predictive syntheses of cubic, hexagonal, and lamellar silica and Titania mesostructured thin films. *Chem Mater.* 2002; 14(8):3284–3294.

- [2] Fritz-Popovski G, Morak R, Sharifi P, Amenitsch H, Paris O. Pore shape and sorption behavior in mesoporous ordered silica films. *J Appl Crystallogr.* 2016; 49(5):1713–1720.
- [3] Bellino MG, Regazzoni AE, Soler-Illia GJAA. Amylase-Functionalized mesoporous silica thin films as robust biocatalyst platforms. *ACS Appl Mater Interfaces.* 2010; 2(2):360–365.
- [4] Maruo T, Tanaka S, Hillhouse HW, Nishiyama N, Egashira Y, Ueyama K. Disordered mesoporous silica low-k thin films prepared by vapor deposition into a triblock copolymer template film. *Thin Solid Films.* 2008; 516(15):4771–4776.
- [5] Farrell RA, Cherkaoui K, Petkov N, Amenitsch H, Holmes JD, Hurley PK, et al. Physical and electrical properties of low dielectric constant self-assembled mesoporous silica thin films. *Microelectron Reliab.* 2007; 47(4-5 SPEC. ISS.): 759–763.
- [6] Yamada T, Zhou HS, Uchida H, Tomita M, Ueno Y, Honma I, et al. Application of a cubic-like mesoporous silica film to a surface photo voltage gas sensing system. *Microporous Mesoporous Mater.* 2002; 54(3):269–276.
- [7] Ehlert N, Badar M, Christel A, Lohmeier SJ, Luessenhop T, Stieve M, et al. Mesoporous silica coatings for controlled release of the antibiotic ciprofloxacin from implants. *J Mater Chem.* 2011; 21(3):752–760.
- [8] Edler KJ, Roser SJ. Growth and characterization of mesoporous silica films. *Int Rev Phys Chem.* 2001; 20(3):387–466.
- [9] Kimura T. Evaporation-induced Self-assembly Process Controlled for Obtaining Highly Ordered Mesoporous Materials with Demanded Morphologies. *Chem Rec.* 2016; 16(1):445–457.
- [10] Teng Z, Zheng G, Dou Y, Li W, Mou CY, Zhang X, et al. Highly ordered mesoporous silica films with perpendicular mesochannels by a simple stöber-solution growth approach. *Angew Chemie - Int Ed.* 2012; 51(9):2173–2177.
- [11] Innocenzi P, Malfatti L. Mesoporous thin films: Properties and applications. *Chem Soc Rev.* 2013; 42(9):4198–4216.
- [12] Chen JY, Pan FM, Chang L, Cho AT, Chao KJ. Thermal stability of trimethylsilylated mesoporous silica thin films as the ultralow-k dielectric for copper interconnects. *J Vac Sci Technol B Microelectron Nanom Struct.* 2005; 23(5):2034.
- [13] Brinker CJ, Lu Y, Sellinger A, Fan H. Evaporation-induced self-assembly: Nanostructures made easy. *Adv Mater.* 1999; 11(7):579–585.
- [14] Feng D, Wei J, Wang M, Yue Q, Deng Y, Asiri AM, et al. Advances in Mesoporous Thin Films via Self-Assembly Process. *Adv Porous Mater.* 2013; 1(2):164–186.
- [15] Innocenzi P, Malfatti L, Soler-Illia GJAA. Hierarchical mesoporous films: From self-assembly to porosity with different length scales. Vol. 23, *Chemistry of Materials.* 2011. p. 2501–2509.
- [16] Grosso D, Babonneau F, Soler-Illia GJ d. AA, Albouy PA, Amenitsch H. Phase transformation during cubic mesostructured silica film formation. *Chem Commun.* 2002; 2(7):748–749.
- [17] Pal N, Bhaumik A. Soft templating strategies for the synthesis of mesoporous materials: Inorganic, organic-inorganic hybrid and purely organic solids. Vols. 189–190, *Advances in Colloid and Interface Science.* 2013. p. 21–41.
- [18] Hayward C, R., Alberius, P.C.A, Kramer E.J, Chmelka B. F .Thin films of bicontinuous cubic mesostructured silica templated by a nonionic surfactant, *Langmuir*, 2004 ;20 (2): 5998-6004.
- [19] Grosso D, Boissière C, Nicole L, Sanchez C. Preparation, treatment and characterization of nanocrystalline mesoporous ordered layers. In: *Journal of Sol-Gel Science and Technology.* 2006. 141–54.
- [20] Maranhão SLA, Cides da Silva LC, Michels AF, Horowitz F, Matos JR, Fantini MCA. Structure and Morphology of SBA-15 Thin Films on Different Substrates. *Brazilian J Phys.* 2014; 44(4):346–355.
- [21] Innocenzi P. Infrared spectroscopy of sol-gel derived silica-based films: A spectra-microstructure overview. *J Non Cryst Solids.* 2003; 316(2–3):309–319.
- [22] Soler-Illia GJAA, Innocenzi P. Mesoporous hybrid thin films: The physics and chemistry beneath. *Chem - A Eur J.* 2006; 12(17):4478–4494.
- [23] Ogawa M. Mesoporous Silica Layer: Preparation and Opportunity. Vol. 17, *Chemical Record.* 2017. p. 217–32.

- [24] Nishiyama N, Tanaka S, Egashira Y, Oku Y, Ueyama K. Enhancement of structural stability of mesoporous silica thin films prepared by spin-coating. *Chem Mater.* 2002; 14(10):4229–4234.
- [25] Hoffmann F, Cornelius M, Morell J, Fröba M. Silica-based mesoporous organic-inorganic hybrid materials. Vol. 45, *Angewandte Chemie - International Edition*. 2006. p. 3216–3251.
- [26] Jung SB, Ha TJ, Park HH. Control of wall thickness in the formation of ordered mesoporous silica films. *Thin Solid Films.* 2007; 515(16 SPEC. ISS.): 6521–6525.
- [27] Pan JH, Lee WI. Selective control of cubic and hexagonal mesophases for Titania and silica thin films with spin-coating. *New J Chem.* 2005; 29(6):841–846.
- [28] Jung SB, Ha TJ, Park HH. Roughness and pore structure control of ordered mesoporous silica films for the enhancement of electrical properties. *J Appl Phys.* 2007; 101.(۲)
- [29] Feng P, Bu X, Pine DJ. Control of pore sizes in mesoporous silica templated by liquid crystals in block copolymer-co-surfactant-water systems. *Langmuir.* 2000; 16(12):5304–5310.
- [30] Schulz-Ekloff G, Rathouský J, Zukal A. Controlling of morphology and characterization of pore structure of ordered mesoporous silicas. *Microporous Mesoporous Mater.* 1999; 27(2–3):273–285.
- [31] Chua Y, Lin CXC, Kleitz F, Smart S. Mesoporous organosilica membranes: Effects of pore geometry and calcination conditions on the membrane distillation performance for desalination. *Desalination.* 2015; 370:53–62.
- [32] Hu Y, Peng Y, Brousseau L, Bouamrani A, Liu X, Ferrari M. Nanotexture optimization by oxygen plasma of mesoporous silica thin film for enrichment of low molecular weight peptides captured from human serum. *Sci China Chem.* 2010; 53(11):2257–2264.
- [33] Hua Z Le, Shi JL, Wang L, Zhang WH. Preparation of mesoporous silica films on a glass slide: Surfactant template removal by solvent extraction. *J Non Cryst Solids.* 2001; 292(1–3):177–183.
- [34] Sibeaud M, Croutxé-Barghorn C, Rigolet S, Michelin L, Lebeau B, Vidal L, et al. Scaling-up of mesoporous silica films via an eco-efficient UV processing method. Part 2: Photo induced calcination. *Microporous Mesoporous Mater.* 2018; 267:235–241.
- [35] Recloux I, Mouanga M, Druart ME, Paint Y, Olivier MG. Silica mesoporous thin films as containers for benzotriazole for corrosion protection of 2024 aluminium alloys. *Appl Surf Sci.* 2015; 346:124–133.
- [36] Chemin N, Klotz M, Rouessac V, Ayral A, Barthel E. Mechanical properties of mesoporous silica thin films: Effect of the surfactant removal processes. In: *Thin Solid Films.* 2006. p. 210–213.
- [37] Johansson EM, Galarneau A, Cambon H, Di Renzo F, Ryoo R, Choi M, et al. Controlling the Pore Size and Morphology of Mesoporous Silica. *New J Chem [Internet].* 2015; 12(1):73–79.
- [38] Glazneva TS, Rebrov E V., Schouten JC, Paukshtis EA, Ismagilov ZR. Synthesis and characterization of mesoporous silica thin films as a catalyst support on a titanium substrate. *Thin Solid Films.* 2007; 515(16 SPEC. ISS.): 6391–6394.
- [39] Muraza O, Rebrov E V., Khimyak T, Johnson BFG, Kooyman PJ, Lafont U, et al. Preparation and characterization of bimetallic catalysts supported on mesoporous silica films. In: *Studies in Surface Science and Catalysis.* 2006. p. 167–174.
- [40] Lee UH, Yang JH, Lee HJ, Park JY, Lee KR, Kwon YU. Facile and adaptable synthesis method of mesostructured silica thin films. *J Mater Chem.* 2008; 18(16):1881–188.
- [41] Jeffrey Brinker, C. and George W. Scherer. *Sol-Gel science the physics and chemistry of sol-gel processing*, New York: Academic press. 1990.
- [42] Boffa V, Elshof JE te. Blank DHA. Preparation of templated mesoporous silica membranes on macroporous α -alumina supports via direct coating of thixotropic polymeric sols. *Microporous Mesoporous Mater.* 2007; 100(1–3):173–82.
- [43] Johansson EM, Galarneau A, Cambon H, Di Renzo F, Ryoo R, Choi M, et al. Controlling the Pore Size and Morphology of Mesoporous Silica. *New J Chem.* 2015; 12(1):73–9.
- [44] Hussen GNA, Shirakawa H, Nix WD, Clemens BM. Single layer mesoporous silica thin films as templates for metallic nanoscale arrays. *J Appl Phys.* 2006; 100.(۱)
- [45] Ku, A.Y, Taylor T.S and Loureiro M.S .Mesoporous silica composites containing multiple regions with distinct pore size and complex pore organization. *Journal of the American Chemical Society.*2005; 127(8): 6934-6935.

- [46] ALOthman ZA. A Review] : Fundamental Aspects of Silicate. *Materials* (Basel). 2012; 5:2874–902.
- [47] Klotz M, Ayral A, Guizard C, Cot L. Synthesis conditions for hexagonal mesoporous silica layers. *J Mater Chem*. 2000; 10(3):663–9.
- [48] Lu Y, Ganguli R, Drewien CA, Anderson MT, Jeffrey Brinker C, Gong W, et al. Continuous formation of supported cubic and hexagonal mesoporous films by sol-gel dip-coating. *Nature*. 1997; 389(6649):364–8.
- [49] Lee, Y.F, Chang K.H, Chu C.Y, Chena H.L, Hu. C.H. Microstructure tuning of mesoporous silica prepared by evaporation-induced self-assembly processes: interactions among solvent evaporation, micelle formation/packing and sol condensation", *RSC Advance*.2011; 1, 401-407.
- [50] Nagamine S, Endo A, Nakaiwa M, Nakane T, Kurumada Kichi, Tanigaki M. Synthesis of submillimeter-thick films of surfactant templated mesoporous silica. *Microporous Mesoporous Mater*. 2001; 43(2):181–9.
- [51] Farrell RA, Cherkaoui K, Petkov N, Amenitsch H, Holmes JD, Hurley PK, et al. Physical and electrical properties of low dielectric constant self-assembled mesoporous silica thin films. *Microelectron Reliab*. 2007; 47(4-5 SPEC. ISS.): 759–63.
- [52] Davis, M. Ordered porous materials for emerging applications. *Nature*. 2002; 417, 813–821.
- [53] Holmberg, K., Jonsson B, Kronberg B, Bjorn Lindman .Surfactants and Polymers in Aqueous Solution (2 th edn), New Jersey: John Wiley & Sons, 2002.
- [54] Flodström K, Alfredsson V. Influence of the block length of triblock copolymers on the formation of mesoporous silica. *Microporous Mesoporous Mater*. 2003; 59 (2–3):167–76.
- [55] Zhou B, Qi N, Wang B, Chen ZQ. Effect of swelling agent on the pore structure of SBA-15 studied by positron annihilation. *Appl Surf Sci*. 2019.
- [56] Israelachvili JN, Mitchell DJ, Ninham BW. Theory of self-assembly of hydrocarbon amphiphilic into micelles and bilayers. *Journal of the Chemical Society, Faraday Transactions 2: Molecular and Chemical Physics*. 1976.
- [57] Broekhoff JCP. Mesopore determination from nitrogen sorption isotherms: Fundamentals, scope, limitations. *Stud Surf Sci Catal*. 1979.
- [58] Campbell R, Bakker MG, Havrilla G, Montoya V, Kenik EA, Shamsuzzoh M. Preparation of mesoporous silica templated metal nanowire films on foamed nickel substrates. *Microporous Mesoporous Mater*. 2006; 97 (1–3):114–21.
- [59] Zhang X, Wu W, Wang J, Liu C. Effects of sol aging on mesoporous silica thin films organization. *Thin Solid Films*. 2007; 515 (23):8376–80.
- [60] Dong Z, Shi Y, Fu Z, Yang W. Synthesis of mesoporous silica from poly(ethylene oxide)/polystyrene copolymers: Influence of block architecture and each copolymer block on porous size. *J Nanosci Nanotechnol*. 2013; 13(10):6967–77.
- [61] Boissiere C, Grosso D, Lepoutre S, Nicole L, Bruneau AB, Sanchez C. Porosity and mechanical properties of mesoporous thin films assessed by environmental ellipsometric porosimetry. *Langmuir*. 2005; 21(26):12362–71.
- [62] Brunet-Bruneau A, Bourgeois A, Cagnol F, Grosso D, Sanchez C, Rivory J. An in situ study of mesostructured CTAB-silica film formation using infrared ellipsometry: Evolution of water content. In: *Thin Solid Films*. 2004.
- [63] Zhao D, Yang P, Margolese DI, Chmelka BF, Stucky GD. Synthesis of continuous mesoporous silica thin films with three-dimensional accessible pore structures. *Chem Commun*. 1998; (22):2499–500.
- [64] Alonso B, Balkenende AR, Albouy PA, Durand D, Babonneau F. Directing role of pH and ethanol vapor on the formation of 2D or 3D mesostructured silica and hybrid organo-silica thin films. *New J Chem*. 2002; 26(10):1270–2.
- [65] Yamauchi Y, Sawada M, Komatsu M, Sugiyama A, Osaka T, Hirota N, et al. Magnetically induced orientation of mesochannels in mesoporous silica films at 30 Tesla. *Chem - An Asian J*. 2007; 2(12):1505–12.
- [66] Naik SP, Ogura M, Sasakura H, Yamaguchi Y, Sasaki Y, Okubo T. Phase and orientation control of mesoporous silica thin film via phase transformation. In: *Thin Solid Films*. 2006. p. 11–7.
- [67] Platschek B, Petkov N, Himsl D, Zimdars S, Li Z, Köhn R, et al. Vertical columnar block-copolymer-templated mesoporous silica via confined phase transformation. *J Am Chem Soc*. 2008; 130(51):17362–71.

- [68] Cheyssac P, Klotz M, Søndergård E, Sterligov VA. Scattering properties of ordered mesoporous silica films. *Opt Commun.* 2005; 252(4–6):344–54.
- [69] Kao KC, Lin CH, Chen TY, Liu YH, Mou CY. A General Method for Growing Large Area Mesoporous Silica Thin Films on Flat Substrates with Perpendicular Nano channels. *J Am Chem Soc.* 2015; 137(11):3779–82.
- [70] Fukuoka A, Miyata H, Kuroda K. Alignment control of a cyanine dye using a mesoporous silica film with uniaxially aligned mesochannels. *Chem Commun.* 2003; (2):284–5.
- [71] Miyata H, Kawashima Y, Itoh M, Watanabe M. Preparation of a mesoporous silica film with a strictly aligned porous structure through a sol-gel process. *Chem Mater.* 2005; 17(21):5323–7.
- [72] Miyata H, Kuroda K. Formation of a continuous mesoporous silica film with fully aligned mesochannels on a glass substrate. *Chem Mater.* 2000; 12(1):49–54.
- [73] Cho W, Kim T, Char K, Soles CL. A facile method for the preferential alignment of mesochannels in silica films by solution flow. *Microporous Mesoporous Mater.* 2010; 131(1–3):136–40.
- [74] Klichko Y, Khashab NM, Yang YW, Angelos S, Stoddart JF, Zink JI. Improving pore exposure in mesoporous silica films for mechanized control of the pores. *Microporous Mesoporous Mater.* 2010; 132(3):435–41.
- [75] Hozumi A, Kimura T. Rapid micro patterning of mesoporous silica film by site-selective low-energy electron beam irradiation. *Langmuir.* 2008; 24(19):11141–6.
- [76] Robertson C, Lodge AW, Basa P, Carravetta M, Hector AL, Kashtiban RJ, et al. Surface modification and porosimetry of vertically aligned hexagonal mesoporous silica films. *RSC Adv.* 2016; 6(114):113432–41.
- [77] Ha TJ, Park HH, Jung SB, Ryu H, Yu BG. Investigation of the effect of calcination temperature on HMDS-treated ordered mesoporous silica film. *J Colloid Interface Sci.* 2008; 326(1):186–90.
- [78] Tagaya M, Kobayashi K, Nishikawa M. Additive effect of phosphoric acid on phosphorus-containing mesoporous silica film formation. *Mater Lett.* 2016; 164:651–4.
- [79] Hwang YK, Patil KR, Jhung SH, Chang JS, Ko YJ, Park SE. Control of pore size and condensation rate of cubic mesoporous silica thin films using a swelling agent. *Microporous Mesoporous Mater.* 2005; 78(2–3):245–53.
- [80] Kruk, Michal. Access to ultra large-pore ordered mesoporous materials through selection of surfactant/swelling-agent micellar templates. *Accounts of Chemical Research.* 2011; 45(5): 1678–1687

معرفی پایان نامه های دانشجویی

پایان نامه دکتری

بررسی خشونت سطحی و استحکام خمشی دیسک های پرسلنی فلدوپلیاتیک پس از آماده سازی سطحی با غلظت های مختلف فسفریک اسید

دانشجو: محبوبه غیاث آبادی فراهانی

استاد راهنمای: پگاه رادان

استاد مشاور: وحیده نظری

دانشگاه علوم پزشکی و خدمات بهداشتی درمانی اراک

چکیده: امروزه پرسلان های سرامیکی به طور گستردگی در رستورین های قدمایی دهان استفاده می شوند. به منظور تقویت باند بین این پرسلان ها و دندان، سطح دندان و پرسلان در معرض اسید قرار می گیرد (فرایند اسید اج). رایج ترین ماده اج کنده برای آماده سازی سطح پرسلان، هیدروفلوریک اسید است. به دلیل اثرات مضر هیدروفلوریک اسید بر سلامتی، فسفریک اسید به عنوان جایگزینی برای آن پیشنهاد شده است. از آنجا که مطالعات در مورد کارایی فسفریک اسید کافی نمی باشد، هدف از این مطالعه بررسی خشونت سطحی و استحکام خمشی دیسک های پرسلانی فلدوپلیاتیک پس از آماده سازی سطحی با غلظت های مختلف فسفریک اسید می باشد.

۰۶ دیسک پرسلنی فلدوپلیاتیک به روش پودر و مایع تهیه شده و بر اساس روش آماده سازی نمونه ها به ۵ گروه ۱۲ تابی تقسیم شدند. در گروه اول (گروه کنترل) هیچ آماده سازی سطحی صورت نگرفت و سایر گروه ها تحت آماده سازی سطحی با روش های مختلف (اج با هیدروفلوریک اسید ۵٪ برای ۰۶ ثانیه، اج با هیدروفلوریک اسید ۵٪ برای ۱۲۰ ثانیه، اج با فسفریک اسید ۳٪ برای ۵ دقیقه و اج با فسفریک اسید ۰٪ برای ۵ دقیقه) قرار گرفتند. یک نمونه از هر گروه به منظور بررسی خشونت سطحی تحت اسکن میکروسکوپ الکترونی (آنالیز SEM) قرار گرفت و استحکام خمشی نمونه ها به وسیله Universal testing machine اندازه گیری شده و با یکدیگر مقایسه شد.

هیدروفلوریک اسید نسبت به فسفریک اسید به طور متعادل باعث کاهش بیشتر استحکام خمشی نمونه ها می شود. با افزایش غلظت فسفریک اسید تغییر چشمگیری در استحکام خمشی رخ نمی دهد. خشونت سطحی کلیه گروه های آماده سازی شده از گروه کنترل بیشتر است و هیدروفلوریک اسید سطحی خشن تر و با تخلخل بیشتر نسبت به فسفریک اسید ایجاد کرده است.

بر اساس نتایج مطالعه حاضر، کاربرد فسفریک اسید ۰٪ در مقایسه با هیدروفلوریک اسید ۵٪ تاثیر منفی کمتری بر استحکام خمشی نمونه ها دارد و در عین حال خشونت سطحی قابل توجهی را نیز در سطح نمونه ها ایجاد می کند. بنابراین در صورت دستیابی به استحکام باند کافی توسط فسفریک اسید در غلظت و زمان بالا طی مطالعات آینده، ممکن است بتوان در آماده سازی های سطحی پرسلان، این اسید را جایگزین هیدروفلوریک اسید کرد که اسیدی مضر برای سلامتی می باشد.

بهبود خواص مکانیکی و فیزیکی زیرکونیوم نسبتاً پایدار (PSZ) توسط افزودنی‌های نانو اکسیدی

دانشجو: حافظ الفراجی

استاد راهنما: محمد الماسی کاشی

استاد مشاور: شهاب احمد زیدان

دانشگاه کاشان

چکیده: اسپینل $MgO-Al_2O_3$ (MAS) با ترکیب $28/33\text{ wt\%}$ نانو اکسید منیزیم با $71/7\text{ wt\%}$ نانوزرات اکسید آلمینیوم آماده شده است. در تضاد با آن میکرو ذرات Y_2O_3 برای آماده سازی Y-PZT-Y به زیرکونیوم اضافه شده است. ترکیب MAS با درصد های وزنی متفاوت (5 wt\% , 10 wt\% , 15 wt\% , 20 wt\% , 25 wt\%) به Y-PSZ-Y اضافه شده است و پس از ترکیب کردن همگن، نمونه‌ها با فشار دادن محوری و پیچ خوردن در 1550°C و خیساندن به مدت چهار ساعت، تشکیل شدند. آنالیزهای شکست اشعه ایکس نشان می‌دهد که سه فاز (m , t و c) زیرکونیوم به عنوان نتیجه اضافه کردن MgO با شکل گیری MAS استخراج می‌شود. اضافه کردن درصد های اضافی به MAS به افزایش اندازه بلور از 3 nm به 38 nm و در عین حال کاهش کرنش شبکه از 0.4% به 0.1% منجر می‌شود، علاوه بر این اندازه دانه‌ها برای سطوح نمونه‌ها اندازه‌گیری شده است و معلوم شده است که اندازه دانه‌ها از اندازه میکرو ($0.6\text{ }\mu\text{m}$) > به اندازه نانو (10 nm) همراه با کاهش واضح در زیری سطح از $6/5\text{ nm}$ به 1 nm به دلیل اضافه کردن نانو MAS کاهش یافته است. تمام خصوصیاتی که در زیر اشاره شده است بر اساس اثر اندازه دانه بعنوان یک فاکتور مهم بحث شده است. اضافه نمودن MAS به کاهش در انقباض خطی از $16/7\%$ به $9/4\%$ منجر می‌شود و تخلخل پایین بود و بطور کلی با افزایش واضح در چگالی بالک از $4/7\text{ g/cm}^3$ به $5/9\text{ g/cm}^3$ از 4% به $2/5\%$ کاهش می‌یابد. قدرت قطری به علت افزودن MAS از $97/3\text{ MPa}$ به $1/1\text{ MPa}$ افزایش یافته است رابطه بین قدرت و (اندازه دانه) $1/2$ به معادله هال-پتچ بستگی دارد. کاهش مدول های یانگ از 231 GPa به 18 GPa نیز نشان دهنده از دست دادن شکنندگی به دلیل اضافه نمودن MAS می‌باشد. اضافه نمودن MAS دارای اثر معکوس بر روی شکنندگی سختی است هنگامی که از $12/4$ به $9/7\text{ MPa.m}^{1/2}$ کاهش می‌یابد. خواص گرمایی بصورت روشن بوسیله خصوصیات ساختاری MAS تاثیر گذاشت. رسانش گرمایی و انتشار گرمایی به میزان اندازک به ترتیب از $5/5\text{ W/m.K}$ به $5/5\text{ mm}^2/\text{s}$ و از $1/5\text{ kg.K}/\text{J}$ به $1/5\text{ kg.K}/\text{J}$ کاهش یافته است. ظرفیت گرمایی از 413 J/kg.K به 155 J/kg.K افزایش یافته است و ضریب انبساط گرمایی از $10\text{ }\times 10^{-5}$ به $7/5\text{ }\times 10^{-5}$ به $1/1\text{ }\times 10^{-5}$ درجه C-1 به دلیل سازگاری با ضریب انبساط گرمایی اکسیدهای PSZ-MAS (Y-PSZ)، افزایش یافته است.

پایان نامه کارشناسی ارشد

ایجاد و ارزیابی ریز ساختار و خواص مکانیکی پوشش های سرامیکی فسفاتی بر فولاد

دانشجو: عرفان احمد پور شریفی
استاد راهنما: فرهاد شهریاری نوگرانی
دانشگاه صنعتی شیراز

چکیده: پوشش آلمینیوم-سرامیک نوعی از پوشش های کامپوزیتی فلز-سرامیکی است که ترکیبی مناسب از خواص تربیو لژیک، حفاظت گالوانیک و صافی سطح دارد. در این تحقیق برای آماده سازی پوشش آلمینیوم سرامیک، ابتدا محلول پیوندهای آماده شد سپس ذرات آلمینیوم و ذرات آلمینیا به عنوان تقویت کننده خواص مکانیکی پوشش به محلول اضافه شدند. پس از آماده شدن محلول دوغابی، اعمال پوشش به روشن پاشش بر زیرلا یه های فولاد زنگ نزن مارتزیتی انجام گرفت. عملیات پخت پوشش ها پس از بیشتر گرم مناسب در دمای 250°C انجام شد. همچنین به منظور مقایسه پوشش آلمینیایدی، به همراه پوشش رویی سرامیکی از جنس محلول پیوندهای زنگ نزن اعمال شد. ارزیابی ریز ساختاری به کمک میکروسکوپ نوری و الکترونی و نیز آنالیز شیمیایی به روشن طیف-سنجدی پراکندگی انرژی و آنالیز فارزی به روشن پراش پرتو ایکس نشان داد پوشش آلمینیوم-سرامیک دارای ذرات آلمینیوم در زمینه فاز سرامیکی پایه فسفاتی است که پس از کوبش این ذرات به هم متصل شده و رسانایی پوشش تأمین می شود. آزمون زیری سنجدی نشان داد در صورت تنظیم صحیح مقدار پودر تقویت کننده و اعمال پوشش رویی می توان زیری سطح را تا حدود 300 MPa کاهش داد. آزمون پوشش ها از زیرلا یه را نشان نداد. آزمون چسبندگی به روشن استحکام کششی پوشش نشان داد هر سه پوشش استحکام بالاتر از 50 MPa دارند. ارزیابی مقاومت حرارتی پوشش ها به مدت یک هفته در 530°C تغییر جرم محسوسی را نشان نداد. آزمون تخریب پذیری در اسید و بازهای صنعتی در دمای 60°C نشان داد پوشش ها قادرند مقاومت بالایی از خود بر برابر مواد خورنده نشان دهند. ترشوندگی سطح پوشش ها با آب تصویربرداری شد که نشان داد نمونه های پوشش آب گرینز نیست. در آزمون شوک حرارتی از 530°C به درون آب تا 20°C چرخه در نمونه های مشاهده نشد. سنجدش ریز سختی نشان داد با تغییر در فاز تقویت کننده پوشش آلمینیوم-سرامیک با افزودن آلمینیا می توان سختی پوشش را افزایش داد. آزمون های خوردگی الکتروشیمیایی به روشن پلاریزاسیون تألف نشان داد هر دو پوشش قابلیت حفاظت گالوانیک از زیرلا یه فولادی را دارند.

اعضای حقوقی انجمن سرامیک ایران

اعضای حقوقی ویژه انجمن سرامیک ایران

شرکت پویا همراه سرام (بازرگانی و مهندسین مشاور)



مدیر عامل: مهندس محسنی طارم‌سری
آدرس دفتر مرکزی: تهران،
تهرانپارس، خیابان رشید، نبش خیابان ۱۴۴ غربی، ساختمان امیرکبیر،
طبقه ۲، واحد ۱۰
تلفن دفتر مرکزی: ۰۲۱-۷۷۲۹۵۴۹۸
نشانی سایت: www.phceram.com

روکا سرام یزد

مدیر عامل: مهندس خیاط
آدرس دفتر مرکزی: تهران، خیابان شهید بهشتی، خیابان سرافراز، کوچه دوازدهم، پلاک ۱۶
تلفن دفتر مرکزی: ۰۲۱-۴۱۰۵۱۰۰۰
نشانی سایت: www.rokaceram.com

شرکت لیمون چینی آراد

مدیر عامل: مهندس مسعود ایمانی
آدرس کارخانه: مشهد، شهرک صنعتی توس، فاز یک، بلوار صنعت،
نشیش صنعت ۷
تلفن دفتر مرکزی: ۰۵۱-۳۵۴۱۲۴۲۴
نشانی سایت: www.lemonporcelainarad.ir

شرکت سهامی شیشه قزوین (عام)



مدیر عامل: مهندس محمد رضا علاق‌بندیان
آدرس دفتر مرکزی: تهران، خیابان استاد مطهری، خیابان شهید سرافراز،
پلاک ۳۴
تلفن دفتر مرکزی: ۰۲۱-۸۸۷۳۱۵۱۵
نشانی سایت: www.ghazvinglass.com

لعاپیران

مدیر عامل: دکتر نعمتی
آدرس دفتر مرکزی: تهران، میدان ونک،
خیابان گاندی شمالی، کوی شهید صانعی،
شماره ۲۵
تلفن دفتر مرکزی: ۰۲۱-۸۸۷۹۵۱۴۱-۲
نشانی سایت: www.loabiran.com

گروه پاترون (پات روشن) نیکتا



مدیر عامل: مهندس عباس کلانتر
آدرس: تهران، خیابان ملاصدرا، پلاک ۱۶۲، طبقه چهارم
تلفن: ۰۲۱-۸۸۲۱۰۸۹۰
نشانی سایت: www.patron.group



Glassworks Hounsell Ltd

مدیر عامل: Mr. William Brinkman
آدرس دفتر مرکزی: Glassworks Hounse, Park Lane, Halesowen, West Midlands, United Kingdom
تلفن دفتر مرکزی: ۴۴-(۰)-۱۳۸۴۵۶۱۳۶
فاکس: ۴۴-(۰)-۱۳۸۴۵۶۱۳۶
نشانی سایت: www.glassworkshounsell.co.uk

اعضای حقوقی انجمن سرامیک ایران

آریا تهران سرام

مدیر عامل: محمد علی سلیمانی
 آدرس دفتر مرکزی: تهران، خیابان ملاصدرا، خیابان شیرازی جنوبی، خیابان اتحاد، پلاک ۴، واحد ۱۰۰
 تلفن دفتر مرکزی: ۰۲۱-۸۸۰۵۹۶۱۰

آپادانا سرام

مدیر عامل: مهندس نجفی
 آدرس دفتر مرکزی: تهران، خیابان ملاصدرا، رو بروی بیمارستان بقیه الله، کوچه گلشن، گلشن یکم، پلاک ۸
 تلفن دفتر مرکزی: ۰۲۱-۸۴۳۱۰۰۰۰
 نشانی سایت: www.apadanaceram.com



ایران آیدمی
 مدیر عامل: مهندس مطلب لو
 آدرس دفتر مرکزی: تهران، خیابان شیراز شمالی، نبش کوچه شهریار، ساختمان ۳۳، واحد ۱۲
 تلفن دفتر مرکزی: ۰۲۱-۸۸۰۴۷۷۱
 نشانی سایت: www.imdco.net



اسکان پارت آفرین

مدیر عامل: دکتر غفاری
 آدرس دفتر مرکزی: کرج، گلشهر ویلا رودکی ۲۷۱ غربی، پلاک ۰۲۶-۳۶۶۷۰۸۳۶
 تلفن دفتر مرکزی: ۰۲۱-۸۰۷۵۵۷۳



پژوهشگاه علوم و فناوری رنگ
 مدیریت: دکتر رنجبر
 آدرس دفتر مرکزی: بزرگراه صیاد شیرازی شمالی، خروجی لویزان، میدان حسین آباد، خیابان وفا منش، نبش کوچه شمس، پلاک ۵۹
 تلفن: ۰۲۱-۲۲۹۴۴۱۸۴
 نشانی سایت: www.icrc.ac.ir



پارس کائولون

مدیر عامل: مهندس صمدی
 آدرس: طبس، نرسیده به جو خواه، معدن کائولن پارس
 تلفن: ۰۲۱-۸۰۷۵۵۷۳
 نشانی سایت: www.parskaolin.com



پیشرو ذوب آتور
 مدیر عامل: مهندس ملایی داریانی
 آدرس دفتر مرکزی: تهران، خیابان احمد قصیر، کوچه یکم، پلاک ۶۰ واحد ۱۰
 تلفن دفتر مرکزی: ۰۲۱-۸۸۵۴۹۸۸۴
 نشانی سایت: www.pishrozob.com



پژوهشگاه مواد و انرژی

مدیریت: دکتر صالحی
 آدرس دفتر مرکزی: تهران، میدان آزادی، انتهای خیابان الوند، کوچه جوین، پلاک ۱۶
 تلفن دفتر مرکزی: ۰۲۱-۸۸۷۷۱۶۶۶-۲۷
 نشانی سایت: www.merc.ac.ir



تولیدی و صنعتی سامان کاشی
 مدیر عامل: مهندس سیدمحسنی
 آدرس دفتر مرکزی: تهران، بلوار میرداماد، بین نفت و مدرس، شماره ۲۳۷، طبقه ۱
 تلفن دفتر مرکزی: ۰۲۱-۲۲۵۸۸۲۱
 نشانی سایت: www.samantile.com



پیشگامان سرامیک برسام
 مدیر عامل: مهندس سرجهانی
 آدرس دفتر مرکزی: شیراز، بلوار امیرکبیر برج صنعت ورودی ۳، طبقه ۴، واحد ۴۱۷
 تلفن دفتر مرکزی: ۰۷۱-۳۸۳۸۵۴۴۴
 نشانی سایت: www.barsamceram.com

تهیه و تولید خاک نسوز استقلال آباده

مدیر عامل: مهندس زارعی

آدرس دفتر مرکزی: آباده، چهارراه جوادیه

تلفن دفتر مرکزی: ۰۷۱-۴۴۳۳۷۹۹۷



تولیدی و مهندسی نسوزین

تولیدی و مهندسی نسوزین

مدیر عامل: مهندس زرعیان

آدرس دفتر مرکزی: تهران، میدان

آرزاگان، خیابان بیهقی، خیابان دوازدهم

شرقی، پلاک ۲، طبقه ۳، شماره ۶

تلفن دفتر مرکزی: ۰۲۱-۸۸۵۰۴۵۹۱

نشانی سایت: www.nasoozin.comتهیه و تولید مواد نسوز کشور

مدیر عامل: مهندس باقری

آدرس دفتر مرکزی: تهران، یوسف آباد،

خیابان ابن سینا، نبش خیابان ۳۱

شماره ۸۲

تلفن دفتر مرکزی: ۰۲۱-۸۸۷۱۲۵۶۲

نشانی سایت: www.irrep.comتهیه و تولید مواد اولیه آریاکانی اسپادانا

مدیر عامل: دکتر پویا مهر

آدرس دفتر مرکزی: اصفهان، خیابان ملاصدرا، خیابان پانزدهم،

پلاک ۳۴، واحد ۳

تلفن دفتر مرکزی: ۰۳۱۳-۶۶۱۷۵۳۷-۸

چینی بهداشتی ارس

مدیر عامل: مهندس حسین پور

آدرس دفتر مرکزی: تهران، خیابان ملاصدرا، خیابان شیخ بهایی، میدان

شیخ بهایی، برج صرف، طبقه ۴، واحد ۶۴

تلفن دفتر مرکزی: ۰۲۱-۸۸۶۰۶۵۰۸

نشانی سایت: www.arasind.comچینی اصفهان

مدیر عامل: مهندس جهانبانی

آدرس: اصفهان، جاده دولت آباد، خیابان بهارستان، اولین فرعی سمت

چپ، خیابان خبوشان

تلفن دفتر مرکزی:

۰۳۱-۴۵۸۳۶۲۰۰

خاک چینی ایران

مدیر عامل: مهندس نوروزی

آدرس دفتر مرکزی: خیابان ولیعصر، نرسیده به

پل پارک وی، کوچه خاکزاد، پلاک ۲۱، طبقه اول

تلفن دفتر مرکزی: ۰۲۱-۲۰۱۸۱۰۷

شرکت صنایع
خاک چینی ایران

چینی زرین ایران

چینی زرین ایران

مدیر عامل: مهندس قصاعی

آدرس دفتر مرکزی: تهران، میدان ونک،

خیابان ونک، ساختمان شماره ۲۵

تلفن دفتر مرکزی: ۰۲۱-۸۸۷۷۰۰۴۴

نشانی سایت: www.zariniran.comدرسا سرام ایساتیس

مدیر عامل: مهندس ندایفی

آدرس دفتر مرکزی: سعادت آباد، بلوار فرهنگ، نیش خیابان

شرقی، پلاک ۲، طبقه ۴ شمالی

تلفن: ۰۲۱-۲۲۳۸۳۱۶۰

نشانی سایت: www.Doramic.comدانشگاه ملایر

مدیریت: دکتر علیرضا سوری

آدرس: دانشگاه ملایر، دانشکده فنی و مهندسی،

گروه مهندسی مواد

تلفن: ۰۸۱-۳۲۳۵۵۴۶۵

نشانی سایت: www.malayeru.ac.irسارا کاشی سپاهان

مدیر عامل: مهندس باطنی

آدرس دفتر مرکزی: اصفهان، خیابان

سجاد، ابتدای خیابان ارباب، جنب بانک

صادرات، مجتمع کسری، واحد ۱

تلفن دفتر مرکزی: ۰۳۱-۳۶۶۲۷۱۱۷

نشانی سایت: www.saratile.comرنگدانه های سرامیکی گهرفام

مدیر عامل: مهندس مهیمنی

آدرس دفتر مرکزی: یزد، شهرک صنعتی خضرآباد، بلوار اقاما،

خیابان زیتون

تلفن دفتر مرکزی: ۰۳۵-۳۷۲۷۲۴۸



ساقار و قطعات نسوز

مدیر عامل: مهندس معرفتی

آدرس: مرند، کیلومتر ۵ جاده قدیم جلفا،

شهرک صنعتی سرامیکی

تلفن: ۰۴۱-۴۲۲۲۳۸۲

نشانی سایت: www.saggarmfg.com



Sara Loab Maybod.co

سارا لاب مید

مدیر عامل: مهندس جعفری پور مید

آدرس دفتر مرکزی: مید، شهرک

صنعتی جهان آباد، بلوار نسترن شمالی

صنعت ۵

کد پستی: ۸۹۶۵۱۳۶۴۹۳

تلفن دفتر مرکزی: ۰۳۵-۲۷۷۷۷۲۲۸

نشانی سایت: www.saralaab.com



شرکت ذوب و نسوز ایرانیان

مدیر عامل: میثم محامی

آدرس: تهران، خیابان شهید رجایی، نرسیده به ایستگاه مسجد مادر،
نشش کوچه ۷۳، پلاک ۷۷

تلفن دفتر مرکزی: ۰۲۱-۵۵۰۱۹۵۳۹

نشانی سایت: www.zobiranco.com



سرامیک های صنعتی اردکان

مدیر عامل: مهندس برهانی

آدرس دفتر مرکزی: اصفهان،
میدان آزادی، ابتدای خیابان

سعادت آباد، پلاک ۱، طبقه ۴، واحد ۸

تلفن دفتر مرکزی: ۰۳۱-۳۶۸۷۷۷۷

نشانی سایت: www.aic.ir



شرکت فیبرونا

مدیر عامل: مهندس شاهپوری

آدرس دفتر مرکزی: تهران،
خیابان میرزا شیرازی، نیش استاد

مطهری، شماره ۲۱۱

تلفن دفتر مرکزی: ۰۲۱-۸۸۷۲۳۳۵۵

نشانی سایت: www.fiberona.com



شرکت صنایع سرام آرا

مدیر عامل: مهندس آهنی ها

آدرس دفتر مرکزی: تهران،
خیابان سپهبد قرنی، بالاتر از چهارراه طالقانی، خیابان شاداب غربی،

پلاک ۳۳، طبقه ۶

تلفن دفتر مرکزی: ۰۲۱-۸۸۹۱۰۴۵

نشانی سایت: www.ceramara.ir



صنایع کاشی زرین خراسان

مدیر عامل: مهندس عمید مشترع

آدرس دفتر مرکزی: تهران، خیابان
مالصدرا، خیابان شیراز جنوبی، پلاک ۹۹

طبقه اول

تلفن دفتر مرکزی: ۰۲۱-۸۸۰۶۶۸۱

نشانی سایت: www.zarrintile.com



شرکت مهندسی بازرگانی درداران سریر

مدیر عامل: مهندس طهماسبی

آدرس دفتر مرکزی: تهران،
خیابان ولیعصر، خیابان فتحی شفاقی، میدان سلماس، پلاک ۳، طبقه

۳

تلفن دفتر مرکزی: ۰۲۱-۸۸۳۳۷۳۶۸

نشانی سایت: www.sarirco.com



صنایع کاشی و سرامیک الوند

مدیر عامل: مهندس هوشیاری

آدرس دفتر مرکزی: تهران، خیابان آفریقا، بالاتر از چهارراه
اسفنديار، کوچه شهید سعیدی، پلاک ۲۳

تلفن دفتر مرکزی: ۰۲۱-۲۲۰۵۷۸۱۱

نشانی سایت: www.alvancer.com



صنایع کاشی نیلوفر

مدیر عامل: مهندس نوربخش

آدرس دفتر مرکزی: مشهد، بلوار
فردوسي، مجتمع تجاری اسکان، طبقه ۱،
واحد ۲

تلفن دفتر مرکزی: ۰۵۱-۳۷۶۲۴۳۳۶

نشانی سایت: www.niloofartile.com

صنعت سرام

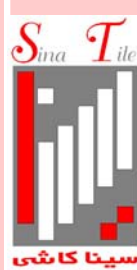
مدیر عامل: مهندس غفاری

آدرس دفتر مرکزی: تهران، خیابان

فرجام، بین چهارراه خاور و ولی‌عصر، پلاک

۱۱ واحد ۶۲۰

تلفن دفتر مرکزی: ۰۲۱-۷۷۷۲۳۵۸۹

صنایع کاشی و سرامیک سینا

مدیر عامل: مهندس عزیزیان

آدرس دفتر مرکزی: تهران، بلوار میرداماد، بعد از

میدان مادر، پلاک ۲۳

تلفن دفتر مرکزی: ۰۲۱-۲۲۲۷۲۳۰۱

نشانی سایت: www.sinatile.irفرآورده‌های نسوز پارس

مدیر عامل: مهندس حیدرپور

آدرس دفتر مرکزی: تهران، میدان ونک، خیابان ونک، برج آبین

ونک، طبقه ۷، واحد ۷۱

تلفن دفتر مرکزی: ۰۲۱-۸۸۷۸۶۶۹۲

نشانی سایت: www.pars-ref.irفرآورده‌های نسوز آذر شهاب تبریز

مدیر عامل: مهندس صدیقی

آدرس دفتر مرکزی: تبریز، خیابان راه آهن، ایستگاه سرچشمه،

مجتمع تجاری میلاند، طبقه ۳، فروخته نسوز

واحد ۳۰۵

تلفن دفتر مرکزی: ۰۴۱-۳۵۵۱۸۴۴۱

نشانی سایت: www.azarshahab.comکائولین و خاک‌های نسوز خراسان

مدیر عامل: مهندس زیارت نیا

آدرس دفتر مرکزی: مشهد، بلوار

فلسطین، فلسطین ۱۴، پلاک ۲۸

تلفن دفتر مرکزی: ۰۵۱-۳۷۶۷۳۰۳۴-۵

نشانی سایت: www.kaolin-co.comکاشی طوس

مدیر عامل: دکتر ناصری

آدرس دفتر مرکزی: مشهد، شهرک صنعتی

توس، فاز ۲، اندیشه ۲، انتهای دانش ۲

تلفن دفتر مرکزی: ۰۵۱-۳۵۴۱۳۹۹۰

نشانی سایت: www.tima-tile.comکاشی ستاره مبید

مدیر عامل: مهندس خالقیه

آدرس دفتر مرکزی: تهران، خیابان

ملاصدا، شیراز جنوبی، گرسار غربی، کوچه بهار، پلاک ۲۶، طبقه ۴، واحد ۷

تلفن دفتر مرکزی: ۰۲۱-۸۸۰۴۴۷۴۴

نشانی سایت: www.setarehtile.comکاشی مرجان

مدیر عامل: مهندس معصومی

آدرس دفتر مرکزی: اصفهان، خیابان

چهار باع بالا، کوچه کاویان، پلاک ۴۱

تلفن دفتر مرکزی: ۰۳۱-۳۶۲۴۸۰۱۹

نشانی سایت: www.marjantileco.comکاشی کرد

مدیر عامل: مهندس چنگیزی

آدرس دفتر مرکزی: تهران، شهروردي

شمالي، هویزه شرقی، پلاک ۳۴

تلفن دفتر مرکزی: ۰۲۱-۸۳۵۲۳۳۳۳

نشانی سایت: www.cordgroup.comکاشی نوآوران

مدیر عامل: مهندس طباطبایی

آدرس دفتر مرکزی: یزد، میبد، شهرک صنعتی جهان آباد، بلوار مریم

تلفن: ۰۳۵۳-۲۳۷۲۱۹۳

نشانی سایت: www.noavaranceramics.irکاشی مسعود ایران

مدیر عامل: مهندس فرشادپور

آدرس دفتر مرکزی: تهران،

خیابان آفریقای شمالی، ساختمان

مرکز تجارت ایران، طبقه ۹، واحد ۶

تلفن دفتر مرکزی: ۰۲۱-۲۶۲۱۲۶۳۵-۳۷

نشانی سایت: www.masoudtile.com



گلسار فارس
مدیر عامل: دکتر ترابیان
آدرس دفتر مرکزی: تهران، خیابان کریم خان
زند، خیابان سپهبد قرنی، خیابان برادران شاداب،
پلاک ۳۳، طبقه ۲
تلفن دفتر مرکزی: ۰۲۱-۸۸۹۰۸۰۴۴
نشانی سایت: www.golsarfars.com

کسری لعاب مبید

مدیر عامل: مهندس میرحسینی
آدرس: بیزد، شهرک صنعتی جهان آباد، بلوار مریم، فرعی سمت راست
تلفن: ۰۳۵۳-۲۳۷۲۹۳۱



لعاب مشهد
مدیر عامل: دکتر یوسفی
آدرس دفتر مرکزی: تهران، خیابان
ملاصدرا، خیابان شیراز جنوبی، کوچه اتحاد، پلاک ۱۴، طبقه ۲
تلفن دفتر مرکزی: ۰۲۱-۸۰۴۳۶۹۶
نشانی سایت: <http://www.mashhadglaze.com>



لعاب مارال مبید

مدیر عامل: دکتر داود قهرمانی
آدرس دفتر مرکزی: بیزد، مبید
شهرک صنعتی جهان آباد، بلوار
نسترن شمالی، خیابان صفت ۹
تلفن دفتر مرکزی: ۰۳۵-۳۲۳۷۴۰۹۶-۷
نشانی سایت: www.maralloab.ir



مجتمع تولید چینی بهداشتی نوین سرام
مدیر عامل: مهندس حقی
آدرس دفتر مرکزی: مشهد، چهارراه
ابوالطالب، مجتمع برجس، طبقه دوم، واحد ۳
تلفن دفتر مرکزی: ۰۵۱-۱۷۲۷۶۰۳۳
نشانی سایت: www.novinceram.com

لعاب یاس فارس

مدیر عامل: مهندس کربیمی علوجه
آدرس: شیراز، کیلومتر ۳ جاده شیراز بوشهر، بعد از پل شهید علیپور،
جاده ایستگاه شماره ۱ گاز
تلفکس: ۰۷۱۳-۸۳۰۱۹۹۰



مجتمع صنعتی اردکان (چینی رز)
مدیر عامل: مهندس ضراییه
آدرس دفتر مرکزی: بیزد، چهارراه بیزد
باف، ساختمان یزدباف، طبقه ۲
تلفن دفتر مرکزی: ۰۳۵۳-۵۲۲۹۷۶۰
نشانی سایت: www.chinirose.com



مجتمع تولیدی چینی مقصود

مدیر عامل: مهندس ایمانی
آدرس دفتر مرکزی: تهران، خیابان
ولیعصر، بالاتر از پارک ساعی، نبش
کوچه ۳۴، پلاک ۱۱۵۹، طبقه ۲
تلفن دفتر مرکزی: ۰۲۱-۸۸۸۶۹۸۵
نشانی سایت: www.maghsoudporcelain.com



معدنی و صنعتی سوراوجین عقیق
مدیر عامل: دکتر گنجی
آدرس دفتر مرکزی: تهران، سعادت
آباد، خیابان علامه شمامی، انتهای کوچه
اقبال ملی، پلاک ۱، واحد ۲
تلفن دفتر مرکزی: ۰۲۱-۲۲۰۸۱۳۷۳
نشانی سایت: www.iranclay.com



مجتمع کارخانجات تولیدی تووس چینی

مدیر عامل: مهدی کاملان نجار
آدرس دفتر مرکزی: مشهد،
ضلع غربی میدان احمدآباد، پلاک ۱۲
تلفن دفتر مرکزی: ۰۵۱۳-۸۴۱۶۸۸۰
نشانی سایت: www.toosporcelain.com

مفيد شيشنه

مدير عامل: مهندس موسوي كريمي

آدرس دفتر مرکزی: تهران، خيابان

وليصر، پاين تر از ميدان ونك، شماره

۲۵۴۰، طبقه ۷

تلفن دفتر مرکزی: ۰۲۱-۸۸۶۶۴۸۱۱

نشاني سایت: www.mofidglass.com



مقره سازی ايران

مدير عامل: دكتور كورنگي

آدرس دفتر مرکزی: تهران،

خيان بهار جنوبي، كوجه

نيلوفر، شماره ۴

تلفن دفتر مرکزی: ۰۲۱-۷۷۵۲۸۶۴۲

نشاني سایت: www.iraninsulator.com



شركت مقره سازی ايران
«مانه»
Iran Insulator Co.

مهفام جام (سهامي خاص)

مدير عامل: مهندس دهقان

آدرس دفتر مرکزی: تهران، ميدان آزادترين، خيابان احمد قصيري،

چهاردهم غربي، پلاك ۲۶، طبقه ۳

تلفن دفتر مرکزی: ۰۲۱-۸۸۵۱۵۰۱۵

تقویم رویدادهای سرامیک

اولین کنفرانس بینالمللی و چهارمین کنفرانس ملی مهندسی مواد، متالورژی و معدن

دانشگاه شهید چمران - اهواز

۱۳۹۹ ۶ اسفند

www.3mconf.ir

هفتمین کنفرانس بینالمللی مواد کامپوزیتی: ساخت، خواص و کاربرد

دانشگاه صنعتی سهند

۱۳۹۹ ۳-۴ دی

[ccfa7\[at\]sut.ac.ir](mailto:ccfa7[at]sut.ac.ir)

PIEZO2021: Piezoelectrics for End Users XI

Italy

February, 21-21 2021

<https://www.piezo2021.org>

International Conference on Sintering 2021

Japan

March, 27-31 2021

<https://www.Sintering 2021.org>

REFRA PRAGUE 2021

Prague, Czech Republic

April, 7-9 2021

<http://www.silikaty.cz/www-30-refra-prague-2021>

XVII ECerS Conference

Germany

August 29, September 2 2021

www.ecers2021.org

8th International Congress on Ceramics (ICC8)

Busan, Korea

April, 25-30 2021

<http://www.icc8.org>